

KAUNO TECHNOLOGIJOS UNIVERSITETAS

EVELINA STANEVIČIENĖ

HIBRIDINIŲ GENETINIŲ ALGORITMŲ
TAIKYMAS PILKŪJŲ ŠABLONŲ
FORMAVIMO UŽDAVINIUI

Daktaro disertacija
Gamtos mokslai, informatika (N 009)

2019, Kaunas

Disertacija rengta 2013–2018 metais Kauno technologijos universiteto Informatikos fakulteto Multimedijos inžinerijos katedroje.

Mokslinis vadovas:

Prof. dr. Alfonsas MISEVIČIUS (Kauno technologijos universitetas, gamtos mokslai, informatika, N 009).

Interneto svetainės, kurioje skelbiama disertacija, adresas:

<http://ktu.edu>

Redagavo:

Inga NanarTonytė

© E. Stanevičienė, 2019

ISBN 978-609-02-1625-5

Leidinio bibliografinė informacija pateikiama Lietuvos nacionalinės Martyno Mažvydo bibliotekos Nacionalinės bibliografijos duomenų banke (NBDB).

TURINYS

ĮVADAS.....	7
1. LITERATŪROS APŽVALGA	9
1.1. Pilkųjų šablonų formavimo uždavinys	10
1.2. Pilkųjų šablonų formavimo uždavinio sprendimas: euristiniai algoritmai	11
1.2.1. Godusis algoritmas	11
1.2.2. Greičiausio nusileidimo algoritmas	12
1.2.3. Atkaitinimo modeliavimo algoritmas	12
1.2.4. Skruzdėlių elgseną imituojantis algoritmas	13
1.2.5. Tabu paieška	14
1.2.6. Hibridiniai genetiniai algoritmai.....	16
1.3. Tikslieji algoritmai	18
1.4. Pirmojo skyriaus išvados	19
2. HIBRIDINIS GENETINIS ALGORITMAS IR JO VARIANTAI PILKŪJŲ ŠABLONŲ FORMAVIMO UŽDAVINIUI SPREŽTI	20
2.1. Kvadratinio paskirstymo uždavinys	20
2.2. PŠF uždavinio matematinė formuluotė	20
2.3. Baziniai apibrėžimai	21
2.4. Hibridinis genetinis algoritmas PŠF uždaviniui	24
2.4.1. Pradinės populiacijos konstravimas.....	25
2.4.2. Tėvų atranka	26
2.4.3. Kryžminimas	26
2.4.4. Hierarchinės iteratyviosios tabu paieškos algoritmas.....	28
2.4.5. Populiacijos atnaujinimas	34
2.4.6. Populiacijos pertvarkymas.....	34
2.5. Hibridinio genetinio algoritmo komponentai	35
2.5.1. Bazinis hibridinio genetinio algoritmo variantas.....	35
2.5.2. Komponentas „PRADINĖ POPULIACIJA“	35
2.5.3. Komponentas „LOKALUSIS PAGERINIMAS“	36

2.5.4.	Komponentas „SPRENDINIŲ-TĖVŲ ATRANKA“	37
2.5.5.	Komponentas „KRYŽMINIMO PROCEDŪRA“	38
2.5.6.	Komponentas „KRYŽMINIMŲ SKAIČIUS“	39
2.5.7.	Komponentas „POPULIACIJOS ATNAUJINIMAS“	39
2.5.8.	Komponentas „POPULIACIJOS PERTVARKYMAS“	40
2.6.	Antrojo skyriaus išvados	42
3.	EKSPERIMENTINIAI TYRIMAI.....	43
3.1.	Eksperimentinių tyrimų metodika	43
3.2.	Hibridinio genetinio algoritmo palyginimo su PGEA rezultatai	43
3.3.	Algoritmo komponentų eksperimentinių tyrimų rezultatai	49
3.4.	Eksperimentinių tyrimų apibendrinamosios pastabos	71
3.5.	Trečiojo skyriaus išvados	72
	BENDROSIOS IŠVADOS	73
	LITERATŪROS SĄRAŠAS.....	74
	AUTORĖS MOKSLINIŲ PUBLIKACIJŲ DISERTACIJOS TEMA SĄRAŠAS	80
	A PRIEDAS	81
	B PRIEDAS.....	85

SANTRUMPOS

2D – dvimatė grafika (angl. *2D computer graphics*);
3D – trimatė grafika (angl. *3D computer graphics*);
GA – genetiniai algoritmai (angl. *genetic algorithms*);
GAP – godžioji adaptyvioji procedūra (angl. *greedy adaptive procedure*);
GDU – grafų dalijimo uždavinys (angl. *graph partitioning problem*);
GGAP – greitoji godžioji adaptyvioji procedūra (angl. *fast greedy adaptive procedure*);
GŽR – geriausia žinoma reikšmė (angl. *best known value*);
GŽS – geriausias žinomas sprendinys (angl. *best known solution*);
HGA – hibridiniai genetiniai algoritmai (angl. *hybrid genetic algorithms*);
HITP – hierarchinė iteratyvioji tabu paieška (angl. *hierarchical iterated tabu search*);
ITP – iteratyvioji tabu paieška (angl. *iterated tabu search*);
KP – kvadratinio paskirstymo uždavinys (angl. *quadratic assignment problem*);
KP-1 – modifikacija „DAŽNUMU PAREMTAS GODUSIS KRYŽMINIMAS“;
KP-2 – modifikacija „GODUSIS PRIEŠINGASIS (OPOZICINIS) KRYŽMINIMAS“;
KP-3 – modifikacija „GODUSIS KRYŽMINIMAS“;
KP-4 – modifikacija „EURISTINIS PRIEŠINGASIS (OPOZICINIS) KRYŽMINIMAS“;
KP-5 – modifikacija „EURISTINIS KRYŽMINIMAS“;
KP-6 – modifikacija „DAUGELIO TĖVŲ GENŲ DAŽNUMU PAREMTAS PRIEŠINGASIS (OPOZICINIS) KRYŽMINIMAS“;
KP-7 – modifikacija „DAUGELIO TĖVŲ GENŲ DAŽNUMU PAREMTAS KRYŽMINIMAS“;
KP-8 – modifikacija „PRIDERINTASIS (SPECIFINIS) PRIEŠINGASIS (OPOZICINIS) KRYŽMINIMAS“;
KP-9 – modifikacija „PRIDERINTASIS (SPECIFINIS) KRYŽMINIMAS“;
KP-10 – modifikacija „DAŽNUMU PAREMTAS GODUSIS PRIEŠINGASIS (OPOZICINIS) KRYŽMINIMAS“;
KS-1 – modifikacija „PADIDINTAS KRYŽMINIMŲ SKAIČIUS“;
KS-2 – modifikacija „VIENAS KRYŽMINIMAS“;
KU – komivojažieriaus uždavinys (angl. *traveling salesman problem*);
LP – lokali (arba aplinkos) paieška (angl. *local (or neighbourhood) search*);
LP-1 – modifikacija „TABU PAIEŠKOS ITERACIJŲ SKAIČIAUS MAŽINIMAS“;
LP-2 – modifikacija „TABU PAIEŠKOS ITERACIJŲ SKAIČIAUS DIDINIMAS“;
LP-3 – modifikacija „HIERARCHINĖS ITERATYVIOSIOS TABU PAIEŠKOS ITERACIJŲ SKAIČIAUS MAŽINIMAS“;
LP-4 – modifikacija „HIERARCHINĖS ITERATYVIOSIOS TABU PAIEŠKOS ITERACIJŲ SKAIČIAUS DIDINIMAS“;
MSU – maksimalaus skirtingumo uždavinys (angl. *maximum diversity problem*);
PA-1 – modifikacija „BLOGIAUSIO POPULIACIJOS NARIO PAKEITIMAS GERESNIU PALIKUONIŲ“;
PA-2 – modifikacija „BLOGIAUSIO POPULIACIJOS NARIO PAKEITIMAS“;

PA-3 – modifikacija „BLOGESNIOJO TĖVO PAKEITIMAS GERESNIU PALIKUONIU“;

PA-4 – modifikacija „BLOGESNIOJO TĖVO PAKEITIMAS“;

PA-5 – modifikacija „BLOGIAUSIO POPULIACIJOS NARIO PAKEITIMAS SU PAPILDOMA SĄLYGA“;

PGEA – pagerintasis genetinis evoliucinis algoritmas (angl. *improved genetic-evolutionary algorithm, IGEA*);

PP-1 – modifikacija „ATSITIKTINĖ POPULIACIJA“;

PP-2 – modifikacija „PADIDINTA IR PAGERINTA POPULIACIJA“;

PP-3 – modifikacija „PAGERINTA POPULIACIJA“;

PR-1 – modifikacija „POPULIACIJOS PERTVARKYMO NETAIKYMAS“;

PR-2 – modifikacija „MULTIMUTACIJA PAREMTAS POPULIACIJOS PERTVARKYMAS“;

PR-3 – modifikacija „PRIEŠINGŲ (OPOZICINIŲ) SPRENDINIŲ GENERAVIMU PAREMTAS POPULIACIJOS PERTVARKYMAS“;

PR-4 – modifikacija „GENŲ TRANSLOKACIJA PAREMTAS POPULIACIJOS PERTVARKYMAS“;

PR-5 – modifikacija „DETERMINUOTUOJU CHAOSU PAGRĪSTAS POPULIACIJOS PERTVARKYMAS“;

PR-6 – modifikacija „DETERMINUOTUOJU CHAOSU PAGRĪSTAS MODIFIKUOTAS POPULIACIJOS PERTVARKYMAS“;

PR-7 – modifikacija „ATSITIKTINĖS POPULIACIJOS GENERAVIMU PAREMTAS POPULIACIJOS PERTVARKYMAS“;

PŠF – pilkųjų šablonų formavimo uždavinys (angl. *grey pattern problem*);

SB – sėkmingų bandymų skaičius (angl. *success rate*);

STA-1 – modifikacija „RULETĖS RATAŲ MODELIOJANTI ATRANKOS PROCEDŪRA“;

STA-2 – modifikacija „SPRENDINIŲ RANGU PAGRĪSTA ATRANKOS PROCEDŪRA“;

TP – tabu paieška (angl. *tabu search*).

IVADAS

Gana aktuali informatikos mokslo sritis yra optimizavimo metodai ir algoritmai, jų sudarymas ir tyrimas. Reikšmingą šių metodų grupę sudaro modernūs euristiniai algoritmai, tarp jų ir hibridiniai genetiniai algoritmai.

Modernūs euristiniai algoritmai sėkmingai išvystyti sprendžiant sudėtingus teorinius matematinius ir taikomuosius praktinius uždavinius. Tokio uždavinio pavyzdžiai yra kvadratinio paskirstymo uždavinys (angl. *quadratic assignment problem*) (KP) ir jo atskiras atvejis – pilkųjų šablonų formavimo uždavinys (angl. *grey pattern problem*) (PŠF).

Šiame darbe dėmesys sutelkiamas būtent į efektyvių euristinių algoritmų kūrimą ir taikymą pilkųjų šablonų formavimo uždaviniui spręsti, kai siekiama gauti kuo tikslesnį (galimai optimalų) iš anksto apibrėžto intensyvumo pilką atspalvį. Darbe siekta tiek teorinių (iš pradžių buvo sukurti efektyvių euristinių algoritmų prototipai, skirti sudėtingų teorinių kombinatorinių optimizavimo uždavinių klasei), tiek praktinių tikslų (prototipai adaptuoti konkrečiam praktiniam techniniam uždaviniui).

PŠF uždaviniui gali būti pritaikyti įvairių tipų euristiniai algoritmai, pradedant lokalsios paieškos algoritmais, baigiant biologinių procesų inspiruotais kolektyvinio intelekto imitavimo algoritmais. Svarbus aspektas yra susijęs su hibridizavimu, kai bandoma pasiekti naudingą sąveiką kombinuojant (derinant) skirtingus komponentus (algoritmus). Geras pavyzdys galėtų būti greitosios vieno sprendinio pagrindu paremtos euristikos ir populiacija paremto (evoliucinio) algoritmo kombinavimas. Kitas svarbus aspektas yra prieš tai sukonstruotų efektyvių euristinių algoritmų daugartinis taikymas.

Tyrimo objektas. Tyrimo objektas yra hibridiniai genetiniai algoritmai, skirti pilkųjų šablonų formavimo uždaviniui spręsti.

Tyrimo tikslas. Darbo tikslas yra ištirti hibridinio genetinio algoritmo modifikacijų pilkųjų šablonų formavimo uždaviniui veikimo efektyvumą ir nustatyti efektyviausius algoritmo variantus.

Tyrimo uždaviniai. Tikslui pasiekti išsikelti šie darbo uždaviniai:

1. Atlikti pilkųjų šablonų formavimo uždaviniui taikomų algoritminių sprendimo būdų žvalgomąjį tyrimą.
2. Pasiūlyti ir realizuoti naują hibridinį genetinį algoritmą pilkųjų šablonų formavimo uždaviniui.
3. Eksperimentiškai ištirti algoritmo efektyvumą ir išanalizuoti gautus rezultatus.

Tyrimo metodika. Tyrimo metodika paremta euristinių ir metaeuristinių kombinatorinio optimizavimo algoritmų taikymu, kompiuterine algoritmų efektyvumo analize.

Darbo mokslinis naujumas ir praktinė vertė. Mokslinį darbo naujumą leidžia pagrįsti šie darbo rezultatai:

1. Pasiūlytas patobulintos struktūros (architektūros) hibridinis genetinys algoritmas pilkųjų šablonų formavimo uždaviniui spręsti.

2. Realizuotas hibridinio genetinio algoritmo integravimas su naujo tipo iteratyviosios tabu paieškos procedūra, kombinuojama su efektyviu adaptyviu sprendinių pertvarkymu.

Darbas turi praktinę vertę: sudarytas algoritmas sėkmingai išbandytas sprendžiant didelės apimties pilkųjų šablonų formavimo uždavinius. Tai leidžia sukurti geresnės kokybės spalvų atspalvius, skaitmeninius vaizdus. Visa tai yra aktualu pritaikant modernius euristinius algoritmus praplėstojoje (virtualiojoje) realybėje.

Ginamieji teiginiai:

1. Sudarytas hibridinis genetinis algoritmas yra tinkamas ir efektyvus būdas spręsti pilkųjų šablonų formavimo uždavinį.
2. Kompiuteriniais eksperimentais nustatyta, kad sukurtas hibridinis genetinis algoritmas yra pranašesnis už kitus euristinius algoritmus šiam uždaviniui spręsti.

Darbo rezultatų aprobavimas. Paskelbti 6 moksliniai straipsniai disertacijos tema, 2 iš jų – Mokslinės informacijos instituto (ISI) pagrindinio sąrašo leidiniuose, turinčiuose citavimo indeksą. Disertacijos tema atliktų tyrimų rezultatai buvo pristatyti 3 tarptautinėse mokslinėse konferencijose.

Darbo struktūra. Disertaciją sudaro įvadas, trys dalys, išvados, priedai, literatūros šaltinių ir paskelbtų mokslinių publikacijų darbo tema sąrašai. Darbo apimtis yra 88 puslapiai. Tekste panaudotos 26 formulės, pateikti 38 paveikslai ir 30 lentelių. Rengiant disertaciją remtasi 93 literatūros šaltiniais.

1. LITERATŪROS APŽVALGA

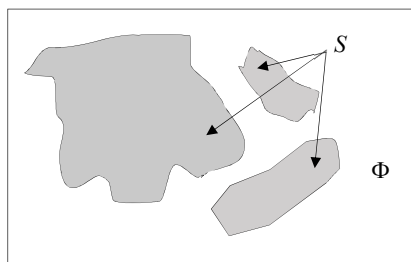
Sprendžiant optimizavimo uždavinius (angl. *optimization problems*), siekiama rasti geriausią kintamųjų konfiguraciją, kitaip tariant, geriausią (galimai optimalų) sprendinį. Optimizavimo uždavinius galima suskirstyti į dvi pagrindines kategorijas pagal kintamųjų prigimtį: naudojami tolydžiojo tipo kintamieji arba diskretinio tipo kintamieji. Kai kintamieji yra tolydžiojo tipo, paprastai ieškoma realiųjų skaičių rinkinio. Sprendžiant kombinatorinio optimizavimo uždavinius (angl. *combinatorial optimization problems*), naudojami diskretinio tipo kintamieji. Tokiu atveju kintamųjų reikšmių aibė yra baigtinė arba bent jau suskaičiuojama [1–3].

Formaliai kombinatorinio optimizavimo uždavinys gali būti aprašytas kaip pora (S, f) [4], kur S yra leistinų sprendinių aibė (angl. *set of feasible solutions*), f yra funkcija, kurios apibrėžimo sritis – aibė S . Ši funkcija vadinama optimizavimo uždavinio tikslo funkcija (angl. *objective function*) [1]. Aibę S galima apibrėžti kaip bazinės aibės Φ (angl. *ground set*) poaibį (1 pav.). Aibė Φ yra visų galimų reikšmių aibė [5]. Jeigu tikslo funkcija f turi būti minimizuojama (kitu atveju gali būti maksimizuojama), tada išspręsti kombinatorinio optimizavimo uždavinį (S, f) reiškia rasti tokį sprendinį $S^* \in S$, kur

$$f(S^*) \leq f(s); \quad (1)$$

čia $s \in S$.

Sprendinys S^* , kuris minimizuoja tikslo funkciją f , yra uždavinio (S, f) optimalus sprendinys.



1 pav. Bazinė ir leistinų sprendinių aibės

Nemažą dalį kombinatorinio optimizavimo uždavinių sudaro uždaviniai, kuriuose kintamųjų reikšmių tipas yra perstatymas (angl. *permutation*). Perstatymą galima apibūdinti kaip kurios nors baigtinės aibės nesikartojančių elementų seką. Aibė S formaliai aprašoma taip:

$$S = \{ s \mid s = (s(1), s(2), \dots, s(n)), s(i) \in \{ 1, 2, \dots, n \}, i = 1, 2, \dots, n, \\ s(i) \neq s(j), i, j = 1, 2, \dots, n, i \neq j \}; \quad (2)$$

čia s – perstatymas, $s(i)$ – perstatymo s i -tasis elementas, n – uždavinio apimtis.

Algoritmus, skirtus optimizavimo uždaviniams spręsti, galima suskirstyti į tris pagrindines kategorijas: 1) tikslieji algoritmai, kuriuos taikant randamas optimalus uždavinio sprendinys (algoritmų vykdymo laikas ilgėja eksponentiškai, didėjant uždavinio apimčiai); 2) aproksimaciniai algoritmai, kurie užtikrina, kad gauto

sprendinio kokybė skirsis nuo geriausio galimo sprendinio kokybės ne daugiau kaip iš anksto nustatyta paklaida; 3) euristiniai algoritmai, leidžiantys gauti geros kokybės (artimą optimaliam) sprendinį per priimtina skaičiavimų laiką. Euristinių algoritmų pranašumas prieš tikslius ir aproksimacinius algoritmus yra tai, kad nebelieka eksponentinės paieškos laiko priklausomybės nuo sprendžiamo uždavinio apimtys. Euristinius algoritmus sudaro keliolika atskirų algoritmų grupių, tokių kaip: atkaitinimo modeliavimas (angl. *simulated annealing*), genetiniai algoritmai (angl. *genetic algorithms*), tabu paieška (angl. *tabu search*), godžioji randomizuota adaptyvioji paieška (angl. *greedy randomized adaptive search*) ir kt. [5, 6].

Euristiniai algoritmai taikomi spręsti sudėtingiems kombinatorinio optimizavimo uždaviniams, tokiems kaip kvadratinio paskirstymo uždavinys [7–10], pilkųjų šablonų formavimo uždavinys, komivojažieriaus (keliaujančio pirklio) uždavinys (angl. *traveling salesman problem*) (KU) [11–13], maksimalaus skirtingumo uždavinys (angl. *maximum diversity problem*) (MSU) [14–16], grafų dalijimo uždavinys (angl. *graph partitioning problem*) (GDU) [17].

1.1. Pilkųjų šablonų formavimo uždavinys

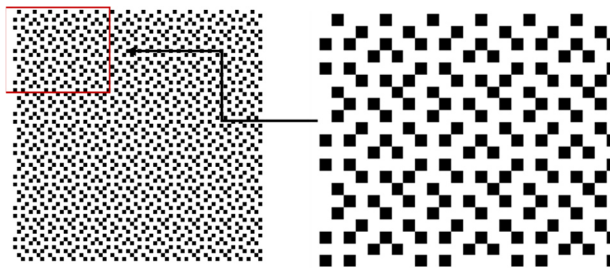
Pilkųjų šablonų formavimo uždavinį galima aprašyti taip: duotas $n_1 \times n_2$ matmenų tinklelis, kurį sudaro $n = n_1 \times n_2$ vienodo dydžio kvadratėlių (taškų) [10]. Tinklelio eilučių skaičius yra lygus n_1 , stulpelių skaičius – n_2 . Sprendžiant PŠF uždavinį laikoma, kad standartiniu atveju kvadratėliai yra juodos arba baltos spalvos. (Sprendžiant spalvotų šablonų formavimo uždavinį, spalvos gali skirtis.) Baltos spalvos kvadratėliai dažniausiai laikomi fonu (angl. *background*), o juodos – pagrindine spalva (angl. *foreground*). Yra duotas parametras $m < n$, kuris nurodo juodos spalvos kvadratėlių skaičių. Tuomet baltos spalvos kvadratėlių skaičius yra lygus $n - m$.

Turimus juodus ir baltus kvadratėlius tvarkingai išdėsčius tinklelyje, gaunami vadinamieji pilkieji šablonai (angl. *grey patterns*). Šablono spalvos intensyvumas (angl. *grey density*) yra lygus $\frac{m}{n}$ ($0 \leq \frac{m}{n} \leq 1$). Kuo mažesnė parametro m reikšmė, tuo spalva „šviesesnė“ ir artimesnė baltai spalvai. Ir, atvirkščiai, kuo m didesnis, tuo spalva „tamsesnė“ ir artimesnė juodai spalvai.

Taigi, yra duotas bendras kvadratėlių skaičius n ir parametro m reikšmė¹. Tikslas yra išdėstyti tinklelyje baltus ir juodus kvadratėlius kiek įmanoma tolygiau. Kitaip tariant, reikia suformuoti kuo taisyklingesnį pilkųjų atspalvių šabloną, imituojantį pageidaujamo intensyvumo pilką spalvą [18, 19]. Pilkųjų šablonų pavyzdžiai pateikiami 2 pav.

Detali PŠF uždavinio matematinė formuluotė pateikiama 2.2. poskyryje.

¹ Dar galima sakyti, kad yra duota n elementų ir skaičius m ($m < n$), kuris nurodo kiek elementų turi būti atrinkta. Taip pat yra nurodyti atstumai tarp visų elementų. Siekiama surasti elementų poaibį, susidedantį iš m elementų ir tokį, kad visų šio poaibio elementų porų atstumų suma būtų minimali.



2 pav. Pilkujų šablonų pavyzdžiai

1.2. Pilkujų šablonų formavimo uždavinio sprendimas: euristiniai algoritmai

Pilkujų šablonų formavimo uždavinys [10, 20, 21] formuluojamas matematiškai kaip atskiras kvadratinio paskirstymo uždavinio atvejis [10]. Nors šis uždavinys skirtas pilkiesiems atspalvams generuoti (angl. *digital halftoning*) [22, 23], jis gali būti pritaikomas bet kuriai turimos spalvų paletės diskretinei spalvai [18].

Pilkujų šablonų formavimo uždaviniui spręsti taikomi tokie euristiniai algoritmai, kaip godusis algoritmas (angl. *greedy algorithm*) (GoA) [24], greičiausio nusileidimo algoritmas (angl. *steepest descent algorithm*) (GNA) [24], tabu paieška (TP) [24–27], atkaitinimo modeliavimo (AM) algoritmas [24], skruzdėlių elgseną imituojantis algoritmas (angl. *ant system*) (SEI) [28, 29], hibridinis genetinis algoritmas (angl. *hybrid genetic algorithm*) (HGA) [20, 28, 30].

1.2.1. Godusis algoritmas

Godžiojo algoritmo veikimas yra pagrįstas tokia paieškos strategija, kai kiekviename algoritmo žingsnyje pasirenkamas tuo momentu geriausias sprendinys [31, 32]. Daugeliu atvejų GoA nesuranda globaliai optimalaus sprendinio, tačiau ši euristika gali padėti rasti pakankamai gerą sprendinį per labai trumpą laiką. Taikant GoA yra formuojamas vadinamasis dalinis sprendinys (klasteris) [24]. Sprendinys konstruojamas taikant atitinkamus žingsnius ir kiekviename algoritmo žingsnyje esamas sprendinys yra papildomas (išplečiamas).

Pagrindiniai algoritmo žingsniai gali būti aprašomi taip:

1. Dalinis sprendinys pradedamas pildyti nuo pirmojo atskaitinio elemento (tuo metu geriausio pasirinkimo).
2. Tikrinami visi elementai, kurie nėra įtraukti į dalinį sprendinį, ir skaičiuojama atstumų tarp visų šių elementų ir elementų, kurie yra įtraukti į dalinį sprendinį, suma.
3. Į dalinį sprendinį įtraukiamas elementas, turintis mažiausią atstumų nuo visų sprendinio elementų sumą, t. y. pridedamas elementas iš dar nepasirinktų elementų $\{j: j = 1, \dots, n\} \setminus \{p(i): i = 1, \dots, k\}$ su mažiausia atstumų suma $(p(1), \dots, p(k) - \text{esamas sprendinys})$.
4. Kartojama nuo 2 žingsnio tol, kol sprendinį sudarys m taškų ($m < n$).

Žingsniai kartojami n kartų tol, kol kiekvienas elementas bus pasirinktas kaip atskaitinis elementas. Geriausias sprendinys, gautas iš visų n galimų sprendinių, yra godžiojo algoritmo rezultatas.

Literatūroje [24] pateikiamuose eksperimentų rezultatuose GoA vykdymo laikas visais 126 m atvejais (kai $n = 256$) buvo trumpesnis nei 2 minutės [24]. Geriausią žinomą reikšmę (angl. *best known value*) (GŽR) pavyko pasiekti su 11 m reikšmių ($m = 3, 4, 8, 16, 112, 120, 124-128$).

1.2.2. Greičiausio nusileidimo algoritmas

Greičiausio nusileidimo algoritmas [24] yra labai panašus į euristinį algoritmą, kuris buvo pasiūlytas Teitzo ir Bart [33] p -medianos uždaviniui (angl. *p-median problem*) spręsti.

1. Pasirenkamas pradinis sprendinys M , sudarytas iš m elementų, $m < n$.
2. Vertinamas tikslo funkcijos reikšmės pokytis atliekant visus galimus elementų, esančių sprendinyje, ir elementų, kurie nepriklauso sprendiniui M , sukeitimus.
3. Jeigu randama tokia elementų pora, kai, elementus sukeitus vietomis, tikslo funkcijos reikšmė pagerinama, tada elementai sukeičiami ir kartojama nuo 2 žingsnio. Priešingu atveju vykdomas 4 žingsnis.
4. Gautas sprendinys yra algoritmo rezultatas. Algoritmas baigiamas.

Šiuo atveju tikslo funkcijos reikšmės pokytis (žr. 2 žingsnį) apskaičiuojamas pagreitintu būdu.

Aprašytuose eksperimentuose [24] GNA vykdymo laikas visais 126 m atvejais (kai $n = 256$) buvo apytiksliai 4 minutės [24]. GŽR pavyko pasiekti su 25 m reikšmėmis ($m = 3-17, 20, 21, 23, 24, 31, 33, 123, 125, 126, 128$).

1.2.3. Atkaitinimo modeliavimo algoritmas

Pagrindinė AM algoritmo idėja pagrįsta statistinės mechanikos dėsniais. Jį taikant imituojami sistemų įkaitinimo ir atkaitinimo procesai [34]. Atkaitinimo modeliavimo algoritmas optimizavimo uždaviniams spręsti buvo pasiūlytas Kirkpatricko, Gelato ir Vecchi [35]. AM algoritmą galima aprašyti taip: (S, f) ; čia S – sprendinių aibė, f – tikslo funkcija. Vykdyti algoritmą pradedama nuo atsitiktinai sugeneruoto sprendinio ($s \in S$). Sprendinio s aplinkoje S' ($S' \subseteq S$) parenkamas sprendinys s' ir apskaičiuojamas tikslo funkcijos pokytis: $\Delta f = f(s') - f(s)$. Jeigu $\Delta f < 0$, esamas sprendinys s pakeičiamas sprendiniu s' . Kitu atveju sprendinys keičiamas su tikimybe $P(\Delta f) = e^{-\Delta f/t}$; čia t – temperatūra, kuri palaipsniui mažinama iki nustatytos apatinės ribos.

Literatūroje [24] aprašomas AM algoritmas, pritaikytas PŠF uždaviniui spręsti, turi šiuos pagrindinius žingsnius:

1. Generuojamas pradinis sprendinys M ($|M| < n$). Nustatoma temperatūra $t = t_0$; čia t_0 – pradinė temperatūra.
2. Atsitiktiniu būdu parenkamas elementas, kuris bus pašalintas iš sprendinio M . Į šio elemento vietą įdedamas elementas, kuris nepriklauso sprendiniui M . Taip suformuojamas naujas sprendinys M' .
3. Skaičiuojamas tikslo funkcijos pokytis: $\Delta f = f(M') - f(M)$.
4. Jeigu $\Delta f < 0$, M pakeičiamas M' ir atliekamas 7 žingsnis.
5. Sprendiniai sukeičiami (M pakeičiamas M') su tikimybe $P(\Delta f) = e^{-\Delta f/t}$. Kitu atveju paliekamas esamas sprendinys.

6. Jeigu nepasiektas iteracijų skaičius, kartojama nuo 2 žingsnio.
7. Temperatūros parametras t dauginamas iš aušinimo faktoriaus α .
8. Gautas sprendinys yra algoritmo rezultatas. Algoritmas baigiamas.

Eksperimentuose [24] taikant AM algoritmą PŠF uždaviniui, kai uždavinio dydis $n = 256$, net ir išbandžius skirtingas pradines parametrų reikšmes, gerų rezultatų gauti nepavyko.

1.2.4. Skruzdėlių elgseną imituojantis algoritmas

Šeštojo dešimtmečio pabaigoje imta domėtis vabzdžių kolektyviniu elgesiu. Ieškodamos maisto gamtoje skruzdėlės pirmiausia paiešką atlieka atsitiktinai pasirinkdamos kelią netoli skruzdėlyno. Judėdamos jos išskiria feromonų ir palieka jų pėdsaką (tokiu būdu randa kelią atgal). Radosios maisto, skruzdėlės neša jį į skruzdėlyną, judėdamos tuo pačiu keliu, kuriuo atėjo. Po kurio laiko keliai iki maisto šaltinio bus pažymėti skirtingais kiekiais feromonų, t. y. artimesnis kelias bus pažymėtas didesniu kiekiu feromonų, nes juo bus dažniau einama. Taip skruzdėlės gali optimizuoti maršrutus ieškodamos maisto. 1991 m. pagal skruzdėlių elgseną buvo sukurtas skruzdėlių sistemos algoritmas [36].

Taillardo ir Gambardellos [28] aprašoma greitoji skruzdėlių elgseną imituojanti sistema (angl. *fast ant system, FANT*) (GSEI) turi integruotą lokaliąją paiešką, kuri taikoma sprendiniui, gautam pritaikius GSEI algoritmą, pagerinti. Algoritmas taip pat turi pakoreguotą statistinių duomenų rinkimo atmintį, kuri realizuota kaip $n \times n$ dydžio matrica, – feromonų matricą. Pagrindinė algoritmo idėja yra įvertinti feromonų matricos elementų f_{ij} įtaką sprendiniui (perstatymui) p . Feromonų (atminties) matricos F laukelis f_{ij} saugo $p_i = j$ duomenis iš prieš tai paieškos proceso metu sugeneruoto sprendinio. Matrica F saugo skruzdėlių paliktus feromonų pėdsakus. Algoritmas buvo panaudotas bendresniam už PŠF uždavinį KP uždaviniui spręsti.

Pagrindiniai GSEI algoritmo žingsniai:

1. Sugeneruojama PD dydžio pradinė skruzdėlių populiacija (kolonija); čia PD – pradinis parametras, nurodantis populiacijos dydį. Įvertinus atstumą tarp populiacijos narių, apskaičiuojamos pradinės feromonų matricos F reikšmės.
2. Atsitiktinai (arba taikant papildomas sąlygas) atrenkamas populiacijos sprendinys s .
3. Įvertinus matricos F reikšmes, iš atrinkto sprendinio s gaunamas naujas sprendinys s' .
4. Sprendinys s' pagerinamas.
5. Populiacija atnaujinama įtraukiant į ją sprendinį s' .
6. Perskaičiuojamos feromonų matricos F reikšmės.
7. Pereinama į kitą iteraciją, t. y. vykdomas 2 žingsnis. Jeigu atliktos visos iteracijos, algoritmas baigiamas. Algoritmo rezultatas yra geriausias gautas populiacijos sprendinys.

Gambardella, Taillardas ir Dorigo [29] aprašė panašų hibridinį skruzdėlių algoritmą, pagal kurį atmintis yra naudojama modifikuoti esamam sprendiniui taikant lokalsios paieškos algoritmą.

1.2.5. Tabu paieška

Tabu paieškos metodas buvo pasiūlytas 1987 metais Hanseno ir Jaumard [37]. Prie metodo pradininkų galima priskirti ir Gloverį, kurio straipsniuose šis metodas buvo išsamiai aprašytas [38, 39].

Tabu paieška iki šiol yra gana sėkmingai taikoma kombinatorinio optimizavimo uždaviniams, tokiems kaip kvadratinio paskirstymo, tvarkaraščių sudarymo [40, 41] ir kt., spręsti.

Taikant tabu paieškos metodą, paieška pradedama nuo pradinio sprendinio s . Toliau vykdoma iteracinė paieška keliaujant nuo sprendinio prie sprendinio. Paieškos metu tikrinama sprendinio s aplinka $N(s)$ siekiant surasti sprendinį, turintį pagerintą (mažesnę, kai funkcija minimizuojama, ir didesnę priešingu atveju) tikslo funkcijos f reikšmę. Tabu paieškoje galimi perėjimai, ne tik pagerinantys tikslo funkcijos reikšmę, bet ir pabloginantys ją (tai esminis skirtumas nuo lokalsios paieškos algoritmų, kuriuos taikant draudžiami perėjimai prie blogesnio (turinčio blogesnę tikslo funkcijos reikšmę) sprendinio). Neradus geresnio sprendinio yra galimas perėjimas prie sprendinio, kuris mažiausiai pablogina tikslo funkcijos reikšmę [42, 43]. Tabu paieška paremta draudimais, t. y. siekiama išvengti grįžimo prie jau buvusių sprendinių (priešingu atveju būtų tikimybė, kad paieška bus pradedama nuo to paties sprendinio) [44]. Kitaip tariant, tokie sprendiniai tampa tabu ir įtraukiami į tabu sąrašą T . Svarbus parametras yra šio sąrašo ilgis (paskutinių nagrinėtų sprendinių, įtrauktų į tabu sąrašą, skaičius). Jeigu jis yra per mažas, gali būti gaunamas paieškos ciklinimas ar chaotiškumas. Jeigu šis parametras labai didelis – gali būti užblokuota paieška potencialiai geroje aplinkose.

Kartais (praėjus tam tikram laikui) gali būti leidžiama grįžti prie sprendinio, kuris yra tabu sąrašo, tam, kad paieška galėtų būti tęsiama kitomis kryptimis. Šiuo atveju taikomas aspiracijos kriterijus [45, 46], kuriuo nusakomos tam tikros išimtinės taisyklės, kada jis gali būti taikomas, pvz., tada, kai sprendinio, prie kurio norima grįžti, tikslo funkcijos reikšmė yra mažesnė už iki šiol rastą geriausią reikšmę. Tabu sąrašas ir aspiracijos kriterijus yra dinamiškai atnaujinami vykdant algoritmą.

Tabu paieškos pagrindinio ciklo metu nustatoma: 1) ar sprendinys yra tabu; 2) ar tenkinamas aspiracijos kriterijus. Kitaip tariant, ieškoma sprendinio, tenkinančio sąlygą: $s \in N^*(s) \subseteq N(s)$; čia $N^*(s)$ – sprendinio s aplinkos poaibis, kuris nepriklauso tabu sąrašui T ir tenkina aspiracijos sąlygą. Tabu paieška stabdoma pagal nustatytus kriterijus, tokius kaip: pasiektas fiksuotas iteracijų skaičius; tikslo funkcijos reikšmė nepagerinama tam tikrą nustatytą skaičių kartų; tikslo funkcija pasiekia iš anksto nustatytą slenksčio reikšmę [47, 48].

Dreznerio [24] pateikiamo tabu paieškos algoritmo PŠF uždaviniui spręsti pagrindinius žingsnius galima aprašyti taip:

1. Pasirenkamas pradinis sprendinys. Jis laikinai tampa geriausiu rastu sprendiniu.
2. Išvalomas tabu sąrašas.
3. Jeigu pasiekiamas nustatytas iteracijų skaičius, algoritmas stabdomas. Geriausias rastas sprendinys yra TP algoritmo rezultatas.
4. Pagal iš anksto nustatytas ribas $[T_{min}, T_{max}]$ atsitiktinai generuojamas uždraudimų valdymo kriterijus TT .

5. Vertinami visi galimi elementų sukeitimai, kurių skaičius yra lygus $m(n - m)$; čia n – elementų skaičius ($m < n$).
6. Jeigu sukeitus elementus gaunamas geresnis sprendinys už iki tol geriausią rastą sprendinį, šie elementai sukeičiami, išimenuojamas naujas geriausias sprendinys ir vykdomas 3 žingsnis. Priešingu atveju vykdomas 7 žingsnis.
7. Atliekamas geriausias elementų sukeitimas (nesvarbu, ar toks sprendinys bus geresnis už iki šiol rastą geriausią sprendinį), išskyrus tuos atvejus, kai įtraukiamo elemento uždraudimų valdymo parametro reikšmė tabu sąrašė yra mažesnė už nustatytą kriterijų TT . Į tabu sąrašą įtraukiamas elementas, kuris buvo pašalintas iš sprendinio. Atliekamas 3 žingsnis.

Aprašytas algoritmas buvo taikomas sprendžiant $n = 256$ dydžio uždavinį [24]. Eksperimentais buvo nustatyta, kad geresnius rezultatus galima gauti tada, kai parametrai $T_{min} = 0,2(n - m)$ ir $T_{max} = 0,2(n - m)$. Eksperimentai buvo atlikti taikant $N_{iter} = 2000n$ ir $N_{iter} = 10000n$; čia N_{iter} – iteracijų skaičius. Pastebėta, kad didinant iteracijų skaičių gaunami geresnės kokybės rezultatai. Tais atvejais, kai $m \leq 64$ ir $m \geq 95$, uždavinį išspręsti pavyko nesunkiai. Tačiau kai $65 \leq m \leq 94$, TP algoritmas neparodė gerų rezultatų. Kai $22 \leq m \leq 112$, GŽR pavyko pasiekti 55,1 proc. kartų, esant $N_{iter} = 2000n$, ir 62,6 proc. kartų, kai $N_{iter} = 10000n$. Vidutinis TP algoritmo vykdymo laikas, kai $N_{iter} = 2000n$ ir $N_{iter} = 10000n$, buvo atitinkamai 0,46 min ir 2,12 min. GŽR buvo rasta su 41 m reikšme.

Taillardas [25] aprašo stabiliojo veikimo tabu paiešką (angl. *robust taboo search*). Šiuo atveju vykdoma paprasta lokalią paiešką (angl. *local (or neighbourhood) search*), tačiau gautas sprendinys turi tenkinti papildomas sąlygas. Taip pat nustatomi du parametrai t (ilgalaikė atmintis) ir u (trumpalaikė atmintis), kurie padeda algoritmui nenagrinėti kas kartą jau nagrinėtų sprendinių. Algoritmas buvo išbandytas su $n = 64$ dydžio PŠF uždaviniu, kai $m = 13$. Per eksperimentą gautas santykinis nuokrypis nuo GŽR buvo 0,439 proc.

Kitas literatūroje randamas metodas yra reaktyvioji (reaguojanti) tabu paieška (angl. *reactive taboo search*), aprašyta Battiti ir Tecchiolli [26]. Šis metodas paremtas paprastosios tabu paieškos principais. Pradinis sprendinys, kaip ir prieš tai aprašytu atveju, pasirenkamas atsitiktinai, tačiau diversifikavimo mechanizmas skiriasi: jeigu duotieji sprendiniai yra dažnai pasirenkami (aplankomi), tada atsitiktinai pašalinama keletas narių, atmintis išvaloma. Šiuo atveju santykinis nuokrypis nuo GŽR sudarė 0,335 proc., kai $n = 64, m = 13$.

Apribotoji tabu paieška (angl. *strict taboo search*) [26] labiausiai atitinka standartinę tabu paiešką, kurią vykdant visi sprendiniai, aplankyti iteracijos k metu, yra leidžiami. Taikant apribotą tabu paiešką santykinis nuokrypis nuo GŽR sudarė 0,703 proc. ($n = 64, m = 13$).

Talbi, Hafidi ir Geibo [27] aprašomas lygiagrečiosios adaptyviosios tabu paieškos algoritmas (angl. *parallel adaptive taboo search algorithm*) paremtas pagrindine idėja, kad keletas nepriklausomų (savarankiškai vykdomų) tabu paieškos algoritmų veikia lygiagrečiai. Šiuo atveju nereikalingas komunikavimas tarp nuoseklių užduočių. Publikacijoje [27] aprašyti eksperimentai su $n = 64$ ir $n = 256$ dydžio uždaviniais. GŽR pavyko pagerinti tris kartus, kai $m = 64, 86, 92, n = 256$.

Kitais atvejais, kai $m = 13$ ($n = 64$) ir kai $m = 98, 128$ ($n = 256$), buvo pasiektos GŽR.

1.2.6. Hibridiniai genetiniai algoritmai

Pagrindiniai genetinių algoritmų (GA) veikimo principai pirmą kartą buvo aprašyti mokslininko Hollando [48]. Genetiniai algoritmai priskiriami prie evoliucinių skaičiavimo metodų klasės (angl. *evolutionary computation*). GA veikimas pagrįstas procesų, vykstančių natūraliojoje gamtoje, imitavimu – natūraliųjų atranka ir evoliucija [49–54]. GA sprendimo būdas nepriklauso nuo sprendžiamo uždavinio, todėl šie algoritmai gali būti taikomi pradedant elementariomis matematinėmis funkcijomis ir baigiant sudėtingomis sistemomis.

Genetiniai algoritmai yra labai lankstūs. Tai leidžia gana nesunkiai juos modifikuoti ir taip sukurti naujus variantus. Vis dėlto šių algoritmų efektyvumas priklauso nuo sprendžiamo uždavinio. Galima išskirti pagrindinius GA trūkumus: priešlaikinę konvergavimą (angl. *premature convergence*) ir paieškos stagnacijos fenomeną (angl. *stalled evolution (stagnation)*). Tačiau šiuos trūkumus gali atsvirti teigiamos šio algoritmo savybės: gebėjimas atkartoti natūralius gamtoje vykstančius procesus ir operavimas sprendinių rinkiniu (populiacijomis). Dėl pastarosios savybės yra galimas savotiškas bendras individų būrio judėjimas hipotetinėje paieškos erdvėje [55].

Modifikuoti genetiniai algoritmai su papildomomis integruotomis optimizavimo procedūromis vadinami hibridiniais genetiniais algoritmais² (angl. *hybrid genetic algorithms*) (HGA).

Sudarant tokio tipo algoritmus galima remtis šiomis strategijomis:

- nuosekliji hibridizacija (angl. *sequential (relay) hybridization*) – algoritmai vykdomi vienas po kito;
- įdėtinė hibridizacija (angl. *embedded (teamwork) hybridization*) – algoritmai veikia kaip kooperuojantys agentai (angl. *cooperating agents*) [58].

Priežastys, skatinančios kurti hibridinius algoritmus, gali būti šios: siekiama pagerinti algoritmo našumą ir sprendinių kokybę; evoliucinis algoritmas prijungiamas kaip didesnės sistemos dalis [59].

Vykdam HGA sprendiniai gali būti optimizuojami taikant įvairias optimizavimo procedūras (lokaliojo sprendinių pagerinimo procedūras). Optimizavimas gali būti atliekamas įvairiuose GA etapuose, pvz., optimizavimo procedūros taikomos jau pirminės populiacijos nariams; sprendiniai pagerinami po kryžminimo procedūros (tai gana dažnai taikoma strategija); optimizavimas gali būti atliekamas ir po mutacijos procedūros. Jeigu iš anksto optimizuojama pradinė populiacija, tada genetinis algoritmas gali operuoti jau su pagerinta populiacija. Dar vienas būdas yra sprendinių optimizavimas po atrankos operacijos, t. y. atrenkami du individai (tėvai), ir individas su geresne tikslo funkcijos reikšme optimizuojamas; toliau genetinis algoritmas tęsiamas įprasta eiga [60].

² Hibridiniai genetiniai algoritmai kartais dar yra vadinami memetiniais algoritmais (angl. *memetic algorithms*) [56, 57].

Fleurentas ir Fernandas [30] aprašė genetinį tabu paieškos hibridinį algoritmą (angl. *genetic-taboo search hybrid, GTSH*) (GTPH). Šis algoritmas – tai genetinis algoritmas, naudojantis specialų kryžminimo operatorių [61] ir nenaudojantis standartinio mutacijos operatoriaus. Vietoj sprendinių mutacijos procedūros taikomos dvi euristikos – lokaloji paieška ir tabu paieška. Siekiant pagerinti sprendinių kokybę, kiekvienam pradinės populiacijos nariui taikomas euristinis algoritmas. Taikant lokalesios paieškos algoritmą, vykdomas vienas pagrindinis ciklas tol, kol randamas lokaliai optimalus sprendinys. Ieškomas sprendinys. GTPH buvo taikomas sprendžiant PŠF uždavinį, kai $n = 64$, $m = 13$. Algoritmas vykdytas 30 kartų ir visais atvejais pavyko pasiekti GŽR.

Modifikuotą GTPH versiją, genetinį nusileidimo hibridinį metodą (angl. *genetic-descent hybrid method, GDH*) (GNH) aprašė Taillardas ir Gambardella [28]. Pagrindinis skirtumas tarp šių dviejų algoritmų yra tas, kad GNH algoritme vietoj tabu paieškos buvo taikomas GSEI algoritmas (žr. 1.1.4 skyrelį).

Misevičius³ [20] pasiūlė pagerintą genetinį evoliucinį algoritmą (angl. *improved genetic-evolutionary algorithm, IGEA*) (PGEA). Šis algoritmas turi standartinius genetinius operatorius, tačiau kryžminimo (rekombinavimo) operatorius yra specifinis. Algoritmas paremtas dviem susietais procesais: interevoliucija, t. y. globaliuoju genetiniu evoliuciniu procesu, ir intraevoliucija – lokaliuoju paieškos procesu. Interevoliucija leidžia išlaikyti paieškos kryptį įvairumą, o intraevoliucija atlieka sprendinio pagerinimo funkciją.

PGEA pagrindiniai žingsniai:

1. Atsitiktinai sugeneruojama PD dydžio pradinė populiacija; čia PD – pradinis parametras, nurodantis populiacijos dydį.
2. Taikant intraevoliucinį algoritmą, optimizuojami pradinės populiacijos P nariai.
3. Randamas ir išsaugomas geriausias populiacijos sprendinys $s^* = \arg \min_{s \in P} f(s)$; čia P – pradinė populiacija, f – tikslo funkcija.
4. Vykdoma sprendinių-tėvų atranka $s', s'' \in P$.
5. Atlikus rekombinavimo procedūrą, gaunamas palikuonis s''' .
6. Taikant intraevoliucinį algoritmą, optimizuojamas sprendinys s''' .
7. Atnaujinama populiacija P , įtraukiant į ją palikuonį s''' .
8. Tikrinama sąlyga $f(s''') < f(s^*)$; jeigu sąlyga tenkinama, tada $s^* = s'''$ (įsimenamas geriausias sprendinys).
9. Jeigu sprendiniai nėra pagerinami ET kartų (ET – nustatytas tuščiosios eigos generacijų skaičius), visiems populiacijos nariams taikoma mutacijos procedūra.
10. Jeigu pasiektas nustatytas generacijų skaičius, algoritmas baigiamas. Kitu atveju žingsniai kartojami, pradedant 4 žingsniu.

PGEA Misevičiaus [20] buvo išbandytas sprendžiant $n = 256$ dydžio PŠF uždavinį. GŽR pavyko surasti visais m atvejais.

Literatūroje taip pat aprašomi hibridiniai genetiniai algoritmai, kuriuose taikomos skirtingos rekombinavimo procedūros [52, 62–69]. Misevičius ir

³ Išplėstinius eksperimentus su PGEA galima rasti straipsniuose [18, 19].

Rubliauskas [70] aprašo daugelio tėvų kryžminimą (angl. *multiple parent crossover*), kai atrenkami ne du (kaip standartiniame genetiniame algoritme), o nustatytas skaičius tėvų. Pritaikius šį kryžminimo operatorių gaunamas daugiau nei vienas palikuonis. Visi jie įtraukiami į populiaciją. Atitinkamai iš populiacijos pašalinami blogiausi nariai.

Kitas kryžminimo operatorius, vadinamasis tolygusis kryžminimas (angl. *uniform like crossover, ULX*), yra aprašytas Tate'o ir Smith [61]. Atsitiktinai pasirenkama vieta (taškas) π , nuo kurios bus atliekamas kryžminimas (sukeitimas). Pirma, visi elementai, kurie yra tose pačiose pozicijose abiejuose tėvuose, nukopijuojami į palikuonį. Antra, nepriskirtos perstatymo pozicijos nagrinėjamos iš kairės į dešinę: į nepriskirtą poziciją (nuo 1 iki π) atsitiktinai renkamas elementas iš tėvų (jeigu jis dar nėra palikuonio eilutėje). Likę nepriskirti elementai užpildomi atsitiktiniu būdu.

Viena iš tolygiojo kryžminimo operatoriaus modifikacijų yra bloko kryžminimas (angl. *block crossover, BX*) [63]. Šiam kryžminimui vietoj atskirų elementų naudojami elementų blokai (segmentai). Bloko dydis pasirenkamas intervale $[1, \lfloor \frac{n}{2} \rfloor]$. Kopijuojant blokus, turi būti atsižvelgiama į tai, jog perstatymo elementai negali kartotis.

1.3. Tikslieji algoritmai

Nagrinėjamaam uždaviniui spręsti Drezneris [24] pasiūlė šakų ir ribų algoritmą (angl. *branch and bound algorithm*) (ŠRA). Turima simetriška atstumų d_{ij} tarp elementų i ir j ($d_{ij} = d_{ji}$) $n \times n$ dydžio matrica su nuliais užpildyta įstrižaine. Tarkime, jog pasirenkama m indeksų p_1, p_2, \dots, p_m susietajam branduoliui (klasteriui) formuoti. Pusė tikslo funkcijos reikšmių gali būti apskaičiuojamos susumavus atstumus stulpeliuose p_1, p_2, \dots, p_m , kurių eilutės priklauso žemesniems p_j . Visi šie atstumai bus viršutiniame matricos trikampyje. Visos galimos m stulpelių iš n kombinacijos yra netiesiogai patikrinamos (įvertinamos). Apatinė riba nustatoma kiekvienam daliniam stulpelio pasirinkimui (sprendinių poaibiui). Kitaip tariant, formuojamas paieškos medis, kurio viršūnės yra sprendinių poaibiai. Renkamas pirmas stulpelis ir skaičiuojama apatinė riba, tada pasirenkamas antras stulpelis, skaičiuojama apatinė riba ir t. t. Skaičiavimai atliekami tol, kol apatinė riba yra didesnė už geriausią rastą sprendinį arba jam lygi. Tie stulpeliai, kurių apatinis režis patenka į nustatytą intervalą, nagrinėjami toliau, o kiti stulpeliai pašalinami. Publikacijoje [24] pateikiami eksperimentų rezultatai su $n = 256$ dydžio uždaviniu. Kai $m = 3, \dots, 8$ GŽR pavyko pasiekti, tačiau algoritmo vykdymo laikas lyginant su euristiniais algoritmais buvo gana didelis.

Drezneris, Misevičius ir Palubeckis [71] išbandė dar vieną šakų ir ribų algoritmą. Šiuo atveju jie pasiūlė kitokios (lyginant su prieš tai aprašytu algoritmu) konstrukcijos paieškos medį. Sprendinys sudaromas iš pasirinktų a_1, a_2, \dots, a_m elementų. Tikslo funkcijos reikšmė apskaičiuojama susumavus atstumų reikšmes pasirinktų eilučių ir stulpelių susikirtimo taškuose. Pagrindinė algoritmo idėja ta, kad eliminuojamos (pašalinamos) paieškos medžio šakos neturinčios optimalaus sprendinio. Atlikus eksperimentus su $n = 256, 576, 1024$ dydžio uždaviniais buvo

pastebėta, kad šis šakų ir ribų algoritmas randa optimalius sprendinius per priimtina skaičiavimų laiką tuomet, kai m reikšmės yra nedidelės.

1.4. Pirmojo skyriaus išvados

Atlikus algoritmų, taikomų PŠF uždaviniui spręsti, apžvalgą galima daryti tokias išvadas:

1. Nėra efektyvių tikslių ar apytikslų algoritmų sudėtingiems kombinatorinio optimizavimo uždaviniams (tarp jų ir šiame darbe sprendžiamam PŠF uždaviniui) spręsti, todėl tokie uždaviniai sprendžiami taikant euristinius algoritmus. Taigi tikslinga kurti (tobulinti) įvairius euristinius algoritmus (pvz., HGA) siekiant pagerinti sprendinių kokybę (rasti sprendinius, kuo artimesnius globaliajam optimumui) arba kiek įmanoma sutrumpinti vykdymo laiką.
2. Euristinių algoritmų lyginamoji analizė parodė, kad taikant šiuos algoritmus galima per priimtina vykdymo laiką gauti geros kokybės (galimai optimalius) sprendinius, kiek galima artimesnius globaliajam optimumui.

2. HIBRIDINIS GENETINIS ALGORITMAS IR JO VARIANTAI PILKŪJŲ ŠABLONŲ FORMAVIMO UŽDAVINIUI SPREŠTI

2.1. Kvadratinio paskirstymo uždavinys

Kvadratinio paskirstymo uždavinys 1957 metais buvo pristatytas Koopmanso ir Beckmanno kaip matematinis modelis ekonominių uždavinių kontekste [72]. Nuo to laiko jis buvo daugybės matematikos ir kompiuterių mokslo sričių tyrimų objektas. Dabar KP uždavinys traktuojamas kaip klasikinis kombinatorinio optimizavimo uždavinys, kuris vis dar įvairiapusis patrauklus tyrėjams. Galima išskirti keletą priežasčių, kodėl jis yra populiarus kombinatorinio optimizavimo kontekste: daugėja realaus gyvenimo uždavinių, matematiškai suformuluotų kaip KP uždaviniai; yra nemažai kitų gerai žinomų kombinatorinio optimizavimo uždavinių, kurie gali būti formuluojami kaip atskiri KP uždavinio atvejai (pvz., pilkųjų šablonų formavimo uždavinys, keliaujančio pirklio uždavinys, grafų dalijimo uždavinys ir kt.) [7].

KP uždavinys yra vienas iš sudėtingiausių kombinatorinio optimizavimo uždavinių. Apskritai, kai uždavinio dydis $n > 30$, jis neišsprendžiamas per priimtina laiką (pvz., kvadratinio paskirstymo uždavinys išsprendžiamas tiksliai tada, kai jo apimtis (n) neviršija 36), todėl reikia taikyti įvairius euristinius algoritmus vidutinio dydžio ir dideliems KP uždaviniams spręsti [7, 9, 73–80].

Nustatytos atstumų matricos su sveikosiomis reikšmėmis $A = (a_{ij})_{n \times n}$, $B = (b_{kl})_{n \times n}$ ir perstatymų aibė Π_n , sudaryta iš sveikųjų skaičių nuo 1 iki n . Reikia rasti perstatymą $p = (p(1), p(2), \dots, p(n)) \in \Pi_n$ minimizuojant funkciją:

$$z(p) = \sum_{i=1}^n \sum_{j=1}^n a_{ij} b_{p(i)p(j)}. \quad (3)$$

Sprendžiant KP uždavinį, perstatymą $p = (p(1), p(2), \dots, p(n))$ galima traktuoti kaip objektų išdėstymą į tam tikras pozicijas. Matrica $A = (a_{ij})_{n \times n}$ gali būti interpretuojama kaip sujungimų tarp komponentų matrica. Matrica $B = (b_{kl})_{n \times n}$ yra atstumų matrica, kur b_{kl} – atstumai tarp k ir l pozicijų. Kiekviena paskirties vietų konfigūracija atitinka tam tikrą perstatymą $p = (p(1), p(2), \dots, p(n))$, kur $p(i)$ nurodo vietą, į kurią padedamas i -tasis komponentas. Funkcija z gali būti traktuojama kaip apskaičiuota visų susijungimų ilgių, padaugintų iš reikšmių a_{ij} , suma.

2.2. PŠF uždavinio matematinė formuluotė

PŠF uždavinio atveju matricos $A = (a_{ij})_{n \times n}$ elementai gali įgyti tik dvi reikšmes – 0 ir 1, t. y.:

$$a_{ij} = \begin{cases} 1, & 1 \leq i \leq m \text{ ir } 1 \leq j \leq m; \\ 0, & \text{priešingu atveju} \end{cases}; \quad (4)$$

čia $i, j = 1, 2, \dots, n, m \leq n$.

Matrica A sprendžiant PŠF uždavinį tampa nereikalinga, užtenka žinoti tik parametro m tikslią reikšmę. Matricos B reikšmės apskaičiuojamos visoms esamoms taškų poroms pagal formulę:

$$b_{kl} = b_{(r-1)n_2+t(u-1)n_2+v} = \omega_{rtuv}, \quad (5)$$

$$\omega_{rtuv} = \min_{w_1, w_2 \in \{-1, 0, 1\}} \frac{1}{(r-u+w_1n_1)^2 + (t-v+w_2n_2)^2}; \quad (6)$$

čia $k, l = 1, 2, \dots, n, r, u = 1, 2, \dots, n_1, t, v = 1, 2, \dots, n_2, n_1 \times n_2 = n$.

Fizikinė (dydžio) ω_{rtuv} interpretacija būtų dydis, proporcingas stiprumui atstūmimo jėgos, veikiančios tarp dalelių i ir j , esančių pozicijose $p(i)$ ir $p(j)$. Pozicijų k ir l koordinatės yra atitinkamai (r, t) ir (u, v) . PŠF uždavinio rezultatu laikomas rastas perstatymas p . Norint rasti galimai optimalų perstatymą (perstatymo elementus $p(1), p(2), \dots, p(m)$, kur $1 \leq p(i) \leq n$), reikia rasti minimalią tikslo funkcijos reikšmę $z(p)$ ((7) formulė).

Tokiu būdu, sprendžiant PŠF uždavinį tikslas yra surasti perstatymo elementus $p(1), \dots, p(m)$ ($1 \leq p(i) \leq n, i = 1, \dots, m$) ir tokius, kad būtų minimizuojama ši tikslo funkcija:

$$z(p) = \sum_{i=1}^m \sum_{j=1}^m b_{p(i)p(j)}. \quad (7)$$

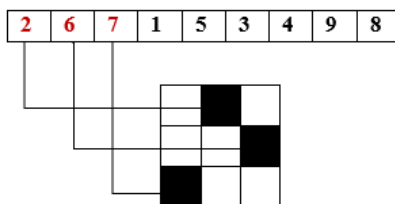
Rasto perstatymo p i -tasis elementas $p(i) = (r-1)n_2 + t$ rodo, kurioje vietoje turi būti padėtas juodas (spalvotas) kvadratėlis. Eilutės ir stulpelio indeksai r ir t apskaičiuojami pagal formules:

$$r = \lfloor (p(i) - 1)/n_2 \rfloor + 1, \quad (8)$$

$$t = ((p(i) - 1) \bmod n_2) + 1; \quad (9)$$

čia $i \leq m, \bmod$ žymi liekaną, gautą padalijus vieną skaičių iš kito.

Pavyzdžiui, jeigu turime galimai optimalų sprendinį $p = (2, 6, 7, 1, 5, 3, 4, 9, 8)$, $n_1 = 3, n_2 = 3, n = 9, m = 3$, tada sudėliotos dalelės (taškai) atrodytų taip (3 pav.):



3 pav. Perstatymo ir grafinio tinklelio pozicijų sąsaja

Paprastai n_1 ir n_2 reikšmės būna fiksuotos ir vienodo dydžio, o parametro m reikšmė yra kintanti. Esant fiksuotoms parametrams n_1 ir n_2 reikšmėms, PŠF uždavinį pakanka spręsti tik $n/2$ kartų, nes sprendiniai nuo $\frac{n}{2} + 1$ iki n gali būti gaunami invertuojant šablono fono ir pagrindinę spalvas.

2.3. Baziniai apibrėžimai

Šiame poskyryje pateikiami pagrindiniai apibrėžimai.

1 apibrėžimas. Aplinkos funkcija $\Theta: \Pi_n \rightarrow 2^{\Pi_n}$ priskiria kiekvienam $p \in \Pi_n$ rinkinį $\theta(p) \subseteq \Pi_n$, kur $\theta(p)$ yra p sprendinio kaimyninių sprendinių rinkinys. Sprendžiant perstatymu grįstus uždavinius įprasta taikyti aplinkos funkciją Θ_2 , kurią

galima apibrėžti taip: $\Theta_2(p) = \{p' : p' \in \Pi_n, \delta_H(p, p') = 2\}$; čia $\delta_H(p, p')$ yra Hamingo atstumas⁴ (angl. *Hamming distance*) tarp perstatymų p ir p' .

Pažymėtina, kad $p(1), \dots, p(m)$ elementų išdėstymo tvarka nėra svarbi PŠF uždaviniui, todėl reikia suformuluoti aplinkos nagrinėjimo (paieškos) funkciją tinkamu būdu.

2 apibrėžimas. Funkcija Θ_1 suformuluota taip, kad kiekvienas naujas sprendinys $p' \in \Theta_1(p)$ yra gaunamas iš esamo sprendinio p tiesiog sukeičiant vieną elementą iš $\{p(i) : i = 1, \dots, m\}$ su kitu elementu iš $\{p(j) : j = m + 1, \dots, n\}$.

Akivaizdu, kad ši funkcija užtikrina sprendinių tinkamumą, t. y. $\forall p \in \Pi_n : p' \in \Theta_1(p) \Rightarrow p' \in \Pi_n$. Formaliai:

$$\Theta_1(p) = \{p' : p' \in \Pi_n, \delta(p, p') = 1\}; \quad (10)$$

čia δ – atstumas tarp dviejų sprendinių.

3 apibrėžimas. Atstumas tarp dviejų sprendinių p_1 ir p_2 apskaičiuojamas:

$$\delta(p_1, p_2) = m - |\{p_1(i) : i = 1, \dots, m\} \cap \{p_2(i) : i = 1, \dots, m\}|; \quad (11)$$

čia $0 \leq \delta \leq m$, $\delta(p, p) = 0$, $\delta(p_1, p_2) = \delta(p_2, p_1)$.

Detaliau, tarkime, $p(v)$ ($u = 1, \dots, m$) ir $p(w)$ ($v = m + 1, \dots, n$) yra du elementai, kurie bus sukeičiami. Tada $p^{v,w}$ galima apibrėžti taip:

$$p^{v,w}(i) = \begin{cases} p(i), & i \neq v, w \\ p(v), & i = w \\ p(w), & i = v \end{cases}. \text{ Vadinasi, } p^{v,w} \text{ gaunamas iš sprendinio } p \text{ sukeičiant } p(v)$$

ir $p(w)$ elementus vietomis. Žinoma, kad $\delta(p, p^{v,w}) = 1$, $p^{v,v} = p$, $(p^{v,w})^{v,w} = p$.

4 apibrėžimas. Tikslų funkcijos pokytis sukeitus $p(v)$ ir $p(w)$ reikšmes apskaičiuojamas taip:

$$\Delta(p^{v,w}, p) = z(p^{v,w}) - z(p) = 2 \left(c(p(w)) - c(p(v)) - B(p(v), p(w)) \right); \quad (12)$$

čia $c(x)$ yra elemento x susijusių atstumų suma ((13) formulė).

5 apibrėžimas. Susijusių atstumų sumų masyvo c reikšmės apskaičiuojamos pagal formulę:

$$c(x) = \sum_{y=1}^m b_{xp(y)}; \quad (13)$$

čia $x = 1, \dots, n$.

6 apibrėžimas. Masyvo c reikšmės perskaičiuojamos sukeitus elementus pagal formulę:

$$c(x) = \begin{cases} c(x) + B(x, p(v)), & x = p(w) \\ c(x) - B(x, p(w)), & x = p(v) \\ c(x) + B(x, p(v)) - B(x, p(w)), & x \neq p(v), x \neq p(w) \end{cases} \quad (14)$$

čia $x = 1, \dots, n$.

⁴ Pažymėtina, kad Hamingo atstumas tarp dviejų perstatymų p_1 ir p_2 gali būti apibrėžiamas kaip $\delta_H(p_1, p_2) = |\{i : p_1(i) \neq p_2(i)\}|$.

Rasto sprendinio (perstatymo) elementai „sudėliojami“ remiantis (8) ir (9) formulėmis (žr. 2.2.1 skyrelį).

Galima keisti ir po kelis elementus, tada funkcija $\theta_{2\oplus 2}$ (keičiami du elementai su dviem) bus apskaičiuojama [81]:

$$\theta_{2\oplus 2}(p) = \left\{ p^{\nabla\nabla} \left| \begin{array}{l} p^{\nabla\nabla} = p^{ijrt}, p^{\nabla\nabla} \in \Pi_n, i = 1, \dots, m, j = m + 1, \dots, n, \\ r = (i \bmod m) + 1, t = \max((j \bmod n) + 1, m + 1) \end{array} \right. \right\}; \quad (15)$$

čia $p^{ijrt}(k) = \begin{cases} p(k), k \neq i, j, r, t \\ p(i), k = j \\ p(j), k = i \\ p(r), k = t \\ p(t), k = r \end{cases}, k = 1, \dots, n.$

Tada $\theta_{2\oplus 2\oplus 2}$:

$$\theta_{2\oplus 2\oplus 2}(p) = \left\{ p^{\nabla\nabla\nabla} \left| \begin{array}{l} p^{\nabla\nabla\nabla} = p^{ijrtuv}, p^{\nabla\nabla\nabla} \in \Pi_n, i = 1, \dots, m, j = m + 1, \dots, n, \\ r = (i \bmod m) + 1, t = \max((j \bmod n) + 1, m + 1), \\ u = (r \bmod m) + 1, v = \max((t \bmod n) + 1, m + 1) \end{array} \right. \right\}; \quad (16)$$

čia $p^{ijrtuv}(k) = \begin{cases} p(k), k \neq i, j, r, t, u, v \\ p(i), k = j \\ p(j), k = i \\ p(r), k = t \\ p(t), k = r \\ p(u), k = v \\ p(v), k = u \end{cases}, k = 1, \dots, n.$

Kai taikoma $\theta_{2\oplus 2}$ funkcija, tikslo funkcijos reikšmės pokytis apskaičiuojamas:

$$\Delta z(p, p^{ijrt}) = 2 \begin{pmatrix} c_{p(j)} - c_{p(i)} + c_{p(t)} - c_{p(r)} + b_{p(i)p(r)} + b_{p(j)p(t)} - \\ b_{p(i)p(j)} - b_{p(i)p(t)} - b_{p(r)p(j)} - b_{p(r)p(t)} \end{pmatrix}. \quad (17)$$

Atitinkamai, taikant $\theta_{2\oplus 2\oplus 2}$ funkciją, $\Delta z(p, p^{ijrtuv})$ apskaičiuojamas:

$$\Delta z(p, p^{ijrtuv}) = 2 \begin{pmatrix} c_{p(j)} - c_{p(i)} + c_{p(t)} - c_{p(r)} + c_{p(v)} - c_{p(u)} + \\ b_{p(i)p(r)} + b_{p(i)p(u)} + b_{p(r)p(u)} + b_{p(j)p(t)} + b_{p(j)p(v)} + \\ b_{p(t)p(v)} - b_{p(i)p(j)} - b_{p(i)p(t)} - b_{p(i)p(v)} - b_{p(r)p(j)} - \\ b_{p(r)p(t)} - b_{p(r)p(v)} - b_{p(u)p(j)} - b_{p(u)p(t)} - b_{p(u)p(v)} \end{pmatrix}. \quad (18)$$

PŠF uždaviniui spręsti bus naudojamas ir priešingumu pagrįstas sprendinys (kitaip tariant, esamo sprendinio papildinys) (angl. *opposition-based solution*), kuris siejamas su priešingumu paremtu mokymu (angl. *opposition-based learning*) [82]. Šio metodo loginis pagrindas yra prielaida, kad naudingiau apsvarstyti papildytą sprendinį atsižvelgiant į esamą sprendinį paieškos erdvėje nei pasirinkti naują atsitiktinai

sugeneruotą sprendinį. Priešingo (opozicinio) sprendinio naudingumas buvo nustatytas sprendžiant maksimalaus įvairumo uždavinį [15], kurį būtų galima pavadinti PŠF uždavinio „dvyniu“.

7 apibrėžimas. PŠF uždavinio sprendinys $\bar{p} \in \Pi_n$ yra sprendiniui p priešingas (opozicinis) sprendinys, jeigu $(p, \bar{p}) = m$.

Galiausiai apibrėžiamas pagrindo atrinkimu paremtas sprendinys (angl. *backbone solution*) [15].

8 apibrėžimas. PŠF uždavinio sprendinys $p^* \in \Pi_n$ yra pagrindo atrinkimu paremtas sprendinys (atsižvelgiant į du pagrindinius sprendinius p_1, p_2), jeigu tuo pačiu metu $\delta(p^*, p_1) \leq \lfloor m/2 \rfloor$ ir $\delta(p^*, p_2) \leq \lfloor m/2 \rfloor$.

Galima sakyti, kad pagrindo atrinkimu paremtas sprendinys dalijasi informacija su abiem sprendiniais (p_1 ir p_2) ir kartu išlieka gana artimas jiems abiem.

2.4. Hibridinis genetinis algoritmas PŠF uždaviniui

Pristatomas algoritmas [21] sukonstruotas genetinio algoritmo struktūros pagrindu: populiacija operuojanti evoliucinė paieška yra sujungta su lokaliu palikuonių pagerinimu siekiant padidinti paieškos efektyvumą ir kokybę.

Ši hibridinį genetinį algoritmą (HGA) sudaro šešios pagrindinės dalys: a) pradinės populiacijos konstravimas; b) tėvų atranka; c) kryžminimo operatorius; d) gautų palikuonių pagerinimas; e) populiacijos atnaujinimas; f) naujos populiacijos generavimas (jeigu to reikia). HGA pseudokodas⁵ pateikiamas 4 pav.

⁵ Čia pseudokodas (angl. *pseudocode*) – algoritmo atvaizdavimo forma, kai algoritmas pateikiamas taikant aukšto abstrakcijos lygio sintaksės formalizuotas taisykles.

procedure Hibridinis_genetinis_algoritmas

// duomenys: n, m, B
// rezultatas: s^* – galimai optimalus sprendinys
// parametrai⁶: PS – populiacijos dydis, N_{gen} – generacijų skaičius, L_{idle_gen} – tuščiosios eigos generacijų skaičius,
// DT – atstumo slenkstis

begin

nustatyti pirminius parametrus; inicijuoti algoritmo kintamuosius;
sukonstruoti pradinę populiaciją P (PS dydžio); // žiūrėti 2.4.1 skyrelį
 $p^* := \operatorname{argmin}_{p \in P} \{z(p)\}$; // išsaugomas geriausias sprendinys
for $gen_index := 1$ **to** N_{gen} **do begin**
atsitiktinai atrinkti tėvus $p', p'' \in P$;
generuoti palikuonius $p^\circ, p^{\circ\circ} \in \Pi_n$;
taikyti **Hierarchinė_iteratyvioji_tabu_paiška** palikuoniui p° , gauti pagerintą sprendinį $p^{*\star}$;
if $z(p^{*\star}) < z(p^*)$ **then** $p^* := z(p^{*\star})$; // įsimenamas geriausias sprendinys
atnaujinti populiaciją P ;
taikyti **Hierarchinė_iteratyvioji_tabu_paiška** palikuoniui $p^{\circ\circ}$, gauti pagerintą sprendinį $p^{*\star}$;
if $z(p^{*\star}) < z(p^*)$ **then** $p^* := z(p^{*\star})$; // įsimenamas geriausias sprendinys
atnaujinti populiaciją P ;
if L_{idle_gen} pasiektas **then begin**
sugeneruoti populiaciją iš naujo;
if $\min_{p \in P} \{z(p)\} < z(p^*)$ **then** $p^* := \operatorname{argmin}_{p \in P} \{z(p)\}$
endif
endifor
end.

4 pav. Hibridinio genetinio algoritmo PŠF uždaviniui pseudokodas

Algoritmas pradamas fiksuotojo dydžio (PS) pradinės populiacijos kūrimu atsižvelgiant į populiacijos narių kokybę (tinkamumą) ir jų panašumą (atstumą). Algoritmas vykdomas tam tikrą skaičių generacijų (N_{gen}). Kiekvienos generacijos metu atliekamos standartinės genetinio algoritmo procedūros (išskyrus mutaciją) – atranka, kryžminimas, populiacijos atnaujinimas. Mutacijos procedūra yra integruota į palikuonių pagerinimo algoritmą – hierarchinę iteratyviąją tabu paiešką (angl. *hierarchical iterated tabu search*) (HITP). Siekiant išvengti evoliucinio proceso stagnacijos, algoritme inkorporuota populiacijos pertvarkymo (angl. *restart*) procedūra.

Kiekviena HGA dalis išsamiau aprašoma tolesniuose skyreliuose.

2.4.1. Pradinės populiacijos konstravimas

Pradinė populiacija konstruojama taip:

1. Nustatomi parametrai $flag = 'OFF'$, $P = \emptyset$, $k = 1$, $l = 1$ (l – sugeneruoto sprendinio leksikografinis indeksas).

2. Jeigu $flag = 'OFF'$, tada generuojamas atsitiktinis perstatymas (sprendinys) p_1 ; priešingu atveju generuojamas papildymu paremtas atsitiktinis sprendinys p_l . $l = l + 1$.

⁶ HGA parametų pavadinimų santrumpos yra tokios kaip ir programos tekste.

3. Sugeneruotam sprendiniui taikoma hierarchinė iteratyvioji tabu paieška ir gaunamas naujas pagerintas sprendinys p_l^* .

4. Jeigu ($flag = 'OFF'$) ir ($k = 1$), tada: a) p_1^* sprendinys įtraukiamas į populiaciją P ; b) $flag = 'ON'$; c) grįžtama į 2 žingsnį.

5. Jeigu ($flag = 'ON'$), ($k = 1$) ir ($z(p_l^*) < z(p): p \in P$), tada: a) pirmas populiacijos narys pakeičiamas p_l^* sprendiniu; b) grįžtama į 2 žingsnį.

6. Jeigu $\left((z(p_l^*) \neq z(p): \forall p \in P) \text{ ir } \left(\min_{p \in P} \{ \delta(p_l^*, p) \} \geq DT \right) \right)$ arba $\left(z(p_l^*) < \min_{p \in P} \{ z(p) \} \right)$, tada sprendinys p_l^* įtraukiamas į populiaciją. Kitu atveju į populiaciją įtraukiamas atsitiktinis sprendinys p_l .

7. $k = k + 1$. Jeigu $k \leq PS$, tada grįžtama į 2 žingsnį. Kitu atveju pradinės populiacijos konstravimas (generavimas) stabdomas.

Kalbant apie priešingų (opozicinių) sprendinių generavimą, tinkamas būdas tai atlikti yra ilgalaikio dažnių masyvo f sukūrimas. Šiuo atveju $f(i)$ saugo elemento i pasikartojimų sprendinyje skaičių. Masyvas f kuriamas labai paprastai, pradžioje užpildomas nulinėmis reikšmėmis ir atnaujinamas kaskart, kai sugeneruojamas naujas sprendinys, t. y. $f(p_l(i)) = f(p_{l-1}(i)) + 1$; čia p_l – šiuo metu sugeneruotas sprendinys. Norint gauti papildymu paremtą sprendinį, pakanka pasirinkti m elementų, kurie pasikartoja mažiausiai. Tada $\delta(p_l, p_{l-1}) = m$ ($l = 2, 3, \dots$); p_l, p_{l-1} – nuosekliai vienas po kito sugeneruoti sprendiniai.

Kiekvienas sugeneruotas sprendinys yra gerinamas taikant HITP. Tada tikrinama, ar atstumas tarp pagerinto sprendinio p_l^* ir populiacijos P $\delta(p_l^*, P) = \min_{p \in P} \{ \delta(p_l^*, p) \}$ yra didesnis už iš anksto nustatytą slenkstį DT arba yra jam lygus. Jeigu ši sąlyga tenkinama, pagerintas sprendinys įtraukiamas į populiaciją. Taip pat yra ir su sprendiniu, kuris geresnis už geriausią turimą sprendinį. Kitu atveju populiaciją papildoma atsitiktinai sugeneruoti sprendiniai. Toks pradinės populiacijos generavimo metodas padeda išlaikyti ir sprendinių kokybę, ir jų įvairovę.

2.4.2. Tėvų atranka

Kiekvienos generacijos metu iš populiacijos P parenkami du perstatymai (sprendiniai) p' ir p'' . Toliau vykdant algoritmą šie perstatymai naudojami kaip tėvai naujiems palikuoniams generuoti.

2.4.3. Kryžminimas

Kryžminimo (rekombinavimo) tikslas yra iš atrinktų tėvų poros sukurti naują palikuonį. Pagrindinis taikomo kryžminimo principas yra sprendinio pagrindo suformavimas ir priešingo (opozicinio) sprendinio radimas [15, 21]. Tai leidžia išsaugoti bendrus elementus (genus), kuriuos turi abu atrinkti tėvai, ir sprendinį papildyti naujais genais. Sprendinio pagrindas yra iš dalies optimizuotas siekiant geros palikuonių kokybės. Tam pasitelkta godžioji adaptyvioji procedūra (angl. *greedy adaptive procedure*) (GAP). Sugeneruojami du palikuonių sprendiniai: optimizuotas palikuonis ir jo papildinys (priešingo sprendinio palikuonis).

Laikinojo masyvo (angl. *short-term array*) f_{ST}^{cross} , saugančio genų pasikartojimo dažnumą, reikšmės apskaičiuojamos pagal formulę:

$$f_{ST}^{cross}(i) = |\{i: i \in \{p'(k): k = 1, \dots, m\}, i \in \{p''(k): k = 1, \dots, m\}\}|; \quad (19)$$

čia $i = 1, \dots, n$, p' , p'' – atitinkami tėvų sprendiniai.

Genai (m skaičius), kurie dažniausiai pasikartoja, atrenkami sprendinio pagrindui p^* formuoti. Tada daliai ($m/2$) genų, pasižyminčių didžiausiu pasikartojimo dažnumu, taikoma GAP, kuri kaip pradinis duomenis gauna dalinį sprendinį p^* (elementus $p^*(1), \dots, p^*(m/2)$). GAP renkasi po vieną elementą ir prideda jį prie esamo dalinio sprendinio. Kiekvienos iteracijos q metu ($q = 1, \dots, m/2$) GAP prideda elementą iš dar nepasirinktų elementų $\{j: j = 1, \dots, n\} \setminus \{p(i): i = 1, \dots, m/2 + q - 1\}$, pasižyminčių mažiausia atstumų suma (žr. (13) formulę), t. y. $j = \operatorname{argmin}_{j \in \{j: j = 1, \dots, n\} \setminus \{p(i): i = 1, \dots, m/2 + q - 1\}} \{c(p(j))\}$. Tęsiama tol, kol suformuojamas sprendinys. Tikslio funkcijos reikšmė z gali būti gaunama iš c reikšmių pagal formulę:

$$z = 2 \sum_{j=1}^m c(p(j)). \quad (20)$$

Šios kryžminimo procedūros (vadinamos pagrindo atrinkimu ir priešingumu pagrįstu (opoziciniu) kryžminimu (angl. *backbone and opposition-based crossover*)) pseudokodas pateikiamas 5 pav.

procedure *Pagrindo atrinkimu ir priešingumu pagrįstas kryžminimas*

```
// duomenys:  $n, m$ 
//  $p', p''$  – tėvai
// rezultatas:  $p^\circ$  – iš dalies pagerintas sprendinys,  $p^{\circ\circ}$  – priešingas (opozicinis) sprendinys
```

begin

```
// / sprendinio pagrindo konstravimas atsižvelgiant į sprendinius (tėvus)
 $p', p''$ ;
apskaičiuoti laikinojo masyvo reikšmes (dažnumus)  $f_{ST}^{cross}(i)$ , //žr. (20) formulę
parinkti  $m$  genų su didžiausiu dažnumu,
iš jų suformuoti sprendinio pagrindą  $p^*$ ;
// dalinis sprendinio pagrindo optimizavimas
ignoruoti  $m/2$  genų iš sprendinio  $p^*$ 
taikyti Godžioji adaptyvioji procedūra daliniam sprendiniui  $p^*$ ,
gauti dalinį optimizuotą palikuonio sprendinį  $p^\circ$ ;
// priešingo (opozicinio) sprendinio konstravimas
generuoti priešingą palikuonio sprendinį  $p^{\circ\circ}$  atsižvelgiant į  $p^\circ$ , t. y.  $p^{\circ\circ} = \overline{p^\circ}$ 
end.
```

5 pav. Kryžminimo procedūros PŠF uždaviniui pseudokodas

```

procedure Godžioji_adaptyvioji_procedūra
// duomenys:  $n, m, B,$ 
//  $p$  – dalinis sprendinys, kur elementai  $p(m/2 + 1), \dots, p(m)$  yra ignoruojami
// rezultatas:  $p$  – suformuotas sprendinys


---


begin
  for  $i := 1$  to  $n$  do begin  $c(i) := 0$ ;  $Selected(i) := FALSE$  endfor;
  for  $i := 1$  to  $n$  do for  $j := 1$  to  $m/2 - 1$  do  $c(i) := c(i) + B(i, p(j))$ ;
  for  $i := 1$  to  $m/2$  do  $Selected(p(i)) := TRUE$ ; //  $Selected$  parametro
inicializavimas
   $i := m/2$ ;  $k := p(m/2)$ ;
  for  $q := 1$  to  $m/2$  do begin // ciklas kartojamas tol, kol suformuojamas
sprendinys
   $minimum\_contribution := \infty$ ;
  for  $j := 1$  to  $n$  do
    if  $Selected(j) = FALSE$  then begin
       $c(j) := c(j) + B(j, k)$ ; if  $c(j) < minimum\_contribution$  then begin
         $minimum\_contribution := c(j)$ ;  $j_{min} := j$  endif
      endif;
     $i := i + 1$ ;  $p(i) := j_{min}$ ; // elementas su minimalia parametro  $minimum\_contribution$ 
reikšme įtraukiamas į sprendinį
     $Selected(p(i)) := TRUE$ ;  $k := j_{min}$ 
  endfor;
   $i := m + 1$ ; for  $j := 1$  to  $n$  do // priskiriamos reikšmės elementams  $p(m + 1),$ 
...,  $p(n)$ 
    if  $Selected(j) = FALSE$  then begin  $p(i) := j$ ;  $i := i + 1$  endif
  end.

```

6 pav. Godžiosios adaptyviosios procedūros pseudokodas

GAP veikimo principas nėra naujas. Savo prigimtimi jis panašus į godžiosios randomizuotos adaptyviosios paieškos procedūrą (angl. *greedy randomized adaptive search procedure*) [83]. GAP vadinama adaptyviaja todėl, kad ji renka esamą elementą, atsižvelgdama į jau pasirinktus elementus, taip pat pasirinktų elementų rinkinys atnaujinamas kiekvienos iteracijos metu. GAP vadinama godžiaja todėl, kad visada pasirenkami elementai, turintys minimalią įmanomą atstumų reikšmę c . GAP neturi atsitiktinumų.

Priešingam sprendiniui generuoti naudojamas ilgalaikis dažnių masyvas (angl. *long-term array*) f_{LT}^{cross} . Masyvas f_{LT}^{cross} inicijuojamas prieš pradėdant vykdyti genetinį algoritmą. Šio masyvo reikšmės atnaujinamos kiekvieną kartą, kai konstruojamas naujas optimizuotas pagrindo sprendinys, t. y. $f_{LT}^{cross}(p^\circ(i)) = f_{LT}^{cross}(p^\circ(i)) + 1$; p° – optimizuotas sprendinio pagrindas.

2.4.4. Hierarchinės iteratyviosios tabu paieškos algoritmas

Pristatomas algoritmas paremtas hierarchinės iteratyviosios paieškos algoritmo paradigma [84]. Algoritmo idėja yra ta, kad lokaliaja paieška paremtus algoritmus galima toliau tobulinti protingai konstruojant vidinę algoritmo struktūrą (architektūrą) ir kuriant hierarchiniu būdu struktūrizuotus (hierarchinius) algoritmus (HA). Pagrindinis hierarchinių algoritmų principas yra daugkartinis (pakartotinis) žinomų algoritmų (pvz., lokaliąją paiešką, tabu paiešką) taikymas. Iteratyvioji tabu paieška gaunama taikant tabu paiešką ir tam tikrą sprendinių pertvarkymą. Toliau ITP

algoritmas kombinuojamas pats su savimi (su ITP algoritmu). Taip gaunamas ITP-ITP algoritmas. Šis principas gali būti kartojamas norimą skaičių kartų. Kiekvienas toks kartojimas turi tris į save panašias (angl. *self-similar*) dalis: 1) ITP procedūra; 2) kandidato pasirinkimas; 3) sprendinio kandidato pertvarkymas.

A. Tabu paieška

Tabu paieška atlieka pagrindinį vaidmenį ITP algoritme. Šiai procedūrai taikoma vieno elemento keitimo su vienu aplinkos elementu funkcija θ_1 . TP pradedama nuo esamo sprendinio, sukeičiamas vienas elementas iš $M = \{p(i): i = 1, \dots, m\}$ rinkinio su kitu elementu iš $N = \{p(i): i = m + 1, \dots, n\}$ rinkinio taip, kad tikslo funkcijos reikšmė būtų minimizuojama, atsižvelgiant į tabu sąlygą ir aspiracijos kriterijų.

Siekiant sumažinti skaičiavimų laiką, naudojama modifikuota nagrinėjamų sprendinių aplinka θ_1^* , kurią būtų galima apibrėžti taip⁷:

$$\theta_1^*(p) = \{p': p' \in \{p(i): i = 1, \dots, m\} \setminus \{p(v)\} \cup \{p(w)\}, p(v) \in M', p(w) \in N'\}; \quad (21)$$

čia $v = 1, \dots, |M'|$, $w = m + 1, \dots, m + |M'|$. Rinkiniai M' , N' apibrėžiami taip:

$$M' = \{p(i): c(p(i)) \geq SL_1, i = 1, \dots, m\}, \quad (22)$$

$$N' = \{p(i): c(p(i)) \leq SL_2, i = m + 1, \dots, n\}; \quad (23)$$

čia $SL_1 = \max\{c(p(i)): i = 1, \dots, m\} - \rho BMax$, $SL_2 = \min\{c(p(i)): i = m + 1, \dots, n\} + \rho BMax$, $BMax = \max\{b_{kl}: k = 1, \dots, n, l = 1, \dots, n\}$, ρ ($\rho > 0$) – aplinkos apimties parametras.

Naudojamas tabu (draudimų) sąrašas (*TabuList*) – matrica, kurioje įrašas $TabuList(p(v), p(w))$ saugo esamos iteracijos numerį ir uždraudimų valdymo (*Tabu Tenure*) parametro reikšmę (parametro reikšmė $h = [0, 3m]$), t. y. iteracijų numerį, nuo kurio atitinkami elementai ($p(v), p(w)$) vėl gali būti kaitaliojami. Sukeisti elementus $p(v)$ ir $p(w)$ draudžiama, jeigu $TabuList(p(v), p(w))$ reikšmė yra lygi esamam iteracijų skaičiui arba už jį didesnė. Draudimai ignoruojami, jeigu tenkinamas aspiracijos kriterijus, t. y. kaip sukeitimo rezultatas gautas sprendinys, kurio tikslo funkcijos reikšmė yra geresnė už geriausią surastą tikslo funkcijos reikšmę. Be to, atsižvelgiama į draudimų statusą su maža tikimybe a ($a = 0,02$), netgi jeigu aspiracijos kriterijus netaikomas. Tai šiek tiek padidina galimų ėjimų skaičių ir padeda išvengti paieškos stagnacijos.

Be tabu sąrašo, taip pat yra saugomi surasti, bet nepasirinkti geri sprendiniai [85]. Taip siekiama diversifikuoti paieškos procesą ir ištyrinėti daugiau paieškos erdvės sričių. Tam sukuriamas ir naudojamas archyvas (*Archive*), kuriame yra kaupiami vadinamieji antrieji sprendiniai. Kiekvienoje iteracijoje geriausias sprendinys tampa esamuoju sprendiniu, o geriausias antrasis sprendinys p^{\sim} yra išsaugomas archyve (*Archive*). Kai L_{idle_iter} skaičių iteracijų geriausias sprendinys nėra pagerinamas, TP pradedama vykdyti nuo vieno iš *Archive* sprendinio. Parametro

⁷ Išsamiau pateikiama straipsnyje [16].

L_{idle_iter} reikšmė yra lygi $[0, 2\tau]$; τ – TP iteracijų skaičius. TP baigus darbą, *Archive* išvalomas. TP pseudokodas pateikiamas 7 pav.

```

procedure Tabu_paiėška // tabu paieėkos algoritmas
//įvestis:  $n, m, B, p$  – pradinis sprendinys
//rezultatas:  $p^*$  – rastas geriausias sprendinys
//parametrai:  $\tau$  – TP iteracijų skaičius,  $h$  – draudimų valdymas,  $\alpha$  – randomizavimo koeficientas,
//           $\rho$  – aplinkos dydžio reguliavimo parametras,  $L_{idle\_iter}$  – tuėčiosios eigos iteracijų limitas
begin
  clear tabu list TabuList;
   $p^* := p$ ;  $k := 1$ ;  $k' := 1$ ; archive_counter := 0; improved := FALSE;
  while ( $k \leq \tau$ ) or (improved = TRUE) then begin //pagrindinis ciklas
     $M, N$ ;  $m' := |M|$ ;  $n' := m + |N|$ ;  $\Delta'_{min} := \infty$ ;  $\Delta''_{min} := \infty$ ;  $v' := 1$ ;  $w' := m + 1$ 
    for  $i := 1$  to  $m'$  do
      for  $j := m + 1$  to  $n'$  do begin //  $m'(n' - m)$  tikrinami sprendinio  $p$  kaimynai
         $\Delta := 2(c(p(j)) - c(p(i)) - B(p(i), p(j)))$ ;
        forbidden := iff((TabuList( $p(i), p(j)$ )  $\geq k$ ) and (random()  $\geq \alpha$ ), TRUE, FALSE);
        aspired := iff( $z(p) + \Delta < z(p^*)$ , TRUE, FALSE);
        if ( $\Delta < \Delta'_{min}$ ) and (forbidden = FALSE) or (aspired = TRUE) then begin
          if  $\Delta < \Delta'_{min}$  then begin  $\Delta'_{min} := \Delta$ ;  $v' := v'$ ;  $w' := w'$ ;
             $\Delta'_{min} := \Delta$ ;  $v' := i$ ;  $w' := j$  endif
          else if  $\Delta < \Delta''_{min}$  then begin  $\Delta''_{min} := \Delta$ ;  $v'' := i$ ;  $w'' := j$  endif
        endif
      endfor;
    if  $\Delta'_{min} < \infty$  then begin // išsaugomas antrasis geriausias sprendinys,  $c, v'', w''$ 
      archive_counter := archive_counter + 1; Archive(archive_counter)  $\leftarrow p, c, v'', w''$ 
    endif;
    if  $\Delta'_{min} < \infty$  then begin // esamo sprendinio pakeitimas ir  $c$  perskaiėiavimas
       $p := p^{v', w'}$ ; for  $i := 1$  to  $n$  do  $c(i) := c(i) + B(i, p(v')) - B(i, p(w'))$ ;
      if  $z(p) < z(p^*)$  then begin  $p^* := p$ ;  $k' := k$  endif;
      TabuList( $p(v'), p(w')$ ) :=  $k + h$ ; TabuList( $p(w'), p(v')$ ) :=  $k + h$  //  $p(v'), p(w')$  tampa tabu
    endif;
    improved := iff( $\Delta'_{min} < 0$ , TRUE, FALSE);
    if (improved = FALSE) and ( $k - k' > L_{idle\_iter}$ ) and ( $k < \tau - L_{idle\_iter}$ ) then begin
      random_access_index := random(archive_counter * 0.8, archive_counter);
       $p, c, v'', w'' \leftarrow \text{Archive}(\text{random\_access\_index})$ ;
       $p := p^{v'', w''}$ ; for  $i := 1$  to  $n$  do  $c(i) := c(i) + B(i, p(v'')) - B(i, p(w''))$ ;
      clear tabu list TabuList;
      TabuList( $p(v''), p(w'')$ ) :=  $k + h$ ; TabuList( $p(w''), p(v'')$ ) :=  $k + h$ ; //  $p(v''), p(w'')$  – tabu
       $k' := k$ 
    endif;  $k := k + 1$ 
  endwhile
end.

```

7 pav. Tabu paieėkos pseudokodas⁸

⁸ Pastabos. Tiesioginė **iff** funkcija (angl. *immediate if function*) **iff**(x, y_1, y_2) grąžina y_1 , jeigu $x = \text{TRUE}$, kitu atveju grąžina y_2 reikėmę. Funkcija **random**() grąžina pseudoatsitiktinį skaiėių iš intervalo $[0, 1]$. Funkcija **random**(x_1, x_2) grąžina skaiėių ribose $[x_1, x_2]$.

B. Iteratyvioji tabu paieška

Iteratyviosios tabu paieškos algoritmas apima prieš tai aprašytą savarankišką TP algoritmą, kombinuotą kartu su tam tikrais pertvarkymais (angl. *perturbations*). TP transformuoja esamą sprendinį į optimizuotą (pagerintą) sprendinį. Tada pertvarkymo procedūra yra taikoma pasirinktam optimizuotam sprendiniui. Kandidatas pasirenkamas pagal kandidatų atrankos taisyklę (žr. toliau). Pertvarkytas sprendinys gražinamas kaip naujas esamasis sprendinys TP algoritmui, o šis vykdomas iš karto po pertvarkymo procedūros. TP gražina optimizuotą sprendinį, jam taikoma pertvarkymo procedūra ir t. t. ITP algoritmo rezultatas yra geriausias rastas sprendinys. Procesas tęsiamas, kol pasiekiamas nustatytas iteracijų skaičius (8 pav.).

```
procedure Iteratyvioji_tabu_paiška;  
// duomenys:  $p$  – esamas sprendinys  
// rezultatas:  $p^{\nabla}$  – geriausias rastas sprendinys  
// parametrai:  $Q$  – iteracijų skaičius  
  
begin  
   $p^{\nabla} := p$ ;  
  for  $q := 1$  to  $Q$  do begin  
    taikyti Tabu_paiška sprendiniui  $p$  ir gauti  $p^*$ ;  
    if  $z(p^*) < z(p^{\nabla})$   $p^{\nabla} := p^*$ ; //įsimenamas geriausias sprendinys  
    if  $q < Q$  then begin  
       $p :=$  Kandidatų_atrinkimas( $p^*$ ,  $p^{\nabla}$ );  
      taikyti Pertvarkymas sprendiniui  $p$   
    endif  
  endfor  
end.
```

8 pav. Iteratyviosios tabu paieškos pseudokodas

C. Hierarchinė iteratyvioji tabu paieška

1-ojo lygio hierarchinis iteratyviosios tabu paieškos (1-HITP) algoritmas gali būti gaunamas iš ITP algoritmo. Algoritmo struktūra išlieka beveik nepakitusi, išskyrus tai, kad vietoj TP algoritmo taikomas ITP algoritmas (9 pav.).

```
procedure 1-Hierarchinė_iteratyvioji_tabu_paiška ; //1-ojo lygio HITP  
// duomenys:  $p$  – pradinis sprendinys  
// rezultatas:  $p^{(1)}$  – geriausias rastas sprendinys; parametrai:  $Q_1$  – iteracijų skaičius  
  
begin  
   $p^{(1)} := p$ ;  
  for  $q_1 := 1$  to  $Q_1$  do begin  
    taikyti Iteratyvioji_tabu_paiška sprendiniui  $p$  ir gauti  $p^{\nabla}$ ;  
    if  $z(p^{\nabla}) < z(p^{(1)})$   $p^{(1)} := p^{\nabla}$ ; //įsimenamas geriausias sprendinys  
    if  $q_1 < Q_1$  then begin  
       $p :=$  Kandidatų_atrinkimas( $p^{\nabla}$ ,  $p^{(1)}$ ); taikyti Pertvarkymas sprendiniui  $p$   
    endif  
  endfor  
end.
```

9 pav. Pirmojo lygio hierarchinės iteratyviosios tabu paieškos pseudokodas

```

procedure Hierarchinė_iteratyvioji_tabu_paiėška ; //7 (aukščiausio) lygio HITP
// duomenys:  $n, m, B,$ 
//  $p$  – pradinis sprendinys
// rezultatas:  $p^*$  – geriausias rastas sprendinys
// parametrai:  $Q, Q_1, \dots, Q_7$  – iteracijų skaičius

begin
  for  $i := 1$  to  $n$  do begin  $c(i) := 0;$ 
  for  $i := 1$  to  $n$  do for  $j := 1$  to  $m$  do  $c(i) := c(i) + B(i, p(j));$ 
   $p^{(7)} := p;$ 
  for  $q_7 := 1$  to  $Q_7$  do begin
    . . .
     $p^{(1)} := p;$ 
    for  $q_1 := 1$  to  $Q_1$  do begin
       $p^\nabla := p;$ 
      for  $q := 1$  to  $Q$  do begin
        taikyti Tabu_paiėška sprendiniui  $p$  ir gauti  $p^*$ ;
        if  $z(p^*) < z(p^\nabla)$  then  $p^\nabla := p^*$ ; //įsimenamas geriausias sprendinys
        if  $q < Q$  then begin
           $p :=$  Kandidatų_atrinkimas ( $p^*, p^\nabla$ ); taikyti Pertvarkymas spr.  $p$ 
        endif
      endfor; Iteratyvioji_tabu_paiėška
      if  $z(p^\nabla) < z(p^{(1)})$  then  $p^{(1)} := p^\nabla$ ; //įsimenamas geriausias sprendinys
      if  $q_1 < Q_1$  then begin
         $p :=$  Kandidatų_atrinkimas ( $p^\nabla, p^{(1)}$ ); taikyti Pertvarkymas spr.  $p$ 
      endif
    endfor; 1-Hierarchinė_iteratyvioji_tabu_paiėška
    . . .
    if  $z(p^{(6)}) < z(p^{(7)})$  then  $p^{(7)} := p^{(6)}$ ; //įsimenamas geriausias sprendinys
    if  $q_7 < Q_7$  then begin
       $p :=$  Kandidatų_atrinkimas ( $p^{(6)}, p^{(7)}$ ); taikyti Pertvarkymas spr.  $p$ 
    endif
  endfor;
   $p^* := p^{(7)}$ 
end. 7-Hierarchinė_iteratyvioji_tabu_paiėška

```

10 pav. Septintojo lygio hierarchinės iteratyviosios tabu paieškos pseudokodas

Kiti lygiai generuojami taip: 2-HITP algoritmas yra toks pats kaip ir 1-HITP, tik vietoj ITP procedūros įkomponuojama 1-HITP procedūra. Kitaip tariant, algoritmai kombinuojami su panašiais į save algoritmais. Taip konstruojamas norimas skaičius lygių. Pristatomame algoritme yra 7 lygiai (10 pav.).

Kandidatų atrankos funkcija (angl. *candidate acceptance*) gali būti realizuota skirtingais būdais. Šiuo atveju taikyta taisyklė, kad visada pasirenkamas paskutinis gautas optimizuotas sprendinys.

Pertvarkymo procedūra (angl. *perturbation*) susideda iš: a) atsitiktinės mutacijos (sumaišymo) ir b) po mutacijos gauto sprendinio pertvarkymo taikant greitąją godžiają adaptyviają procedūrą (11 pav.).

procedure Pertvarkymas;

// duomenys: p – pradinis sprendinys
// rezultatas: p^- – pertvarkytas sprendinys
// parametrai: μ – mutacijos lygis

begin

 taikyti **Mutacija** sprendiniui p naudojant mutacijos lygį μ , gauti p^- ;
 taikyti **Godžioji_adaptyvioji_procedūra** sprendiniui p^- ,
 gauti pertvarkytą sprendinį p
 // sprendinys p gerinamas taikant TS

end.

11 pav. Sprendinio pertvarkymo procedūros pseudokodas

Pirma, atrinktam kandidatui taikoma atsitiktinės mutacijos procedūra, kai μ skaičius elementų sprendinyje yra ignoruojamas (parametras μ vadinamas mutacijos lygiu (angl. *mutation rate*). Ignoruojami μ elementai pasirenkami atsitiktinai (12 pav.). Algoritme parametro μ reikšmė yra gana nedidelė ($\mu = [0,15m]$), taigi tik nedidelė elementų dalis mutuoja.

procedure Mutacija; //atsitiktinės mutacijos procedūra

//duomenys: m ,
// p – pradinis sprendinys
//rezultatas: p^- – gautas dalinis sprendinys

begin

for $i := 1$ **to** $m - 1$ **do begin** //sumaišomi (sukeičiami vietomis) elementai $p(1), \dots, p(m)$
 atsitiktinai generuoti sveiką skaičių j , $i \leq j \leq m$;
 $p := p^{i,j}$ //elementai $p(i)$ ir $p(j)$ sukeičiami
 endfor;
 //po sumaišymo elementai $p(m - \mu + 1), \dots, p(m)$ ignoruojami
 $p^- := p$

end.

12 pav. Mutacijos procedūros pseudokodas

Antra, sprendinys, gautas pritaikius mutaciją, rekonstruojamas taikant greitąją godžiąją adaptyviąją procedūrą (angl. *fast greedy adaptive procedure*) (GGAP), kuri yra identiška taikytai per kryžminimo operaciją, išskyrus tai, kad yra pritaikytas efektyvesnis c reikšmių skaičiavimo metodas (13 pav.). Taikant šiuos metodus, GGAP ir HITP algoritmų vykdymas yra labai greitas tol, kol μ reikšmė nėra didelė.

```

procedure Greitoji_godžioji_adaptyvioji_procedūra; //GGAP
// duomenys:  $n, m, B$ ,
//  $p$  – dalinis sprendinys, kur elementai  $p(m - \mu + 1), \dots, p(m)$  yra ignoruojami
// rezultatas:  $p$  – suformuotas sprendinys
// parametrai:  $\mu$  – mutacijos lygis


---


begin
  for  $i := 1$  to  $n$  do for  $j := m - \mu + 1$  to  $m$  do  $c(i) := c(i) - B(i, p(j))$ ;
//greitas sumų ( $c$ ) perskaičiavimas
  for  $i := 1$  to  $n$  do  $Selected(i) := FALSE$ ; for  $i := 1$  to  $m - \mu$  do  $Selected(p(i)) := TRUE$ ;
//Masyvo  $Selected$  inicializavimas
   $i := m - \mu$ ;  $k := p(m - \mu)$ ;
  for  $q := 1$  to  $\mu$  do begin //ciklas kartojamas tol, kol sprendinys bus suformuotas
     $minimum\_contribution := \infty$ ;
    for  $j := 1$  to  $n$  do
      if  $Selected(j) = FALSE$  then begin
         $c(j) := c(j) + B(j, k)$ ;
        if  $c(j) < minimum\_contribution$  then begin
           $minimum\_contribution := c(j)$ ;  $j_{min} := j$ 
        endif;
      endif;
     $i := i + 1$ ;  $p(i) := j_{min}$ ; //elementas su minimalia  $minimum\_contribution$  reikšme įtraukiamas
     $Selected(p(i)) := TRUE$ ;  $k := j_{min}$ 
  endfor;
   $i := m + 1$ ;
  for  $j := 1$  to  $n$  do if  $Selected(j) = FALSE$  then begin  $p(i) := j$ ;  $i := i + 1$ 
endif
end.

```

13 pav. GGAP procedūros pseudokodas

2.4.5. Populiacijos atnaujinimas

Įvykdžius HTP, gaunamas pagerintas palikuonis ir tikrinama, ar naujasis sprendinys (p^*) skiriasi nuo kitų populiacijos sprendinių. Jeigu skiriasi, tikrinama, ar naujasis sprendinys yra geresnis už geriausią sprendinį populiacijoje arba ar atstumas tarp naujojo sprendinio ir populiacijos ($\delta(p^*, P) = \min_{p \in P} \{\delta(p^*, p)\}$) yra didesnis už nustatytą atstumų slenkstį DT (angl. *distance threshold*) arba yra jam lygus. Jeigu taip, tada naujasis sprendinys įtraukiamas į populiaciją vietoj blogiausio sprendinio ($P = P \cup \{p^*\} \setminus \{p_{worst}\}$, kur $p_{worst} = \operatorname{argmin}_{p \in P} \{z(p)\}$). Priešingu atveju populiacija išlieka nepakeista ir vykdoma kita generacija. Ši taisyklė leidžia išlaikyti sprendinių kokybę ir pakankamą populiacijos narių įvairovę.

2.4.6. Populiacijos pertvarkymas

Jeigu sprendiniai nėra pagerinami L_{idle_gen} skaičių generacijų (L_{idle_gen} – tuščiosios eigos generacijų skaičius, nustatytas į $[0, 15N_{gen}]$, N_{gen} – generacijų skaičius), tada atliekama populiacijos pertvarkymo (angl. *restart*) procedūra, kurios metu populiacija generuojama iš naujo (žr. 2.4.1 skyrelį).

2.5. Hibridinio genetinio algoritmo komponentai

HGA tyrimas buvo paremtas HGA atskirų savybių, t. y. komponentų, analize (algoritmo komponentine analize). Eksperimentuose tirta išskirtų esminių komponentų svarba ir įtaka bendrajam HGA efektyvumui (našumui). Eksperimentai atlikti su 7 komponentais ir jų modifikacijomis [86].

Kiekvienai visų tirtų komponentų modifikacijai žymėti toliau darbe vartojamos santrumpos iš dviejų ar trijų raidžių ir skaičiaus. Raidės nurodo komponento pavadinimą, o skaičius – to komponento modifikacijos numerį (pvz., **PP-1** žymi komponento „PRADINĖ POPULIACIJA“ pirmąją modifikaciją).

2.5.1. Bazinis hibridinio genetinio algoritmo variantas

Bazinis HGA (**HGA-BV**) variantas buvo sudarytas atsižvelgiant į preliminarinius eksperimentų rezultatus rengiant publikaciją (83). HGA sudarytas iš komponentų: **PP-3**, **LP-5**, **STA-3**, **KP-10**, **KS-2**, **PA-5**, **PR-7** (komponentai išsamiai aprašomi 2.5.2–2.5.8 skyreliuose). Bazinio HGA parametrų reikšmės pateiktos 1 lentelėje.

1 lentelė. **HGA-BV** naudotų parametrų reikšmės

Parametras	Reikšmė	Aprašymas
Populiacijos dydis, PS	20	
Generacijų skaičius, N_{gen}	100	
Tuščiosios eigos generacijų limitas, L_{idle_gen}	$[0,03N_{gen}]$	$0 < L_{idle_gen} \leq N_{gen}$
Atstumų slenkstis, DT	$[0,15m]$	$0 \leq DT \leq m$
HITP iteracijų skaičius, Q_{HIER}	256	$Q_{HIER} = Q \times Q_1 \times Q_2 \times Q_3 \times Q_4 \times Q_5 \times Q_6 \times Q_7^\dagger$
Pradinis HITP iteracijų skaičius ^{††} , Q_{IHIER}	4096	$Q_{IHIER} = Q \times Q_1 \times Q_2 \times Q_3 \times Q_8 \times Q_9 \times Q_{10} \times Q_{11}^{\dagger\dagger\dagger}$
Pakartotinio paleidimo HITP iteracijų skaičius ^{†††} , Q_{RHIER}		$Q_{RHIER} = Q \times Q_1 \times Q_2 \times Q_3 \times Q_{12} \times Q_{13} \times Q_{14} \times Q_{15}^{\dagger\dagger\dagger\dagger}$
TP iteracijų skaičius, τ	50	
Uždraudimai, h	$[0,3m]$	$h > 0$
Tuščiosios eigos iteracijų limitas, L_{idle_iter}	$[0,2\tau]$	$0 < L_{idle_iter} \leq \tau$
Aplinkos dydžio parametras, ρ	0,4	$\rho > 0$
Atsitiktinumų koeficientas, α	0,02	$0 < \alpha < 1$
Mutacijos lygis, μ	$[0,15m]$	$0 < \mu < m$

[†] $Q = Q_1 = Q_2 = Q_3 = Q_4 = Q_5 = Q_6 = Q_7 = 2$;

^{††} tabu paieškos iteracijų skaičius, naudojamas gerinant pradinę populiaciją;

^{†††} $Q_8 = Q_9 = Q_{10} = Q_{11} = 4$ ($Q_{IHIER} = 16Q_{HIER}$);

^{††††} tabu paieškos iteracijų skaičius, naudojamas populiacijos pakartotinio paleidimo procedūroje;

^{†††††} $Q_{12} = Q_{13} = Q_{14} = Q_{15} = 3$.

2.5.2. Komponentas „PRADINĖ POPULIACIJA“

Tirtos trys komponento „PRADINĖ POPULIACIJA“ (angl. „INITIAL POPULATION“) modifikacijos.

A. Atsitiktinė populiacija (PP-1)

Populiacija generuojama atsitiktinai ir negerinama, t. y., sukonstravus pradinę populiaciją (PS dydžio), HTP netaikoma ($N_{gen} = 200$). Kitos parametrų reikšmės yra tokios pačios, kaip bazinėje algoritmo versijoje.

B. Padidinta ir pagerinta populiacija (PP-2)

HGA pradeda dirbti su pradine populiacija, kurios dydis yra $INIT_PS = 2PS$. PS – populiacijos dydis, kuris bus naudojamas toliau genetiniame algoritme. Sukonstruota padidinta populiacija pagerinama taikant HTP. Į galutinę populiaciją įtraukiami geresnieji individai iš padidintos populiacijos. Taip sukonstruojama geros kokybės pradinė populiacija. Kitos parametrų reikšmės yra tokios pačios, kaip bazinėje algoritmo versijoje (1 lent.).

C. Pagerinta populiacija (PP-3)

HGA pradeda dirbti su pradine populiacija, kurios dydis yra PS . Pradinė populiacija pagerinama taikant HTP. Kitos parametrų reikšmės yra tokios pačios, kaip bazinėje algoritmo versijoje.

2.5.3. Komponentas „LOKALUSIS PAGERINIMAS“

Bendrajai prasme genetinė lokalioji paieška yra paremta intensifikavimu ir diversifikavimu. Tinkamai parinkta intensifikavimo strategija gali turėti didelę įtaką hibridinio genetinio algoritmo rezultatų efektyvumui [87]. Siekiant nustatyti tinkamiausią strategiją (kombinaciją), buvo atlikti eksperimentai su keturiomis komponento „LOKALUSIS PAGERINIMAS“ (angl. „LOCAL IMPROVEMENT“) modifikacijomis. Šiuo atveju tabu paieškos iteracijų skaičius, hierarchinės iteratyviosios tabu paieškos iteracijų skaičius, generacijų skaičius eksperimentų metu buvo didinami (mažinami).

A. Tabu paieškos iteracijų skaičiaus mažinimas (LP-1)

Panaudotas sumažintas tabu paieškos iteracijų skaičius $\tau = 25$ ir padidintas generacijų skaičius $N_{gen} = 200$. Kitos parametrų reikšmės yra tokios pačios, kaip bazinėje algoritmo versijoje.

B. Tabu paieškos iteracijų skaičiaus didinimas (LP-2)

Panaudotas padidintas tabu paieškos iteracijų skaičius $\tau = 100$ ir sumažintas generacijų skaičius $N_{gen} = 50$. Kitos parametrų reikšmės yra nepakitusios.

C. Hierarchinės iteratyviosios tabu paieškos iteracijų skaičiaus mažinimas (LP-3)

Panaudotas sumažintas hierarchinės iteratyviosios tabu paieškos iteracijų skaičius $Q_{HIER} = 1 \times 2 \times 2 \times 2 \times 2 \times 2 \times 2 \times 2 = 128$ ir padidintas generacijų skaičius $N_{gen} = 200$. Kitos parametrų reikšmės yra nepakitusios.

D. Hierarchinės iteratyviosios tabu paieškos iteracijų skaičiaus didinimas (LP-4)

Panaudotas padidintas hierarchinės iteratyviosios tabu paieškos iteracijų skaičius $Q_{HIER} = 2 \times 2 \times 2 \times 2 \times 2 \times 2 \times 2 \times 4 = 512$ ir sumažintas generacijų skaičius $N_{gen} = 50$. Kitos parametrų reikšmės yra nepakitusios.

E. Nepakeistas tabu paieškos iteracijų skaičius (LP-5)

Visų parametrų reikšmės yra tokios pačios, kaip bazinėje algoritmo versijoje.

2.5.4. Komponentas „SPRENDINIŲ-TĖVŲ ATRANKA“

Atliekant eksperimentus su komponento (savybės) „SPRENDINIŲ-TĖVŲ ATRANKA“ (angl. „SELECTION“) modifikacijomis, buvo taikomos trys skirtingos atrankos procedūros.

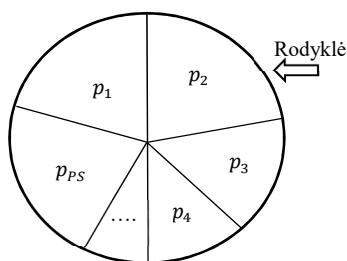
A. Ruletės ratą modeliuojanti atrankos procedūra (STA-1)

Ruletės ratą modeliuojančią atrankos procedūrą (proporcinga tikslo funkcijai (tinkamumui) atranka) (angl. *roulette wheel selection* arba *fitness proportionate selection*) glaustai galima aprašyti taip: visos populiacijos individai suskirstomi į tam tikrus sektorius (sritis) pagal tikslo funkcijos santykį su visų individų tikslo funkcijų suma (žr. (24) formulę); kiekvienas sektorius yra vienas individas; ruletės ratas „sukamas“ PS kartų (PS – populiacijos dydis), pasirenkamas tas individas, kurio sektoriuje rodyklė sustojo (14 pav.) [88–90].

Jeigu populiacijos dydis yra PS , $P = \{p_1, p_2, \dots, p_{PS}\}$, o individo p_i tikslo funkcijos reikšmė yra $f(p_i)$, tai tikimybė individui p_i būti pasirinktam apskaičiuojama pagal formulę:

$$t(p_i) = \frac{f(p_i)}{\sum_{j=1}^{PS} f(p_j)}; \quad (24)$$

čia $i = 1, 2, \dots, PS$.



14 pav. Ruletės ratą modeliuojanti atranka

B. Sprendinių rangų pagrįsta atrankos procedūra (STA-2)

Taikant sprendinių (individų) rangų pagrįstą atranką (netiesiogiai proporcinga tikslo funkcijai (tinkamumui) atranka) (angl. *rank-based selection*), populiacijos nariai pirmiausia surikiuojami atsižvelgiant į jų tikslo funkcijos reikšmes ir jiems priskiriamus rangus. Pagal rangą priskiriama atrinkimo tikimybė. Individai atrinkami pagal jiems priskirtą atrinkimo tikimybę [91].

Rangų pagrįstos atrankos taisyklė yra tokia [61]: eilinio parenkamo tėvo pozicija u sutvarkytoje, t. y. surikiuotoje, populiacijoje nustatoma pagal šią formulę: $u = \lfloor v^\sigma \rfloor$; čia v – atsitiktinis sveikasis skaičius iš intervalo $[1, PS^{\frac{1}{\sigma}}]$, PS – populiacijos dydis, o σ – realusis skaičius iš intervalo $[1, 2]$. Pirmojo ir antrojo tėvo pozicijos u reikšmė turi skirtis. σ yra laikomas atrankos parametru. HGA algoritme $\sigma = 2$. Akivaizdu, jog kuo geresnis individas, tuo didesnė tikimybė, kad jis bus atrinktas tolesniam kryžminimui.

C. Atsitiktinė atranka (STA-3)

Šiuo atveju sprendiniai-tėvai atrenkami tiesiog generuojant atsitiktinį skaičių intervale $[1, PS]$; čia PS yra populiacijos dydis.

2.5.5. Komponentas „KRYŽMINIMO PROCEDŪRA“

Atliekant eksperimentus su komponento (savybės) „KRYŽMINIMO PROCEDŪRA“ (angl. „CROSSOVER“) modifikacijomis, taikyta dešimt skirtingų kryžminimo procedūrų.

A. Dažnumu paremtas godusis kryžminimas (KP-1)

Taikytas (tėvų genų) dažnumu paremtas godusis kryžminimas (angl. *frequency(backbone)-based greedy crossover*). Ši kryžminimo procedūra yra tokia pati, kaip aprašytame HGA (žr. 2.4.3 skyrelį), tik vietoj dviejų palikuonių generuojamas vienas (nesukuriamas priešingasis (opozicinis) palikuonis).

B. Godusis priešingasis (opozicinis) kryžminimas (KP-2)

Taikytas godusis priešingasis (opozicinis) kryžminimas su priešingųjų (opozicinių) palikuonių formavimu (angl. *greedy opposition-based crossover*). Sugeneruojami du palikuoniai $p^\circ, p^{\circ\circ}$.

C. Godusis kryžminimas (KP-3)

Taikytas godusis kryžminimas (godusis kryžminimas be priešingųjų (opozicinių) palikuonių formavimo) (angl. *greedy crossover*). Gaunamas vienas palikuonis p° .

D. Euristinis priešingasis (opozicinis) kryžminimas (KP-4)

Taikytas euristinis priešingasis (opozicinis) kryžminimas su priešingųjų (opozicinių) palikuonių formavimu (angl. *heuristic opposition-based crossover*). Euristinio kryžminimo procedūroje atsižvelgiama į tai, kiek yra bendrų tėvų genų. Jų pagrindu ir formuojamas palikuonis. Jeigu yra daug bendrų genų, įtraukiami ir svetimi genai iš kitų individų. Euristinio kryžminimo procedūra atlieka ir dalinį palikuonių pagerinimą. Ši kryžminimo procedūra išsamiau aprašyta Misevičiaus ir Dreznerio [20, 24]. Taikant euristinį opozicinį kryžminimą sugeneruojami du palikuoniai $p^\circ, p^{\circ\circ}$.

E. Euristinis kryžminimas (KP-5)

Taikytas euristinis kryžminimas (euristinis kryžminimas be priešingųjų (opozicinių) palikuonių formavimo) (angl. *heuristic crossover*). Kryžminimo procedūra yra tokia pati, kaip 4 varianto, tik sugeneruojamas palikuonis p° be priešingojo palikuonio.

F. Daugelio tėvų genų dažnumu paremtas priešingasis (opozicinis) kryžminimas (KP-6)

Taikytas daugelio tėvų genų dažnumu paremtas kryžminimas su priešingųjų (opozicinių) palikuonių formavimu (angl. *multi-parent frequency and opposition-based crossover*). Daugelio tėvų kryžminimo procedūroje gali būti panaudojami visi populiacijos nariai arba jų dalis [62, 92]. Eksperimentams buvo panaudoti visi populiacijos nariai. Palikuonio p° i -tajam elementui priskiriama reikšmė j su tikimybe $t(p^\circ(i) = j)$ (jei j nebuvo panaudotas anksčiau). Tikimybė t apskaičiuojama pagal formulę:

$$t(p^\circ(i) = j) = q_{ij} / \sum_j^n q_{ij}; \quad (25)$$

čia $t(p^\circ(i) = j)$ apibrėžia tikimybę, kad $p^\circ(i) = j$; q_{ij} yra matricos $Q = (q_{ij})_{n \times n}$ elementas; q_{ij} nurodo, kiek kartų i -tojoje vietoje buvo j -oji reikšmė; $q_{ij} \leq v$ (v – tėvų skaičius). Jeigu yra kelios reikšmės (j_1, j_2, \dots) su vienoda tikimybe, tada reikšmė pasirenkama atsitiktinai [24]. Šiuo atveju sugeneruojami du palikuoniai $p^\circ, p^{\circ\circ}$.

G. Daugelio tėvų genų dažnumu paremtas kryžminimas (KP-7)

Taikytas daugelio tėvų genų dažnumu paremtas kryžminimas be priešingųjų (opozicinių) palikuonių formavimo (angl. *multi-parent frequency-based crossover*). Šiuo atveju sugeneruojamas vienas palikuonis p° .

H. Priderintasis (specifinis) priešingasis (opozicinis) kryžminimas (KP-8)

Taikytas priderintasis (specifinis) kryžminimas su priešingųjų (opozicinių) palikuonių formavimu (angl. *tailored (problem-specific) opposition-based crossover*). Pasitelktas kryžminimas, kurį taikant analitinio sprendinio elementai traktuojami kaip grafiniai juodi taškai, išdėstyti tinklelio eilutėse. Tada palikuonio elementai generuojami kaip dviejų gretimų taškų geometrinis vidurkis. Sugeneruojami du palikuoniai $p^\circ, p^{\circ\circ}$.

I. Priderintasis (specifinis) kryžminimas (KP-9)

Taikytas priderintasis (specifinis) kryžminimas be priešingųjų (opozicinių) palikuonių formavimo (angl. *tailored (problem-specific) crossover*). Šiuo būdu sugeneruojamas vienas palikuonis p° .

J. Dažnumu paremtas godusis priešingasis (opozicinis) kryžminimas (KP-10)

Ši kryžminimo procedūra yra tokia pati, kaip ir aprašytame baziniame HGA variante (žr. 2.4.3 skyrelį).

Atliekant eksperimentus su komponentu „KRYŽMINIMO PROCEDŪRA“, kitų parametrų reikšmės išlieka tokios pačios, kaip bazinėje algoritmo versijoje.

2.5.6. Komponentas „KRYŽMINIMŲ SKAIČIUS“

A. Padidintas kryžminimų skaičius (KS-1)

Tiriant komponentą (savybę) „KRYŽMINIMŲ SKAIČIUS“ (angl. „NUMBER OF CROSSOVERS PER GENERATION“), vienos generacijos metu buvo panaudotas padidintas kryžminimų skaičius $\frac{PS}{2} = 10$; čia PS – populiacijos dydis (lygus 20). Generacijų skaičius N_{gen} sumažintas iki 20, taip pat sumažintas hierarchinės iteratyviosios tabu paieškos iteracijų skaičius: $Q_{HIER} = Q \times Q_1 \times Q_2 \times Q_3 \times Q_4 \times Q_5 \times Q_6 \times Q_7 = 1 \times 2 \times 2 \times 2 \times 2 \times 2 \times 2 = 128$. Kitos parametrų reikšmės yra tokios pačios, kaip bazinėje algoritmo versijoje.

B. Vienas kryžminimas (KS-2)

Atliekamas vienas kryžminimas. Kitos parametrų reikšmės yra nepakitusios.

2.5.7. Komponentas „POPULIACIJOS ATNAUJINIMAS“

Tiriant komponentą (savybę) „POPULIACIJOS ATNAUJINIMAS“ (angl. „POPULATION REPLACEMENT“), buvo taikomos keturios populiacijos atnaujinimo strategijos.

A. Blogiausio populiacijos nario pakeitimas geresniu palikuoniu (PA-1)

Šiuo atveju naudojama atnaujinimo schema, kurią formaliai galima apibrėžti kaip „ $\mu + \lambda, \epsilon$ “ schemą. Šioje schemoje naujai generacijai atrenkama μ geriausių

individų iš $P_\mu \cup P_\lambda$; čia P_μ yra esama (esamos generacijos) populiacija (dar be naujų narių), o P_λ žymi aibę (rinkinį), sudarytą iš naujų (pagerintų) palikuonių. HGA algoritme $\mu = PS$. Taip pat turi būti patenkinta sąlyga: $\min_{p \in P} \{\delta(p_\lambda, p)\} \geq \varepsilon$ visiems $p_\lambda \in P_\lambda$. HGA algoritme $\varepsilon = DT$; čia DT žymi atstumo tarp individų minimalųjį slenkstį.

Šioje modifikacijoje $\lambda = 1$. Taigi, naujasis palikuonis tiesiog pakeičia esamos populiacijos blogiausią individą (jeigu palikuonis yra geresnis už blogiausią individą; priešingu atveju palikuonis atmetamas (neįtraukiamas į populiaciją). Turi būti patenkinta sąlyga: $\min_{p \in P} \{\delta(p_\lambda, p)\} \geq \varepsilon$; čia p_λ yra naujasis palikuonis. Jei sąlyga nepatenkinta, palikuonis ignoruojamas.

B. Blogiausio populiacijos nario pakeitimas (PA-2)

Panaudota atnaujinimo schema, kurią formaliai galima apibrėžti kaip „ $\mu, \lambda, \varepsilon$ “ schema. Šioje schemoje λ naujų individų, t. y. palikuonių, pakeičia tokį patį skaičių esamos populiacijos individų. Į palikuonių kokybę (tinkamumą) neatsižvelgiama. Turi būti patenkinta sąlyga: $\min_{p \in P} \{\delta(p_\lambda, p)\} \geq \varepsilon$ visiems $p_\lambda \in P_\lambda$; čia P_λ yra aibė (rinkinys), sudaryta iš naujų palikuonių.

Šioje modifikacijoje $\lambda = 1$. Šiuo atveju naujuoju palikuoniu tiesiog pakeičiamas esamos populiacijos blogiausias individas, nekreipiant dėmesio į palikuonio kokybę (tikslų funkcijos reikšmę). Tačiau turi būti patenkinta sąlyga: $\min_{p \in P} \{\delta(p_\lambda, p)\} \geq \varepsilon$; čia p_λ yra naujasis palikuonis.

C. Blogesniojo tėvo pakeitimas geresniu palikuoniu (PA-3)

Ši modifikacija yra labai panaši į modifikaciją PA-1. Tik šiuo atveju palikuonis pakeičia blogesnįjį iš savo tėvų (jeigu palikuonis yra geresnis už blogesnįjį tėvą).

D. Blogesniojo tėvo pakeitimas (PA-4)

Ši modifikacija yra labai panaši į PA-3, tik šiuo atveju palikuonis pakeičia blogesnįjį iš savo tėvų besąlygiškai (neatsižvelgiama į palikuonio kokybę).

E. Blogiausio populiacijos nario pakeitimas su papildoma sąlyga (PA-5)

Bazinėje (standartinėje) HGA versijoje naudojama atnaujinimo schema, kuri iš esmės yra „ $\mu + 1, \varepsilon$ “ schema. Tik šioje schemoje (papildomai) tikrinama, ar gautas naujas palikuonis yra geresnis už patį geriausią esamos populiacijos narį. Jei taip yra, palikuonis pakeičia būtent tą narį. Visa kita yra taip, kaip ir modifikacijoje PA-1.

Visų parametrų reikšmės yra tokios pačios, kaip ir bazinėje versijoje.

2.5.8. Komponentas „POPULIACIJOS PERTVARKYMAS“

Atlikti eksperimentai su septyniomis komponento „POPULIACIJOS PERTVARKYMAS“ (angl. „POPULATION RESTART (RESET)“) modifikacijomis.

A. Populiacijos pertvarkymo netaikymas (PR-1)

Pirmojoje modifikacijoje nebuvo atliekamas populiacijos pertvarkymas, t. y. buvo leidžiamas neribotas skaičius tuščiosios eigos generacijų. Visų parametrų reikšmės (išskyrus tuščiosios eigos generacijų limitą, L_{idle_gen}) yra tokios pačios, kaip ir bazinėje versijoje.

B. *Multimutacija paremtas populiacijos pertvarkymas (PR-2)*

Šiuo atveju populiacijos pertvarkymui taikyta esamos populiacijos multimutacija, t. y. vyko visų populiacijos narių mutacija. Mutacijai taikoma sprendinio elementų porinių sukeitimų dviejų žingsnių procedūra. Ją atliekant pirmajame žingsnyje vykdomi tik atsitiktiniai elementų sukeitimai, o antrajame žingsnyje atliekami tik tie atsitiktiniai parinktų elementų sukeitimai, kurie sumažina tikslo funkcijos reikšmę. Mutacijos lygis (stiprumas) yra lygus $0,1 \times m$. (t. y. pasikeičia 10 % elementų).

C. *Priešingų (opozicinių) sprendinių generavimu paremtas populiacijos pertvarkymas (PR-3)*

Populiacijos pertvarkymo metu generuojami priešingi sprendiniai (priešingos, antipodinės (esamos atžvilgiu) populiacijos generavimas). Generuojama tiek priešingų sprendinių, koks yra populiacijos dydis.

D. *Genų translokacija paremtas populiacijos pertvarkymas (PR-4)*

Populiacijos pertvarkymui taikoma speciali esamos populiacijos individų genų išmaišymo procedūra – vadinamoji genų translokacija (angl. *gene translocation*). Genų translokaciją galima traktuoti kaip vertikaliją mutaciją, t. y. keičiami savi populiacijos genai populiacijos viduje, skirtingai nuo multimutacijos, kai vyksta horizontalioji genų migracija (mutacijos procese dalyvauja ir svetimi genai). Genų translokacijos procedūra vykdoma iteratyviu būdu. Iteracijų skaičius yra lygus k , $k = \max\{1; 0,01 \cdot c \cdot PS(n - 1)\}$; čia c – translokacijos koeficientas (procentais) ($0 < c \leq 100$), PS – populiacijos dydis, n – chromosomos ilgis. Kiekvienos iteracijos metu sugeneruojami trys atsitiktiniai skaičiai $\zeta_1, \zeta_2, \zeta_3$. Pirmieji du (ζ_1, ζ_2) yra iš intervalo $[1, PS]$, $\zeta_1 \neq \zeta_2$, o ζ_3 yra iš intervalo $[1, n]$. Tada sukeičiami ζ_1 -ojo ir ζ_2 -ojo narių genai, esantys pozicijoje ζ_3 (jeigu sprendinyje neatsiranda vienodų genų). Genų translokacijos iteracijos tęsiamos tol, kol pasiekiamas nustatytas iteracijų skaičius. Rezultatas – gaunama nauja populiacija su c procentų naujų genų [62].

E. *Determinuotuoju chaosu pagrįstas populiacijos pertvarkymas (PR-5)*

Populiacijos pertvarkymui taikoma determinuotuoju chaosu pagrįsta populiacijos individų generavimo procedūra (chaotinis generavimas). Generuojant populiacijos sprendinių elementus buvo pasinaudota chaotinėse dinaminėse sistemose (šiuo atveju logistikos žemėlapiu (angl. *logistic map*) taikomu metodu pagal formulę [93]:

$$x_{j+1} = k \times x_j \times (1 - x_j); \quad (26)$$

čia $k = 4$, x_0 – vartotojo pasirinktas realusis skaičius iš intervalo $[0, 1]$, $j = 0, 1, 2, \dots, n - 1$.

F. *Determinuotuoju chaosu pagrįstas modifikuotas populiacijos pertvarkymas (PR-6)*

Populiacijos pertvarkymui taip pat taikoma chaotinio generavimo procedūra. Ypatumas yra tas, kad generuojami chaotiniai realieji skaičiai tiesiogiai susiejami su sprendinių (perstatymų) sveikosiomis elementų reikšmėmis.

G. *Atsitiktinės populiacijos generavimu paremtas populiacijos pertvarkymas (PR-7)*

Šiuo atveju populiacijos pertvarkymo procedūra yra tiesiog atsitiktinės populiacijos generavimas. Sugeneruoti sprendiniai yra pagerinami taikant HITP – kaip ir visose kitose modifikacijose.

2.6. Antrojo skyriaus išvados

1. Sukurtas patobulintas (naujas) hibridinis genetinis algoritmas, kuriame hibridinis genetinis algoritmas integruotas su naujojo tipo hierarchinės iteratyviosios tabu paieškos procedūra.
2. Atsižvelgiant į pagrindinius algoritmo parametrus, galinčius daryti įtaką rezultatų efektyvumui, buvo atliktas HGA tyrimas, pagrįstas esminių algoritmo komponentų apibrėžimu ir išskyrimu. Jo pagrindu, atsižvelgiant į pagrindinius algoritmo parametrus, sudarytos skirtingos septynių HGA komponentų modifikacijos.

3. EKSPERIMENTINIAI TYRIMAI

3.1. Eksperimentinių tyrimų metodika

Naujasis hibridinis genetinis algoritmas buvo testuojamas sprendžiant vidutinio ir didelio dydžio PŠF uždavinius, kai $n = 256$ ir $n = 1024$. Matricos B reikšmės buvo generuojamos atsižvelgiant į metodą, aprašytą Misevičiaus, Guogio ir Stanevičienės straipsnyje [10]⁹. Tinklelio matmenys 16×16 , $n_1 = n_2 = 16$ ir 32×32 , $n_1 = n_2 = 32$. Spalvos intensyvumo parametras m kito nuo 2 iki 128 ir nuo 2 iki 512.

Eksperimentuose buvo naudojamos HGA valdymo parametrų reikšmės pateiktos 2 lentelėje.

Iš pradžių eksperimentai atlikti pasirinkus uždavinio dydį $n = 256$. HGA buvo lyginamas su pagerintuoju genetiniu evoliuciniu algoritmu (PGEA), aprašytu Misevičiaus [20] ir laikytinu efektyviausiu algoritmu šio dydžio PŠF uždaviniui spręsti. PGEA paremtas intensifikavimo ir diversifikavimo metodais. Pagrindinės šio algoritmo dalys yra speciali sprendinių rekombinavimo procedūra ir algoritmas, taikomas po rekombinavimo (angl. *post-recombination algorithm*). Šiuo atveju rekombinavimo procedūra pasižymi tiek diversifikavimo, tiek intensifikavimo savybėmis. O algoritmas, taikomas po rekombinavimo, sudarytas iš iteratyviosios tabu paieškos ir mutacijos procedūrų, kur tabu paieška yra pagrindinis intensifikavimo mechanizmas.

Kadangi HGA ir PGEA per eksperimentus pasiekė geriausius žinomus sprendinius (angl. *best known solutions*) (GŽS), buvo lyginamas ir skaičiavimų laikas.

Kompiuterinio eksperimentinio tyrimo metu PGEA ir HGA buvo paleidžiami atitinkamai 10 ir 100 vykdymų. Kiekvieno algoritmų paleidimo metu naudojamas duotasis m , kiekvieną kartą pradedama nuo naujai atsitiktinai sugeneruotos populiacijos. Algoritmų vykdymas stabdomas tada, kai randamas geriausias žinomas sprendinys (GŽS) (jeigu dar nepasiekta generacijų limitas N_{gen}).

3.2. Hibridinio genetinio algoritmo palyginimo su PGEA rezultatai

Algoritmų vykdymo laikas (centrinio procesoriaus (CP) laikas), reikalingas surasti GŽS su kiekviena m reikšme, pateikiamas 3 lentelėje. PGEA yra pateikiamas laiko vidurkis (per 10 vykdymų). HGA pateikiamas trumpiausias laikas per 100 paleidimų. Gauti rezultatai rodo, kad HGA vykdymo laikas yra geresnis už PGEA. Dar pastebėta, kad galimai optimalus (pseudooptimalus) sprendinys yra randamas ankstyvojoje algoritmo stadijoje, sukonstravus pradinę populiaciją ir pritaikius HITP.

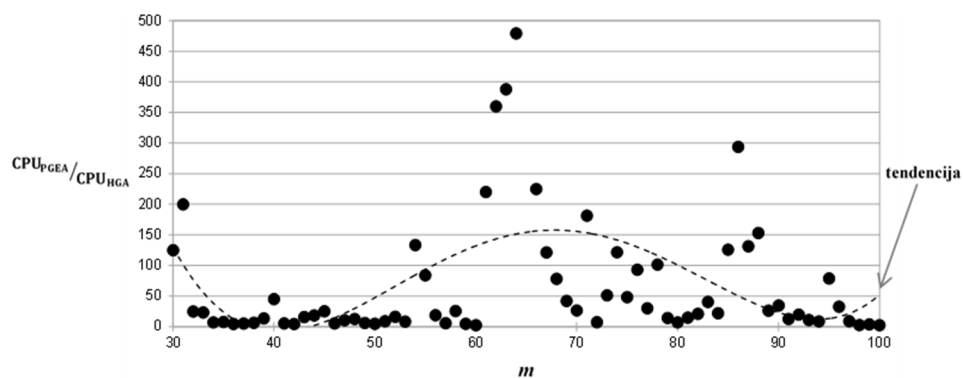
Atliekant eksperimentus su didelio dydžio PŠF uždaviniu, pavyko geriausias iki šiol žinomas tikslo funkcijos reikšmes pagerinti daugiau nei 190 atvejų. Rezultatai pateikiami 4 lentelėje. Šiuo atveju vykdymo laikas nebuvo lyginamas.

⁹ Matricos B reikšmės galima rasti adresu <http://www.personalas.ktu.lt/~alfmise/>.

2 lentelė. Hibridinio genetinio algoritmo parametrų reikšmės, naudotos palyginimui

Parametrai	Reikšmės	Komentariai
Populiacijos dydis, PS	20	
Generacijų skaičius, N_{gen}	40	
Tuščiosios eigos generacijų limitas, L_{idle_gen}	$[0,15N_{gen}]$	$0 < L_{idle_gen} \leq N_{gen}$
Atstumų slenkstis, DT	$[0,25m]$	$0 \leq DT \leq m$
HITP iteracijų skaičius, Q_{HIER}	384	$Q_{HIER} = Q \times Q_1 \times Q_2 \times Q_3 \times Q_4 \times Q_5 \times Q_6 \times Q_7^{\dagger}$
TP iteracijų skaičius, τ	80	
TP uždraudimų laikotarpis (matuojamas iteracijomis), h	$[0,3m]$	$h > 0$
Tuščiosios eigos iteracijų limitas, L_{idle_iter}	$[0,2\tau]$	$0 < L_{idle_iter} \leq \tau$
Aplinkos dydžio parametras, ρ	0,4	$\rho > 0$
Randomizavimo koeficientas, α	0,02	$0 < \alpha < 1$
Mutacijos lygis TP procedūroje, μ	$[0,15m]$	$0 < \mu < m$

$\dagger Q = Q_1 = Q_2 = Q_3 = Q_4 = Q_5 = Q_6 = 2, Q_7 = 3.$



15 pav. HGA ir PGEA algoritmų veikimo santykinio laiko grafikas, kai m kinta nuo 30 iki 100

Reikia pažymėti, kad su kai kuriomis m reikšmėmis ($m = 26, 101, 102, 103$) rezultatų pagerinti nepavyko (3 lent.), tačiau 15 pav. pateikiamas santykinis lyginamų algoritmų laiko grafikas rodo, kad keliais atvejais, kai $m = 30, 31, 32, \dots, 100$, vykdymo laiką pavyko pagerinti gana nemažai.

3 lentelė. Eksperimentų su HGA ir PGEA rezultatai (PŠF uždaviniui, $n = 256$)

m	GŽR [†]	$\theta(\%)^{**}$	CP laikas (s)		m	GŽR [†]	$\theta(\%)^{**}$	CP laikas (s)		m	GŽR [†]	$\theta(\%)^{**}$	CP laikas (s)	
			PGEA	HGA				PGEA	HGA				PGEA	HGA
2	1562	0	0,0	0,00	45	8674910	0	150,0	5,91	87	39389054	0	25,0	0,19
3	7810	0	0,0	0,00	46	9129192	0	64,0	11,38	88	40416536	0	23,0	0,15
4	15620	0	0,0	0,00	47	9575736	0	3,1	0,29	89	41512742	0	183,0	6,98
5	38072	0	0,0	0,00	48	10016256	0	2,0	0,16	90	42597626	0	165,0	4,76
6	63508	0	0,0	0,00	49	10518838	0	3,4	0,56	91	43676474	0	224,0	17,64
7	97178	0	0,0	0,00	50	11017342	0	2,8	0,56	92	44759294	0	157,0	7,94
8	131240	0	0,0	0,00	51	11516840	0	7,5	0,83	93	45870244	0	214,0	19,18
9	183744	0	0,0	0,00	52	12018388	0	6,3	0,39	94	46975856	0	190,0	21,52
10	242266	0	0,0	0,00	53	12558226	0	4,6	0,54	95	48081112	0	169,0	2,14
11	304722	0	0,1	0,00	54	13096646	0	4,0	0,03	96	49182368	0	216,0	6,58
12	368952	0	0,1	0,00	55	13661614	0	10,1	0,12	97	50344050	0	213,0	23,88
13	457504	0	0,1	0,00	56	14229492	0	2,8	0,15	98	51486642	0	188,0	63,40
14	547522	0	0,1	0,00	57	14793682	0	2,2	0,37	99	52660116	0	201,0	50,53
15	644036	0	0,1	0,00	58	15363628	0	2,3	0,09	100	53838088	0	117,0	48,18
16	742480	0	0,1	0,00	59	15981086	0	3,5	0,71	101	55014262	0	84,0	156,00
17	878888	0	0,2	0,00	60	16575644	0	2,4	0,95	102	56202826	0	40,0	115,00
18	1012990	0	0,1	0,00	61	17194812	0	2,2	0,01	103	57417112	0	73,0	84,00
19	1157992	0	0,2	0,00	62	17822806	0	3,6	0,01	104	58625240	0	62,0	51,14
20	1305744	0	0,3	0,08	63	18435790	0	1,9	0,00	105	59854744	0	38,0	32,41
21	1466210	0	0,5	0,00	64	19050432	0	2,3	0,00	106	61084902	0	33,0	10,85
22	1637794	0	0,3	0,00	65	19848790	0	3,1	0,00	107	62324634	0	21,0	0,73
23	1820052	0	0,2	0,00	66	20648754	0	4,5	0,02	108	63582416	0	12,6	0,65
24	2010846	0	0,6	0,02	67	21439396	0	9,7	0,08	109	64851966	0	11,1	1,02
25	2215714	0	3,2	0,31	68	22234020	0	18,0	0,23	110	66120434	0	10,7	0,41
26	2426298	0	16,5	22,98	69	23049732	0	27,0	0,64	111	67392724	0	8,2	0,46
27	2645436	0	1,1	0,02	70	23852796	0	26,0	0,98	112	68666416	0	7,7	0,17
28	2871704	0	0,9	0,03	71	24693608	0	78,0	0,43	113	69984758	0	10,2	0,13
29	3122510	0	0,7	0,03	72	25522408	0	490,0	64,80	114	71304194	0	6,3	0,18
30	3373854	0	0,5	0,00	73	26375828	0	298,0	5,81	115	72630764	0	5,1	0,37
31	3646344	0	0,6	0,00	74	27235240	0	304,0	2,50	116	73962220	0	5,3	0,21
32	3899744	0	0,5	0,02	75	28114952	0	41,0	0,85	117	75307424	0	4,0	0,03
33	4230950	0	0,7	0,03	76	29000908	0	121,0	1,30	118	76657014	0	3,6	0,06
34	4560162	0	2,6	0,36	77	29894452	0	145,0	4,81	119	78015914	0	2,3	0,03
35	4890132	0	3,2	0,41	78	30797954	0	117,0	1,15	120	79375832	0	1,7	0,05
36	5222296	0	2,0	0,44	79	31702182	0	11,6	0,81	121	80756852	0	1,6	0,07
37	5565236	0	1,8	0,34	80	32593088	0	3,3	0,47	122	82138768	0	1,4	0,03
38	5909202	0	0,9	0,14	81	33544628	0	3,9	0,26	123	83528554	0	1,0	0,04
39	6262248	0	1,1	0,08	82	34492592	0	70,0	3,33	124	84920540	0	0,7	0,01
40	6613472	0	0,9	0,02	83	35443938	0	57,0	1,41	125	86327812	0	0,4	0,00
41	7002794	0	0,6	0,11	84	36395172	0	61,0	2,77	126	87736646	0	0,3	0,00
42	7390586	0	0,7	0,16	85	37378800	0	151,0	1,20	127	89150166	0	0,2	0,00
43	7794422	0	3,2	0,20	86	38376438	0	94,0	0,32	128	90565248	0	0,2	0,00
44	8217264	0	16,0	0,87										

Pastaba. Lentelėje paryškintuoju šriftu pateikti rezultatai, kuriuos pavyko pagerinti.

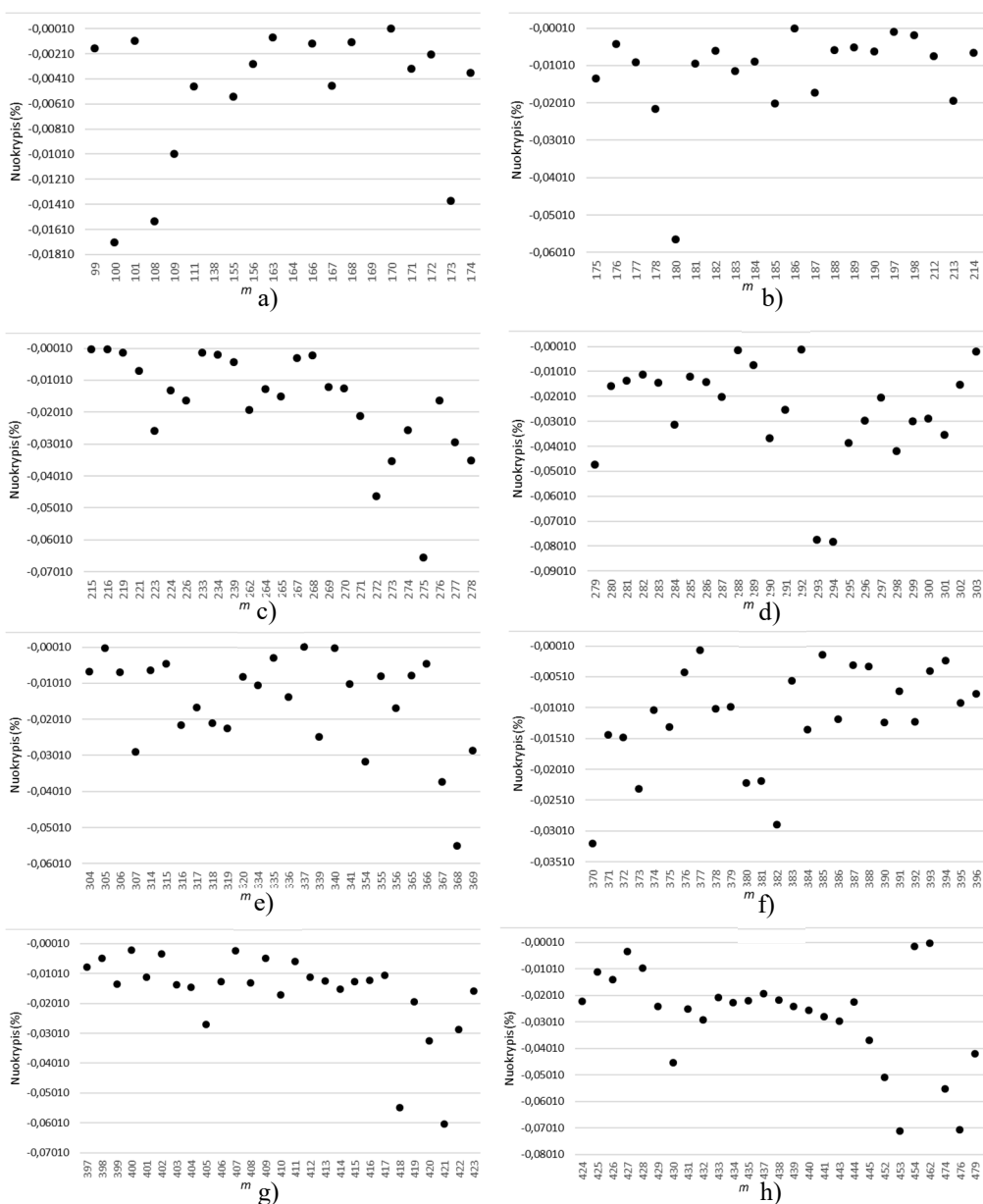
[†] – GŽR pateikiamos straipsnyje [20].

^{**} – nuokrypis θ apskaičiuotas pagal formulę: $\theta = (z^* - G\check{Z}R)/G\check{Z}R$; čia z^* – algoritmo rasta geriausia tikslo funkcijos reikšmė.

4 lentelė. Eksperimentų su HGA rezultatai (PŠF uždaviniui, $n = 1024$)

<i>m</i>	GŽR	<i>m</i>	GŽR	<i>m</i>	GŽR	<i>m</i>	GŽR	<i>m</i>	GŽR	<i>m</i>	GŽR	<i>m</i>	GŽR	<i>m</i>	GŽR
2	390	66	5132250	130	23460170	194	57086766	258	106260632	322	176518174	386	262819150	450	363665156
3	1954	67	5312762	131	23897592	195	57739124	259	107273354	323	177756358	387	264317294	451	365361310
4	3908	68	5493398	132	24335656	196	58392270	260	108286116	324	178959204	388	265791714	452	367056444
5	9488	69	5675784	133	24773832	197	59055298	261	109299348	325	180158842	389	267231448	453	368754728
6	15882	70	5868614	134	25213730	198	59710314	262	110313464	326	181377560	390	268698768	454	370451410
7	24290	71	6061636	135	25653062	199	60357328	263	111323160	327	182598340	391	270205824	455	372157104
8	32808	72	6253544	136	26091040	200	61005880	264	112349256	328	183826382	392	271688930	456	373863658
9	45844	73	6451748	137	26536474	201	61656140	265	113366358	329	185039942	393	273203922	457	375575430
10	60310	74	6658646	138	26980064	202	62313154	266	114381534	330	186245648	394	274660438	458	377289052
11	75878	75	6866464	139	27426740	203	62979360	267	115403394	331	187480294	395	276180114	459	379005274
12	91852	76	7077272	140	27873238	204	63648372	268	116415772	332	188702624	396	277670456	460	380724964
13	114040	77	7287952	141	28319430	205	64329116	269	117454596	333	189934056	397	279172978	461	382449898
14	136706	78	7497962	142	28761578	206	65021762	270	118462682	334	191134986	398	280677404	462	384147962
15	160770	79	7708934	143	29211334	207	65721964	271	119472414	335	192370030	399	282179032	463	385902750
16	185552	80	7919112	144	29649520	208	66422364	272	120505424	336	193596576	400	283712492	464	387628048
17	218392	81	8147012	145	30118164	209	67136312	273	121574572	337	194844496	401	285211916	465	389368514
18	251618	82	8363950	146	30588480	210	67852496	274	122629730	338	196104848	402	286746076	466	391105794
19	288006	83	8600584	147	31065948	211	68585494	275	123626322	339	197349714	403	288238662	467	392843892
20	324794	84	8839620	148	31546098	212	69315338	276	124716364	340	198600114	404	289784468	468	394587900
21	365546	85	9079818	149	32025690	213	70050648	277	125741472	341	199870596	405	291260654	469	396332818
22	407406	86	9322672	150	32508848	214	70789536	278	126807112	342	201181102	406	292833208	470	398083462
23	451448	87	9563920	151	32992712	215	71527862	279	127842588	343	202519622	407	294387042	471	399837320
24	496888	88	9818424	152	33479148	216	72259864	280	128937048	344	203834574	408	295934120	472	401592882
25	549180	89	10074140	153	33968988	217	72990332	281	130003342	345	205167090	409	297474388	473	403351666
26	603368	90	10331422	154	34461110	218	73726832	282	131077338	346	206544390	410	298998414	474	405112104
27	659044	91	10600710	155	34955468	219	74466810	283	132132040	347	207925194	411	300564200	475	406875344
28	716280	92	10871062	156	35450196	220	75201458	284	133187012	348	209234904	412	302129606	476	408637620
29	777436	93	11138470	157	35944108	221	75953890	285	134287484	349	210612178	413	303688980	477	410409038
30	837798	94	11411510	158	36437606	222	76713866	286	135364426	350	211922934	414	305224788	478	412182568
31	907090	95	11679880	159	36933614	223	77465610	287	136441394	351	213304876	415	306845268	479	413959340
32	975008	96	11944352	160	37426912	224	78218352	288	137549224	352	214686716	416	308393388	480	415733856
33	1050792	97	12237102	161	37947342	225	78977922	289	138637260	353	216044260	417	309969764	481	417519180
34	1125558	98	12523996	162	38464394	226	79744456	290	139677068	354	217376574	418	311420318	482	419302686
35	1203646	99	12813836	163	38982592	227	80520900	291	140801272	355	218738658	419	313094242	483	421092758
36	1281132	100	13103420	164	39500208	228	81287994	292	141875610	356	220109066	420	314652760	484	422883164
37	1368444	101	13398254	165	40025416	229	82061894	293	142916356	357	221526988	421	316172166	485	424678088
38	1456842	102	13691306	166	40550006	230	82837128	294	144026694	358	222888300	422	317825280	486	426473544
39	1547598	103	13988062	167	41078930	231	83613898	295	145157322	359	224268836	423	319428868	487	428272184
40	1638808	104	14288780	168	41606240	232	84406568	296	146290048	360	225646838	424	321022500	488	430071632
41	1736236	105	14593444	169	42140968	233	85225404	297	147454448	361	227020504	425	322637088	489	431876322
42	1834074	106	14899130	170	42673974	234	86030804	298	148527002	362	228390592	426	324262610	490	433683572
43	1935946	107	15216394	171	43219476	235	86829778	299	149672540	363	229827232	427	325898680	491	435492454
44	2042792	108	15537796	172	43787404	236	87618540	300	150827224	364	231201722	428	327457994	492	437303524
45	2147200	109	15857934	173	44361196	237	88445972	301	151952048	365	232578308	429	328993270	493	439118116
46	2260650	110	16177106	174	44933388	238	89239062	302	153122860	366	233960416	430	330616714	494	440933678
47	2373506	111	16504524	175	45511224	239	90075414	303	154282700	367	235302078	431	332246332	495	442752278
48	2482832	112	16837956	176	46091442	240	90875504	304	155417120	368	236712932	432	333874768	496	444570032
49	2607474	113	17174378	177	46680202	241	91698908	305	156547208	369	238200964	433	335514106	497	446397066
50	2730510	114	17508602	178	47274350	242	92523578	306	157684310	370	239582944	434	337154026	498	448224550
51	2857088	115	17849756	179	47871440	243	93371894	307	158836480	371	241044336	435	338796402	499	450053654
52	2988998	116	18191920	180	48462430	244	94187252	308	159999648	372	242479798	436	340435998	500	451883116
53	3120248	117	18535442	181	49056670	245	95044544	309	161157378	373	243893396	437	342076542	501	453718668
54	3257234	118	18902942	182	49654614	246	95865322	310	162344014	374	245361204	438	343718980	502	455554546
55	3398018	119	19272770	183	50258968	247	96720682	311	163515706	375	246783270	439	345362184	503	457391626
56	3535048	120	19631156	184	50876864	248	97531736	312	164641724	376	248246874	440	347009592	504	459230104
57	3684478	121	20001764	185	51494526	249	98361638	313	165838280	377	249710800	441	348669786	505	461073188
58	3829950	122	20370638	186	52115066	250	99225594	314	167015058	378	251141622	442	350325606	506	462916382
59	3984538	123	20746696	187	52731636	251	100062350	315	168180928	379	252535872	443	351981700	507	464761614
60	4136400	124	21117234	188	53348334	252	100898116	316	169354960	380	254011358	444	353638456	508	466607612
61	4291962	125	21484868	189	53959660	253	101733670	317	170529852	381	255486362	445	355296090	509	468457260
62	4447434	126	21852518	190	54571808	254	102566006	318	171723964	382	256914322	446	356954184	510	470307298
63	4604860	127	22218924	191	55185346	255	103399158	319	172910768	383	258421702	447	358612252	511	472158510
64	4762688	128	22581376	192	55788864	256	104232704	320	174113066	384	259861698	448	360270272	512	474010112
65	4949042	129	23021790	193	56452088	257	105247082	321	175343494	385	261377866	449	361968220		

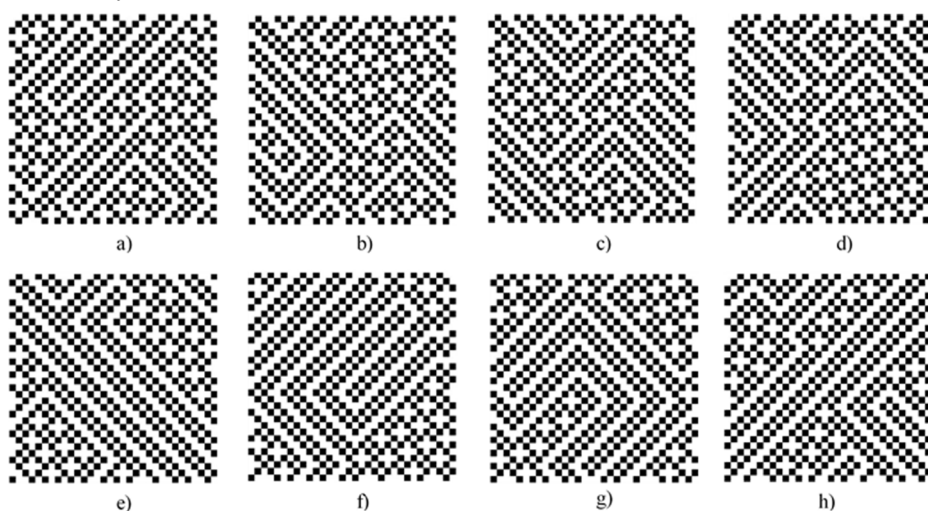
Iki šiol geriausios žinomos tikslo funkcijos reikšmės, kai PŠF uždavinio dydis yra $n = 1024$, pateiktos Misevičiaus, Guogio ir Stanevičienės [19]. Pagerintų tikslo funkcijos reikšmių nuokrypis (proc.) pateikiamas 16 paveiksle.



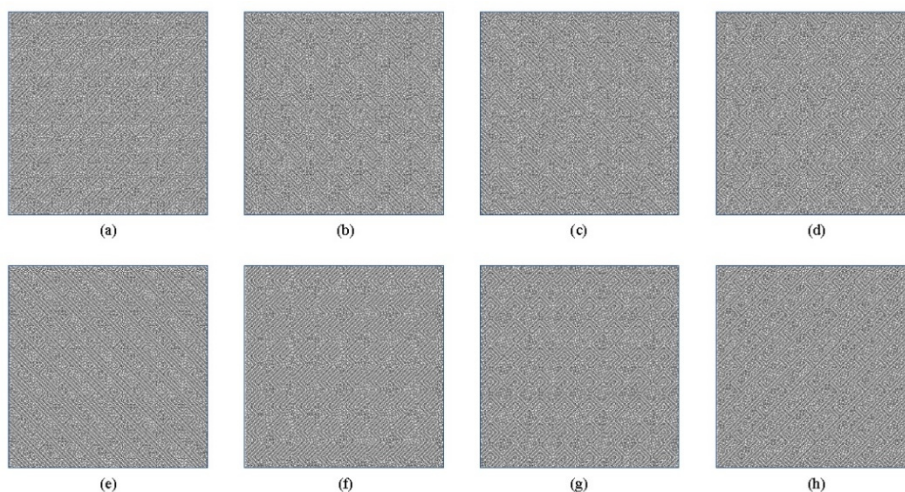
16 pav. Pagerintų tikslo funkcijos reikšmių nuokrypis (%) nuo GŽR ($n = 1024$): a) m kinta nuo 99 iki 174; b) m kinta nuo 175 iki 214; c) m kinta nuo 215 iki 278; d) m kinta nuo 279 iki 303; e) m kinta nuo 304 iki 369; f) m kinta nuo 370 iki 396; g) m kinta nuo 397 iki 423; h) m kinta nuo 424 iki 479

16 pav. pateiktuose grafikuose matyti, kad kuo didesnė absoliutinė nuokrypio reikšmė, tuo geresnis sprendinys pasiektas.

Keletas rastų galimai optimalių (pseudooptimalių) sprendinių (perstatymų) yra atvaizduoti grafiškai esant skirtingiems masteliams (17, 18 pav.). Spalvos intensyvumo m reikšmės yra lygios: 401, 402, 403, 404, 405, 406, 407, 408, PŠF uždavinio dydis $n = 1024$.



17 pav. (Pseudo)optimalių pilkųjų šablonų pavyzdžiai (32×32): a) $m = 401$; b) $m = 402$; c) $m = 403$; d) $m = 404$; e) $m = 405$; f) $m = 406$; g) $m = 407$; h) $m = 408$



18 pav. (Pseudo)optimalių pilkųjų šablonų pavyzdžiai (32×32)¹⁰: a) $m = 401$; b) $m = 402$; c) $m = 403$; d) $m = 404$; e) $m = 405$; f) $m = 406$; g) $m = 407$; h) $m = 408$

¹⁰ Šiame paveikslėlyje kiekvienas $n = 1024$ dydžio tinklelis pakartotas 8 kartus vertikaliai ir 8 kartus horizontaliai.

3.3. Algoritmo komponentų eksperimentinių tyrimų rezultatai

Siekiant nustatyti efektyviausias HGA modifikacijas, buvo atlikti išplėstiniai eksperimentiniai tyrimai su pagrindiniais algoritmo komponentais. Šie eksperimentai buvo atlikti su PŠF uždaviniais, kai $n = 256$, $m = 95, 96, \dots, 104$ (preliminariai nustatyti kaip sunkūs duomenų pavyzdžiai) ir $n = 1024$, $m = 50, 60, 70, \dots, 110$. Esant didelio dydžio uždaviniui, didesnės parametro m reikšmės nebuvo naudojamos išplėtiniuose eksperimentuose dėl labai didelio skaičiavimo laiko. Vykdamas šiuos eksperimentus, buvo lyginamas vidutinis nuokrypis nuo geriausios žinomos reikšmės ir sėkmingų bandymų skaičius (angl. *success rate*). Vidutinis nuokrypis buvo apskaičiuojamas pagal formulę: $\theta = 100 \frac{z - z_{G\check{Z}R}}{z_{G\check{Z}R}} [\%]$; čia z yra vidutinė tikslo funkcijos reikšmė per 10 vykdymų, $z_{G\check{Z}R}$ – geriausia žinoma tikslo funkcijos reikšmė. Sėkmingų bandymų skaičius nurodo, kiek kartų per 10 algoritmo vykdymų pavyko rasti GŽR.

Pateikiami šių eksperimentų rezultatai: su komponento „PRADINĖ POPULIACIJA“ modifikacijomis (5, 6 lent., 19, 20 pav.); su komponento „LOKALUSIS PAGERINIMAS“ modifikacijomis (7, 8 lent., 21–23 pav.); su komponento „SPRENDINIŲ-TĖVŲ ATRANKA“ modifikacijomis (9, 10 lent., 24, 25 pav.); su komponento „KRYŽMINIMO PROCEDŪRA“ modifikacijomis (11–16 lent., 26, 27 pav.); su komponento „KRYŽMINIMŲ SKAIČIUS“ modifikacijomis (17, 18 lent., 28 pav.); su komponento „POPULIACIJOS ATNAUJINIMAS“ modifikacijomis (19–22 lent., 29–31 pav.); su komponento „POPULIACIJOS PERTVARKYMAS“ modifikacijomis (23–26 lent., 32, 33 pav.).

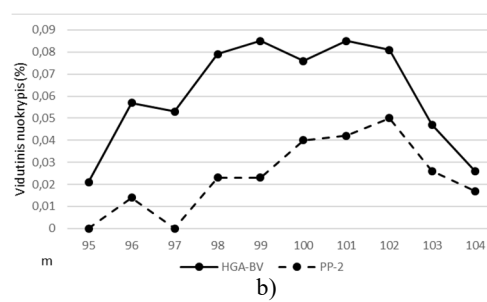
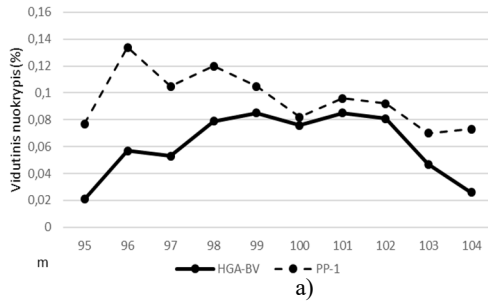
Kiekviena algoritmo komponento modifikacija pateiktuose eksperimentinių tyrimų rezultatuose žymima santrumpomis: **PP-1**, **PP-2** (žr. 2.5.2 skyrelį), **LP-1**, **LP-2**, **LP-3**, **LP-4** (žr. 2.5.3 skyrelį), **STA-1**, **STA-2** (žr. 2.5.4 skyrelį), **KP-1**, **KP-2**, **KP-3**, **KP-4**, **KP-5**, **KP-6**, **KP-7**, **KP-8**, **KP-9** (žr. 2.5.5 skyrelį), **KS-1** (žr. 2.5.6 skyrelį), **PA-1**, **PA-2**, **PA-3**, **PA-4** (žr. 2.5.7 skyrelį), **PR-1**, **PR-2**, **PR-3**, **PR-4**, **PR-5**, **PR-6** (žr. 2.5.8 skyrelį). Bazinės HGA versijos (**HGA-BV**) parametrai pateikti 1 lentelėje.

5 lentelė. Eksperimentų su komponento „PRADINĖ POPULIACIJA“ modifikacijomis rezultatai ($n = 256$)

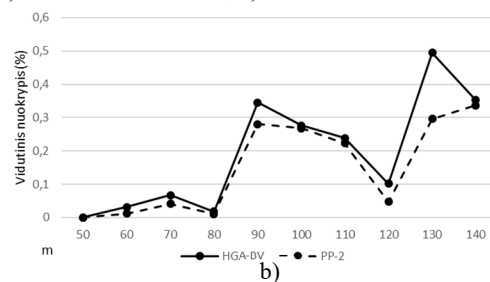
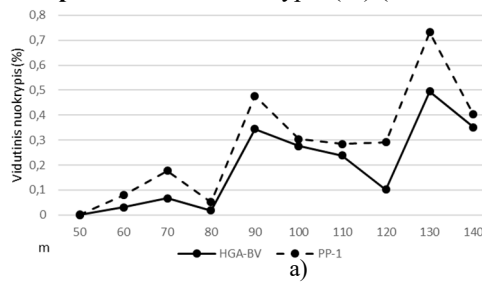
<i>m</i>	GŽR	HGA-BV		PP-1		PP-2	
		Vidutinis nuokrypis (%)	Sėkmingų bandymų skaičius	Vidutinis nuokrypis (%)	Sėkmingų bandymų skaičius	Vidutinis nuokrypis (%)	Sėkmingų bandymų skaičius
95	48081112	0,021	4	0,077	0	0,000	10
96	49182368	0,057	3	0,134	0	0,014	8
97	50344050	0,053	1	0,105	0	0,000	10
98	51486642	0,079	1	0,120	0	0,023	7
99	52660116	0,085	0	0,105	0	0,023	6
100	53838088	0,076	0	0,082	0	0,040	1
101	55014262	0,085	0	0,096	0	0,042	2
102	56202826	0,081	0	0,092	0	0,050	0
103	57417112	0,047	0	0,070	0	0,026	0
104	58625240	0,026	0	0,073	0	0,017	1
Vidurkis:		0,061	0,9	0,095	0	0,024	4,5

6 lentelė. Eksperimentų su komponento „PRADINĖ POPULIACIJA“ modifikacijomis rezultatai ($n = 1024$)

<i>m</i>	GŽR	HGA-BV		PP-1		PP-2	
		Vidutinis nuokrypis (%)	Sėkmingų bandymų skaičius	Vidutinis nuokrypis (%)	Sėkmingų bandymų skaičius	Vidutinis nuokrypis (%)	Sėkmingų bandymų skaičius
50	2730510	0,000	10	0,002	7	0,000	10
60	4136400	0,031	0	0,080	0	0,012	0
70	5868614	0,067	0	0,177	0	0,041	0
80	7919112	0,018	0	0,052	0	0,011	0
90	10331422	0,345	0	0,477	0	0,280	0
100	13103420	0,276	0	0,304	0	0,268	0
110	16177106	0,239	0	0,284	0	0,223	0
120	19631156	0,102	0	0,292	0	0,047	0
130	23460170	0,495	0	0,732	0	0,296	0
140	27873238	0,352	0	0,403	0	0,337	0
Vidurkis:		0,193	1	0,280	0,7	0,152	1



19 pav. Vidutinis nuokrypis (%) ($n = 256$): a) HGA-BV ir PP-1; b) HGA-BV ir PP-2

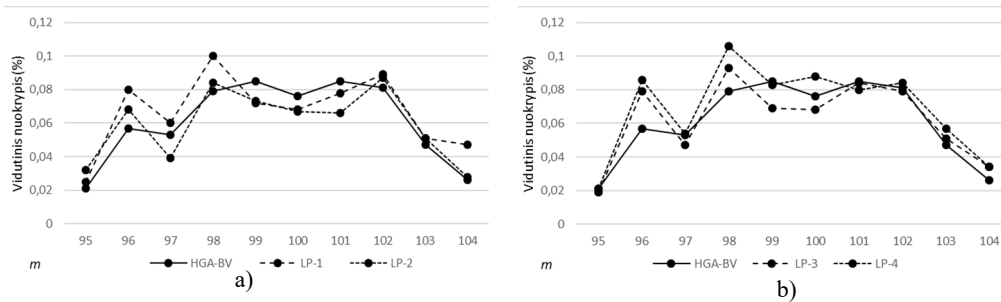


20 pav. Vidutinis nuokrypis (%) ($n = 1024$): a) HGA-BV ir PP-1; b) HGA-BV ir PP-2

7 lentelė. Eksperimentų su komponento „LOKALUSIS PAGERINIMAS“ modifikacijomis rezultatai ($n = 256$)

m	GŽR	HGA-BV		LP-1		LP-2		LP-3		LP-4	
		Vidutinis nuokrypis (%)	SB [†]	Vidutinis nuokrypis (%)	SB	Vidutinis nuokrypis (%)	SB	Vidutinis nuokrypis (%)	SB	Vidutinis nuokrypis (%)	SB
95	48081112	0,021	4	0,025	3	0,032	1	0,019	3	0,021	3
96	49182368	0,057	3	0,080	0	0,068	2	0,079	0	0,086	0
97	50344050	0,053	1	0,060	2	0,039	3	0,047	1	0,054	0
98	51486642	0,079	1	0,100	0	0,084	1	0,093	0	0,106	0
99	52660116	0,085	0	0,072	0	0,073	0	0,069	0	0,083	0
100	53838088	0,076	0	0,068	0	0,067	0	0,068	0	0,088	0
101	55014262	0,085	0	0,078	0	0,066	0	0,084	0	0,080	0
102	56202826	0,081	0	0,089	0	0,087	0	0,079	0	0,084	0
103	57417112	0,047	0	0,051	1	0,051	0	0,051	0	0,057	0
104	58625240	0,026	0	0,047	0	0,028	0	0,034	0	0,034	0
Vidurkis:		0,061	0,9	0,067	0,6	0,060	0,7	0,062	0,4	0,069	0,3

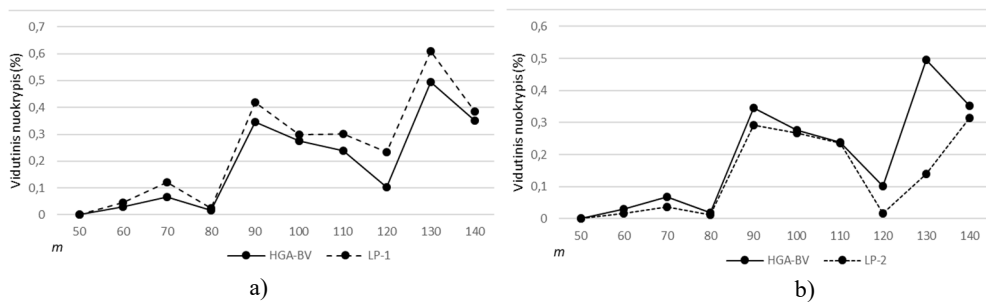
[†] SB yra sėkmingų bandymų skaičius (vnt.).



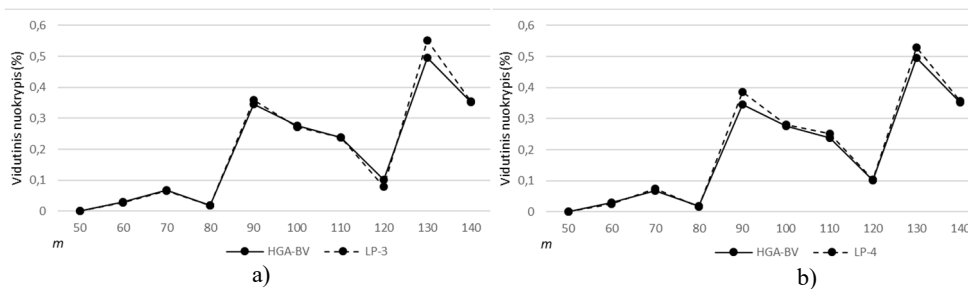
21 pav. Vidutinis nuokrypis (%) ($n = 256$): a) HGA-BV, LP-1 ir LP-2 modifikacijos; b) HGA-BV, LP-3 ir LP-4 modifikacijos

8 lentelė. Eksperimentų su komponento „LOKALUSIS PAGERINIMAS“ modifikacijomis rezultatai ($n = 1024$)

m	GŽR	HGA-BV		LP-1		LP-2		LP-3		LP-4	
		Vidutinis nuokrypis (%)	SB	Vidutinis nuokrypis (%)	SB	Vidutinis nuokrypis (%)	SB	Vidutinis nuokrypis (%)	SB	Vidutinis nuokrypis (%)	SB
50	2730510	0,000	10	0,000	10	0,000	10	0,000	10	0,000	10
60	4136400	0,031	0	0,046	0	0,017	0	0,027	0	0,025	0
70	5868614	0,067	0	0,120	0	0,037	0	0,065	0	0,074	0
80	7919112	0,018	0	0,025	0	0,012	0	0,018	0	0,017	0
90	10331422	0,345	0	0,420	0	0,291	0	0,358	0	0,385	0
100	13103420	0,276	0	0,300	0	0,267	0	0,271	0	0,281	0
110	16177106	0,239	0	0,302	0	0,237	0	0,238	0	0,252	0
120	19631156	0,102	0	0,233	0	0,016	1	0,079	0	0,105	0
130	23460170	0,495	0	0,609	0	0,140	0	0,552	0	0,529	0
140	27873238	0,352	0	0,385	0	0,315	0	0,355	0	0,356	0
Vidurkis:		0,193	1	0,244	1	0,133	1,1	0,196	1	0,202	1



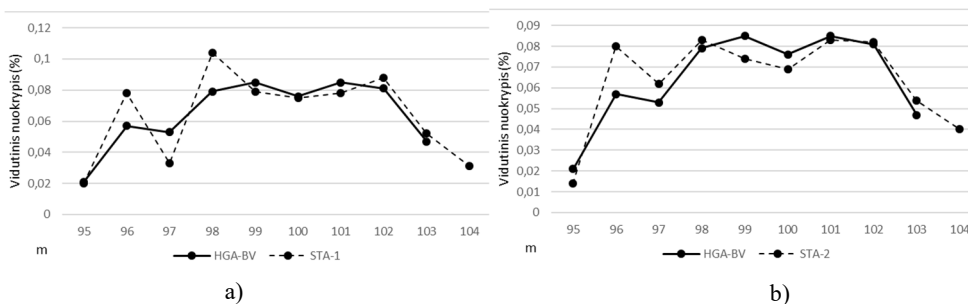
22 pav. Vidutinis nuokrypis (%) ($n = 1024$): a) HGA-BV ir LP-1; b) HGA-BV ir LP-2



23 pav. Vidutinis nuokrypis (%) ($n = 1024$): a) HGA-BV ir LP-3; b) HGA-BV ir LP-4

9 lentelė. Eksperimentų su komponento „SPRENDINIŲ-TĖVŲ ATRANKA“ modifikacijomis rezultatai ($n = 256$)

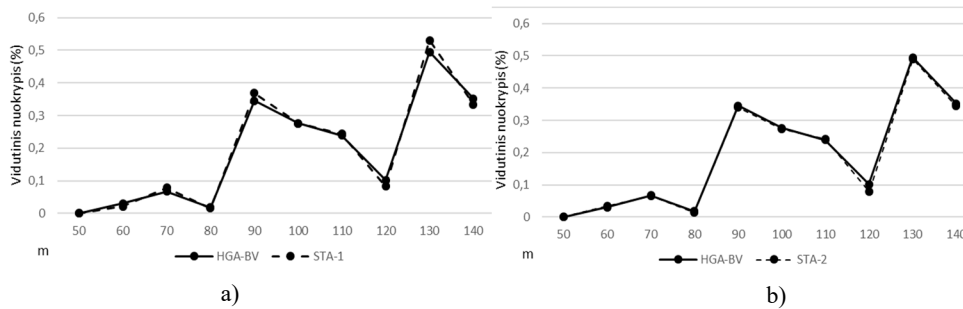
m	GŽR	HGA-BV		STA-1		STA-2	
		Vidutinis nuokrypis (%)	Sėkmingų bandymų skaičius	Vidutinis nuokrypis (%)	Sėkmingų bandymų skaičius	Vidutinis nuokrypis (%)	Sėkmingų bandymų skaičius
95	48081112	0,021	4	0,020	6	0,014	5
96	49182368	0,057	3	0,078	0	0,080	0
97	50344050	0,053	1	0,033	4	0,062	0
98	51486642	0,079	1	0,104	0	0,083	0
99	52660116	0,085	0	0,079	0	0,074	0
100	53838088	0,076	0	0,075	0	0,069	0
101	55014262	0,085	0	0,078	0	0,083	0
102	56202826	0,081	0	0,088	0	0,082	0
103	57417112	0,047	0	0,052	0	0,054	0
104	58625240	0,026	0	0,031	0	0,040	0
Vidurkis:		0,061	0,9	0,064	1	0,064	0,5



24 pav. Vidutinis nuokrypis (%) ($n = 256$): a) HGA-BV ir STA-1; b) HGA-BV ir STA-2

10 lentelė. Eksperimentų su komponento „SPRENDINIŲ-TĖVŲ ATRANKA“ modifikacijomis rezultatai ($n = 1024$)

m	GŽR	HGA-BV		STA-1		STA-2	
		Vidutinis nuokrypis (%)	Sėkmingų bandymų skaičius	Vidutinis nuokrypis (%)	Sėkmingų bandymų skaičius	Vidutinis nuokrypis (%)	Sėkmingų bandymų skaičius
50	2730510	0,000	10	0,000	10	0,000	0
60	4136400	0,031	0	0,022	0	0,035	0
70	5868614	0,067	0	0,079	0	0,065	0
80	7919112	0,018	0	0,016	0	0,015	1
90	10331422	0,345	0	0,369	0	0,340	0
100	13103420	0,276	0	0,276	0	0,273	0
110	16177106	0,239	0	0,244	0	0,242	0
120	19631156	0,102	0	0,083	0	0,078	0
130	23460170	0,495	0	0,530	0	0,490	0
140	27873238	0,352	0	0,334	0	0,345	0
Vidurkis:		0,193	1	0,195	1	0,188	0,1



25 pav. Vidutinis nuokrypis (%) ($n = 1024$): a) HGA-BV ir STA-1; b) HGA-BV ir STA-2

11 lentelė. Eksperimentų su komponento „KRYŽMINIMO PROCEDŪRA“ modifikacijomis rezultatai ($n = 256$, **KP-1**, **KP-2**, **KP-3**)

m	GŽR	HGA-BV		KP-1		KP-2		KP-3	
		Vidutinis nuokrypis (%)	SB	Vidutinis nuokrypis (%)	SB	Vidutinis nuokrypis (%)	SB	Vidutinis nuokrypis (%)	SB
95	48081112	0,021	4	0,011	6	0,017	5	0,005	8
96	49182368	0,057	3	0,078	1	0,085	0	0,074	0
97	50344050	0,053	1	0,048	2	0,031	4	0,046	2
98	51486642	0,079	1	0,095	0	0,086	0	0,086	0
99	52660116	0,085	0	0,074	0	0,078	0	0,071	0
100	53838088	0,076	0	0,069	0	0,077	0	0,056	1
101	55014262	0,085	0	0,079	0	0,086	0	0,076	0
102	56202826	0,081	0	0,088	0	0,078	0	0,071	0
103	57417112	0,047	0	0,052	0	0,067	0	0,051	0
104	58625240	0,026	0	0,021	0	0,034	0	0,028	0
Vidurkis:		0,061	0,9	0,062	0,9	0,064	0,9	0,056	1,1

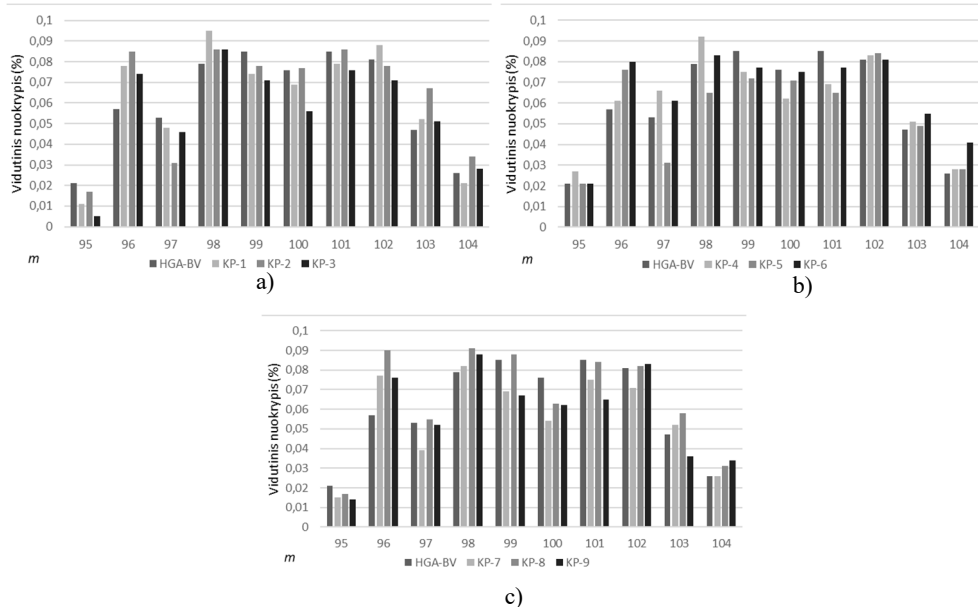
12 lentelė. Eksperimentų su komponento „KRYŽMINIMO PROCEDŪRA“ modifikacijomis rezultatai ($n = 256$, **KP-4**, **KP-5**, **KP-6**)

m	GŽR	HGA-BV		KP-4		KP-5		KP-6	
		Vidutinis nuokrypis (%)	SB	Vidutinis nuokrypis (%)	SB	Vidutinis nuokrypis (%)	SB	Vidutinis nuokrypis (%)	SB
95	48081112	0,021	4	0,027	4	0,021	3	0,021	3
96	49182368	0,057	3	0,061	3	0,076	1	0,080	1
97	50344050	0,053	1	0,066	0	0,031	4	0,061	1
98	51486642	0,079	1	0,092	0	0,065	2	0,083	1
99	52660116	0,085	0	0,075	0	0,072	0	0,077	0
100	53838088	0,076	0	0,062	1	0,071	0	0,075	0
101	55014262	0,085	0	0,069	0	0,065	0	0,077	0
102	56202826	0,081	0	0,083	0	0,084	0	0,081	0
103	57417112	0,047	0	0,051	0	0,049	0	0,055	0
104	58625240	0,026	0	0,028	0	0,028	0	0,041	0
Vidurkis:		0,061	0,9	0,061	0,8	0,056	1	0,065	0,6

13 lentelė. Eksperimentų su komponento „KRYŽMINIMO PROCEDŪRA“ modifikacijomis rezultatai ($n = 256$, KP-7, KP-8, KP-9)

m	GŽR	HGA-BV		KP-7		KP-8		KP-9	
		Vidutinis nuokrypis (%)	SB	Vidutinis nuokrypis (%)	SB	Vidutinis nuokrypis (%)	SB	Vidutinis nuokrypis (%)	SB
95	48081112	0,021	4	0,015	4	0,017	3	0,014	3
96	49182368	0,057	3	0,077	0	0,090	0	0,076	0
97	50344050	0,053	1	0,039	2	0,055	0	0,052	1
98	51486642	0,079	1	0,082	0	0,091	0	0,088	0
99	52660116	0,085	0	0,069	0	0,088	0	0,067	0
100	53838088	0,076	0	0,054	0	0,063	0	0,062	0
101	55014262	0,085	0	0,075	0	0,084	0	0,065	0
102	56202826	0,081	0	0,071	0	0,082	0	0,083	0
103	57417112	0,047	0	0,052	0	0,058	0	0,036	0
104	58625240	0,026	0	0,026	0	0,031	0	0,034	0
Vidurkis:		0,061	0,9	0,056	0,6	0,066	0,3	0,058	0,4

26 pav. Vidutinis nuokrypis (%) ($n = 256$): a) HGA-BV, KP-1, KP-2, KP-3; b) HGA-BV,



KP-4, KP-5, KP-6; c) HGA-BV, KP-7, KP-8, KP-9

14 lentelė. Eksperimentų su komponento „KRYŽMINIMO PROCEDŪRA“ modifikacijomis rezultatai ($n = 1024$, **KP-1**, **KP-2**, **KP-3**)

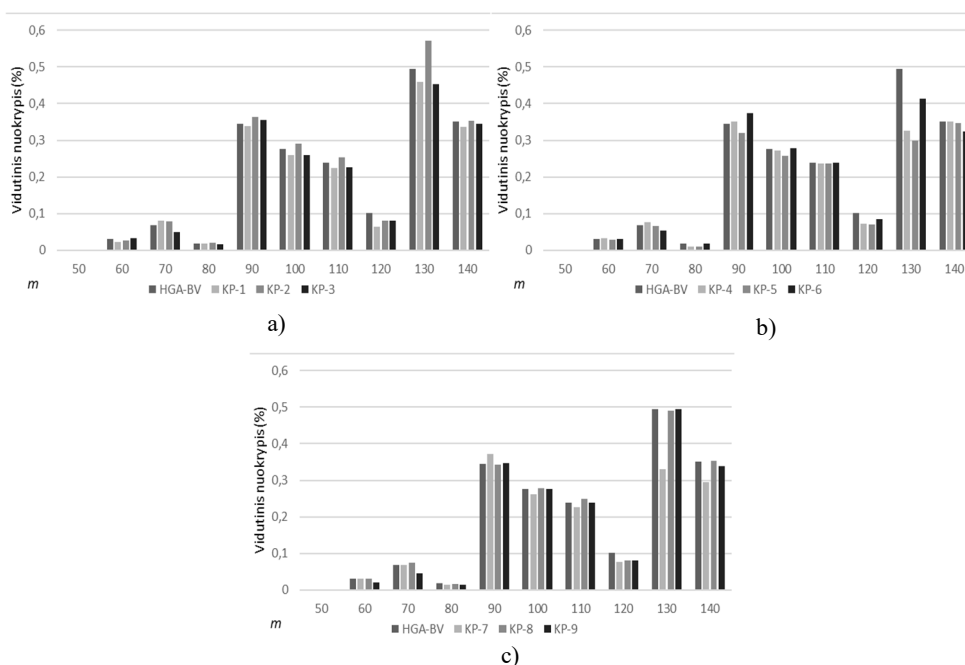
<i>m</i>	GŽR	HGA-BV		KP-1		KP-2		KP-3	
		Vidutinis nuokrypis (%)	<i>SB</i>	Vidutinis nuokrypis (%)	<i>SB</i>	Vidutinis nuokrypis (%)	<i>SB</i>	Vidutinis nuokrypis (%)	<i>SB</i>
50	2730510	0,000	10	0,000	10	0,000	10	0,000	10
60	4136400	0,031	0	0,022	0	0,027	0	0,033	0
70	5868614	0,067	0	0,081	0	0,079	0	0,050	0
80	7919112	0,018	0	0,017	0	0,019	0	0,015	0
90	10331422	0,345	0	0,338	0	0,363	0	0,355	0
100	13103420	0,276	0	0,260	0	0,291	0	0,260	0
110	16177106	0,239	0	0,225	0	0,254	0	0,227	0
120	19631156	0,102	0	0,063	0	0,080	0	0,081	0
130	23460170	0,495	0	0,460	0	0,571	0	0,454	0
140	27873238	0,352	0	0,336	0	0,354	0	0,344	0
Vidurkis:		0,193	1	0,18	1	0,204	1	0,182	1

15 lentelė. Eksperimentų su komponento „KRYŽMINIMO PROCEDŪRA“ modifikacijomis rezultatai ($n = 1024$, **KP-4**, **KP-5**, **KP-6**)

<i>m</i>	GŽR	HGA-BV		KP-4		KP-5		KP-6	
		Vidutinis nuokrypis (%)	<i>SB</i>	Vidutinis nuokrypis (%)	<i>SB</i>	Vidutinis nuokrypis (%)	<i>SB</i>	Vidutinis nuokrypis (%)	<i>SB</i>
50	2730510	0,000	10	0,000	10	0,000	0	0,000	10
60	4136400	0,031	0	0,033	0	0,028	0	0,030	0
70	5868614	0,067	0	0,077	0	0,065	0	0,053	0
80	7919112	0,018	0	0,009	1	0,009	1	0,018	0
90	10331422	0,345	0	0,350	0	0,319	0	0,373	0
100	13103420	0,276	0	0,271	0	0,258	0	0,278	0
110	16177106	0,239	0	0,237	0	0,237	0	0,238	0
120	19631156	0,102	0	0,073	0	0,070	0	0,084	0
130	23460170	0,495	0	0,325	0	0,299	0	0,413	0
140	27873238	0,352	0	0,350	0	0,346	0	0,323	0
Vidurkis:		0,193	1	0,173	1,1	0,163	0,1	0,181	1

16 lentelė. Eksperimentų su komponento „KRYŽMINIMO PROCEDŪRA“ modifikacijomis rezultatai ($n = 1024$, **KP-7**, **KP-8**, **KP-9**)

m	GŽR	HGA-BV		KP-7		KP-8		KP-9	
		Vidutinis nuokrypis (%)	SB	Vidutinis nuokrypis (%)	SB	Vidutinis nuokrypis (%)	SB	Vidutinis nuokrypis (%)	SB
50	2730510	0,000	10	0,000	10	0,000	10	0,000	10
60	4136400	0,031	0	0,030	0	0,030	0	0,019	0
70	5868614	0,067	0	0,067	0	0,075	0	0,045	0
80	7919112	0,018	0	0,013	1	0,016	1	0,013	0
90	10331422	0,345	0	0,372	0	0,343	0	0,347	0
100	13103420	0,276	0	0,262	0	0,278	0	0,277	0
110	16177106	0,239	0	0,227	0	0,250	0	0,238	0
120	19631156	0,102	0	0,077	0	0,080	0	0,080	0
130	23460170	0,495	0	0,331	0	0,490	0	0,494	0
140	27873238	0,352	0	0,294	0	0,353	0	0,339	0
Vidurkis:		0,193	1	0,167	1,1	0,192	1,1	0,185	1



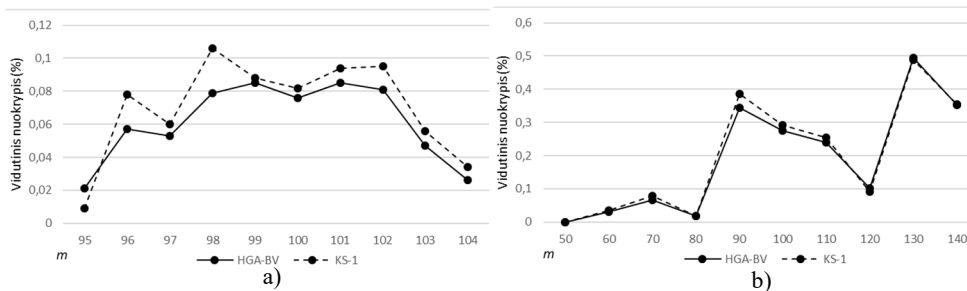
27 pav. Vidutinis nuokrypis (%) ($n = 1024$): a) HGA-BV, KP-1, KP-2, KP-3; b) HGA-BV, KP-4, KP-5, KP-6; c) HGA-BV, KP-7, KP-8, KP-9

17 lentelė. Eksperimentų su komponento „KRYŽMINIMŲ SKAIČIUS“ modifikacijomis rezultatai ($n = 256$)

m	GŽR	HGA-BV		KS-1	
		Vidutinis nuokrypis (%)	Sėkmingų bandymų skaičius	Vidutinis nuokrypis (%)	Sėkmingų bandymų skaičius
95	48081112	0,021	4	0,009	2
96	49182368	0,057	3	0,078	0
97	50344050	0,053	1	0,060	1
98	51486642	0,079	1	0,106	0
99	52660116	0,085	0	0,088	0
100	53838088	0,076	0	0,082	0
101	55014262	0,085	0	0,094	0
102	56202826	0,081	0	0,095	0
103	57417112	0,047	0	0,056	0
104	58625240	0,026	0	0,034	0
Vidurkis:		0,061	0,9	0,070	0,3

18 lentelė. Eksperimentų su komponento „KRYŽMINIMŲ SKAIČIUS“ modifikacijomis rezultatai ($n = 1024$)

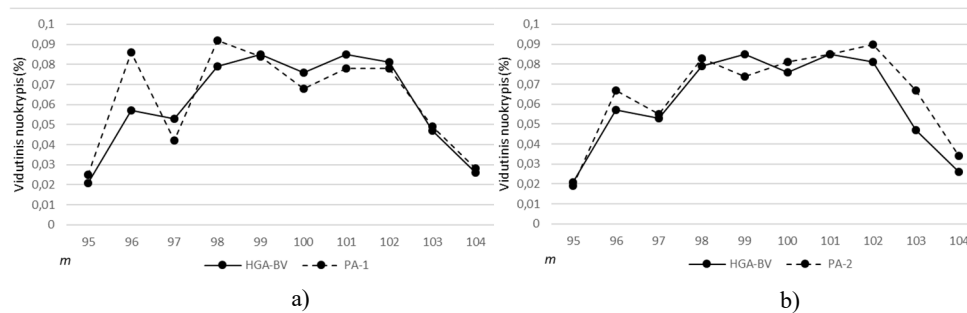
m	GŽR	HGA-BV		KS-1	
		Vidutinis nuokrypis (%)	Sėkmingų bandymų skaičius	Vidutinis nuokrypis (%)	Sėkmingų bandymų skaičius
50	2730510	0,000	10	0,000	10
60	4136400	0,031	0	0,034	0
70	5868614	0,067	0	0,079	0
80	7919112	0,018	0	0,019	0
90	10331422	0,345	0	0,385	0
100	13103420	0,276	0	0,291	0
110	16177106	0,239	0	0,254	0
120	19631156	0,102	0	0,092	0
130	23460170	0,495	0	0,489	0
140	27873238	0,352	0	0,354	0
Vidurkis:		0,193	1	0,200	1



28 pav. Vidutinis nuokrypis (%): a) $n = 256$, HGA-BV, KS-1; b) $n = 1024$, HGA-BV, KS-1

19 lentelė. Eksperimentų su komponento „POPULIACIJOS ATNAUJINIMAS“ modifikacijomis rezultatai ($n = 256$, HGA-BV, PA-1, PA-2)

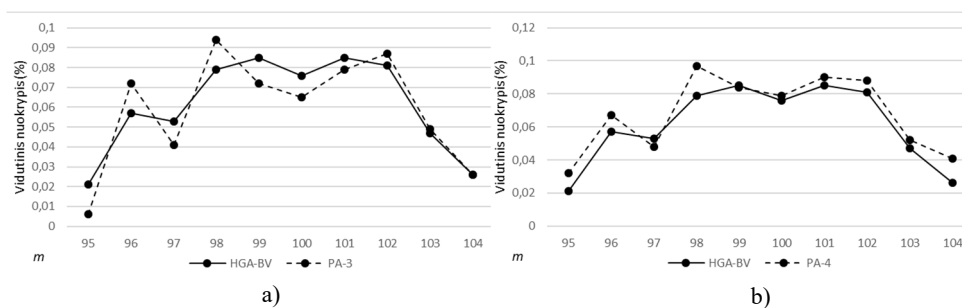
m	GŽR	HGA-BV		PA-1		PA-2	
		Vidutinis nuokrypis (%)	Sėkmingų bandymų skaičius	Vidutinis nuokrypis (%)	Sėkmingų bandymų skaičius	Vidutinis nuokrypis (%)	Sėkmingų bandymų skaičius
95	48081112	0,021	4	0,025	4	0,019	4
96	49182368	0,057	3	0,086	0	0,067	1
97	50344050	0,053	1	0,042	2	0,055	1
98	51486642	0,079	1	0,092	0	0,083	1
99	52660116	0,085	0	0,084	0	0,074	0
100	53838088	0,076	0	0,068	0	0,081	0
101	55014262	0,085	0	0,078	0	0,085	0
102	56202826	0,081	0	0,078	0	0,090	0
103	57417112	0,047	0	0,049	0	0,067	0
104	58625240	0,026	0	0,028	0	0,034	0
Vidurkis:		0,061	0,9	0,063	0,6	0,066	0,7



29 pav. Vidutinis nuokrypis (%) ($n = 256$): a) HGA-BV ir PA-1; b) HGA-BV ir PA-2

20 lentelė. Eksperimentų su komponento „POPULIACIJOS ATNAUJINIMAS“ modifikacijomis rezultatai ($n = 256$, HGA-BV, PA-3, PA-4)

m	GŽR	HGA-BV		PA-3		PA-4	
		Vidutinis nuokrypis (%)	Sėkmingų bandymų skaičius	Vidutinis nuokrypis (%)	Sėkmingų bandymų skaičius	Vidutinis nuokrypis (%)	Sėkmingų bandymų skaičius
95	48081112	0,021	4	0,006	6	0,032	3
96	49182368	0,057	3	0,072	1	0,067	2
97	50344050	0,053	1	0,041	2	0,048	1
98	51486642	0,079	1	0,094	0	0,097	0
99	52660116	0,085	0	0,072	0	0,084	0
100	53838088	0,076	0	0,065	0	0,079	0
101	55014262	0,085	0	0,079	0	0,090	0
102	56202826	0,081	0	0,087	0	0,088	0
103	57417112	0,047	0	0,049	0	0,052	0
104	58625240	0,026	0	0,026	0	0,041	0
Vidurkis:		0,061	0,9	0,059	0,9	0,068	0,6



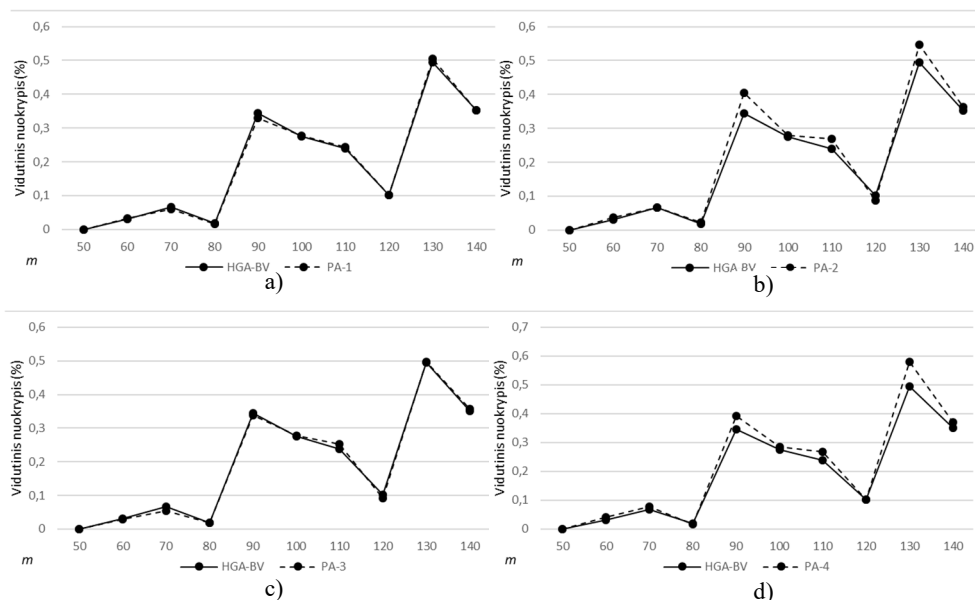
30 pav. Vidutinis nuokrypis (%) ($n = 256$): a) HGA-BV ir PA-3; b) HGA-BV ir PA-4

21 lentelė. Eksperimentų su komponento „POPULIACIJOS ATNAUJINIMAS“ modifikacijomis rezultatai ($n = 1024$, **HGA-BV**, **PA-1**, **PA-2**)

<i>m</i>	GŽR	HGA-BV		PA-1		PA-2	
		Vidutinis nuokrypis (%)	Sėkmingų bandymų skaičius	Vidutinis nuokrypis (%)	Sėkmingų bandymų skaičius	Vidutinis nuokrypis (%)	Sėkmingų bandymų skaičius
50	2730510	0,000	10	0,000	10	0,000	10
60	4136400	0,031	0	0,032	0	0,037	0
70	5868614	0,067	0	0,060	0	0,067	0
80	7919112	0,018	0	0,016	0	0,022	0
90	10331422	0,345	0	0,329	0	0,404	0
100	13103420	0,276	0	0,278	0	0,279	0
110	16177106	0,239	0	0,244	0	0,268	0
120	19631156	0,102	0	0,102	0	0,087	0
130	23460170	0,495	0	0,506	0	0,546	0
140	27873238	0,352	0	0,352	0	0,364	0
Vidurkis:		0,193	1	0,192	1	0,207	1

22 lentelė. Eksperimentų su komponento „POPULIACIJOS ATNAUJINIMAS“ modifikacijomis rezultatai ($n = 1024$, **HGA-BV**, **PA-3**, **PA-4**)

<i>m</i>	GŽR	HGA-BV		PA-3		PA-4	
		Vidutinis nuokrypis (%)	Sėkmingų bandymų skaičius	Vidutinis nuokrypis (%)	Sėkmingų bandymų skaičius	Vidutinis nuokrypis (%)	Sėkmingų bandymų skaičius
50	2730510	0,000	10	0,000	10	0,000	10
60	4136400	0,031	0	0,029	0	0,040	0
70	5868614	0,067	0	0,053	0	0,078	0
80	7919112	0,018	0	0,018	1	0,016	0
90	10331422	0,345	0	0,339	0	0,392	0
100	13103420	0,276	0	0,278	0	0,286	0
110	16177106	0,239	0	0,252	0	0,269	0
120	19631156	0,102	0	0,091	0	0,103	0
130	23460170	0,495	0	0,498	0	0,581	0
140	27873238	0,352	0	0,358	0	0,370	0
Vidurkis:		0,193	1	0,192	1,1	0,214	1



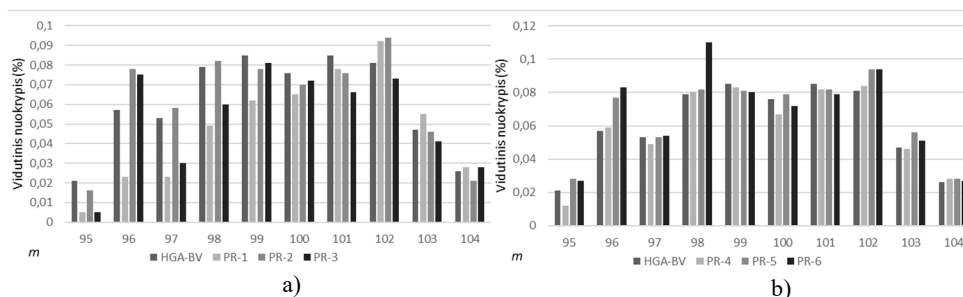
31 pav. Vidutinis nuokrypis (%) ($n = 1024$): a) HGA-BV ir PA-1; b) HGA-BV ir PA-2; c) HGA-BV ir PA-3; d) HGA-BV ir PA-4

23 lentelė. Eksperimentų su komponento „POPULIACIJOS PERTVARKYMAS“ modifikacijomis rezultatai ($n = 256$, HGA-BV, PR-1, PR-2, PR-3)

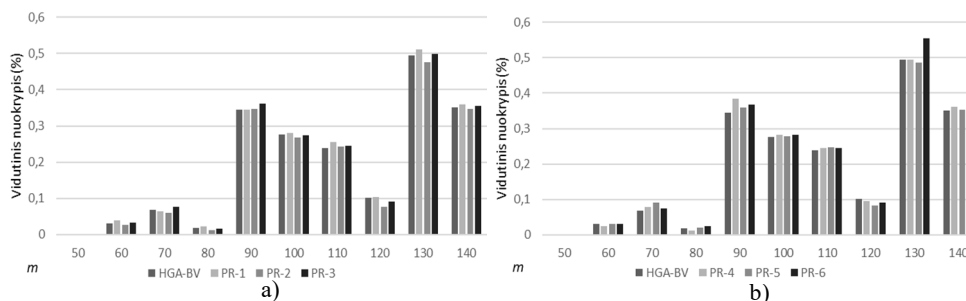
m	GŽR	HGA-BV		PR-1		PR-2		PR-3	
		Vidutinis nuokrypis (%)	SB	Vidutinis nuokrypis (%)	SB	Vidutinis nuokrypis (%)	SB	Vidutinis nuokrypis (%)	SB
95	48081112	0,021	4	0,005	8	0,016	4	0,005	7
96	49182368	0,057	3	0,023	7	0,078	0	0,075	0
97	50344050	0,053	1	0,023	5	0,058	1	0,030	4
98	51486642	0,079	1	0,049	4	0,082	0	0,060	6
99	52660116	0,085	0	0,062	1	0,078	0	0,081	0
100	53838088	0,076	0	0,065	1	0,070	0	0,072	0
101	55014262	0,085	0	0,078	0	0,076	0	0,066	0
102	56202826	0,081	0	0,092	0	0,094	0	0,073	0
103	57417112	0,047	0	0,055	0	0,046	0	0,041	0
104	58625240	0,026	0	0,028	0	0,021	0	0,028	0
Vidurkis:		0,061	0,9	0,048	2,6	0,062	0,5	0,053	1,7

24 lentelė. Eksperimentų su komponento „POPULIACIJOS PERTVARKYMAS“ modifikacijomis rezultatai ($n = 256$, **HGA-BV**, **PR-4**, **PR-5**, **PR-6**)

m	GŽR	HGA-BV		PR-4		PR-5		PR-6	
		Vidutinis nuokrypis (%)	<i>SB</i>	Vidutinis nuokrypis (%)	<i>SB</i>	Vidutinis nuokrypis (%)	<i>SB</i>	Vidutinis nuokrypis (%)	<i>SB</i>
95	48081112	0,021	4	0,012	6	0,028	3	0,027	4
96	49182368	0,057	3	0,059	3	0,077	0	0,083	0
97	50344050	0,053	1	0,049	1	0,053	1	0,054	1
98	51486642	0,079	1	0,080	0	0,082	1	0,110	0
99	52660116	0,085	0	0,083	0	0,081	0	0,080	0
100	53838088	0,076	0	0,067	0	0,079	0	0,072	0
101	55014262	0,085	0	0,082	0	0,082	0	0,079	0
102	56202826	0,081	0	0,084	0	0,094	0	0,094	0
103	57417112	0,047	0	0,046	0	0,056	0	0,051	0
104	58625240	0,026	0	0,028	0	0,028	0	0,027	0
Vidurkis:		0,061	0,9	0,059	1	0,066	0,5	0,068	0,5



32 pav. Vidutinis nuokrypis (%) ($n = 256$): a) **HGA-BV**, **PR-1**, **PR-2**, **PR-3**; b) **HGA-BV**, **PR-4**, **PR-5**, **PR-6**



33 pav. Vidutinis nuokrypis (%) ($n = 1024$): a) **HGA-BV**, **PR-1**, **PR-2**, **PR-3**; b) **HGA-BV**, **PR-4**, **PR-5**, **PR-6**

25 lentelė. Eksperimentų su komponento „POPULIACIJOS PERTVARKYMAS“ modifikacijomis rezultatai ($n = 1024$, **HGA-BV**, **PR-1**, **PR-2**, **PR-3**)

<i>m</i>	GŽR	HGA-BV		PR-1		PR-2		PR-3	
		Vidutinis nuokrypis (%)	<i>SB</i>	Vidutinis nuokrypis (%)	<i>SB</i>	Vidutinis nuokrypis (%)	<i>SB</i>	Vidutinis nuokrypis (%)	<i>SB</i>
50	2730510	0,000	10	0,000	10	0,000	10	0,000	10
60	4136400	0,031	0	0,038	0	0,026	0	0,033	0
70	5868614	0,067	0	0,063	0	0,060	0	0,076	0
80	7919112	0,018	0	0,023	0	0,012	0	0,015	0
90	10331422	0,345	0	0,345	0	0,347	0	0,362	0
100	13103420	0,276	0	0,281	0	0,268	0	0,274	0
110	16177106	0,239	0	0,255	0	0,243	0	0,244	0
120	19631156	0,102	0	0,103	0	0,076	0	0,091	0
130	23460170	0,495	0	0,511	0	0,476	0	0,498	0
140	27873238	0,352	0	0,360	0	0,347	0	0,356	0
Vidurkis:		0,193	1	0,198	1	0,186	1	0,195	1

26 lentelė. Eksperimentų su komponento „POPULIACIJOS PERTVARKYMAS“ modifikacijomis rezultatai ($n = 1024$, **HGA-BV**, **PR-4**, **PR-5**, **PR-6**)

<i>m</i>	GŽR	HGA-BV		PR-4		PR-5		PR-6	
		Vidutinis nuokrypis (%)	<i>SB</i>	Vidutinis nuokrypis (%)	<i>SB</i>	Vidutinis nuokrypis (%)	<i>SB</i>	Vidutinis nuokrypis (%)	<i>SB</i>
50	2730510	0,000	10	0,000	10	0,000	10	0,000	10
60	4136400	0,031	0	0,025	0	0,031	0	0,031	0
70	5868614	0,067	0	0,078	0	0,090	0	0,074	0
80	7919112	0,018	0	0,011	0	0,020	0	0,024	0
90	10331422	0,345	0	0,385	0	0,359	0	0,367	0
100	13103420	0,276	0	0,283	0	0,279	0	0,282	0
110	16177106	0,239	0	0,245	0	0,247	0	0,244	0
120	19631156	0,102	0	0,094	0	0,082	0	0,091	0
130	23460170	0,495	0	0,494	0	0,486	0	0,556	0
140	27873238	0,352	0	0,361	0	0,354	0	0,370	0
Vidurkis:		0,193	1	0,198	1	0,195	1	0,204	1

27–28 lent. pateikiami apibendrinti rezultatai, rodantys populiacijos pertvarkymų vidutinį skaičių per 10 algoritmo vykdymų. Pateikiami bazinio algoritmo varianto (**HGA-BV**) ir kiekvieno komponento vienos modifikacijos (pasirinktos atvaizduoti pirmos modifikacijos, išskyrus komponentą „POPULIACIJOS PERTVARKYMAS“, nes šio komponento pirmoje modifikacijoje

netaikomas joks populiacijos pertvarkymas) rezultatai (**PP-1**, **LP-1**, **STA-1**, **KP-1**, **KS-1**, **PA-1**, **PR-2**).

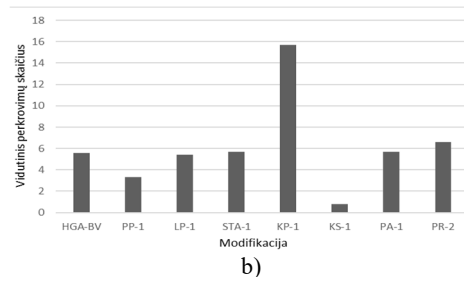
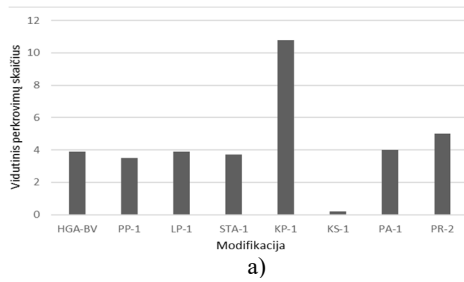
27 lentelė. Vidutinis populiacijos pertvarkymų skaičius¹¹ ($n = 256$)

	HGA-BV	PP-1	LP-1	STA-1	KP-1	KS-1	PA-1	PR-2
95	3,00	3,10	2,60	1,90	6,80	0,10	3,00	3,10
96	3,00	3,30	3,80	4,40	12,10	0,00	4,70	4,30
97	3,90	3,20	3,10	2,50	11,70	0,00	4,10	4,30
98	4,20	3,10	3,90	4,20	14,20	0,10	4,20	5,10
99	4,10	3,40	4,00	4,80	12,50	0,40	4,00	5,10
100	4,70	3,40	4,50	4,30	13,00	0,40	4,70	5,50
101	5,00	3,50	4,60	4,30	11,60	0,40	3,90	5,30
102	4,10	3,80	4,30	3,90	9,70	0,10	3,50	4,80
103	3,50	4,10	4,20	3,20	8,00	0,00	3,90	5,20
104	3,60	4,10	4,00	3,20	8,50	0,10	3,70	4,40
Vidurkis:	3,90	3,50	3,90	3,70	10,80	0,20	4,00	5,00

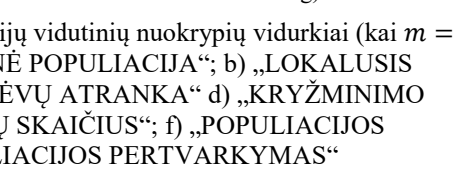
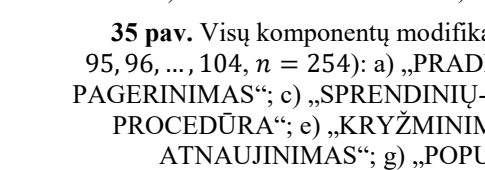
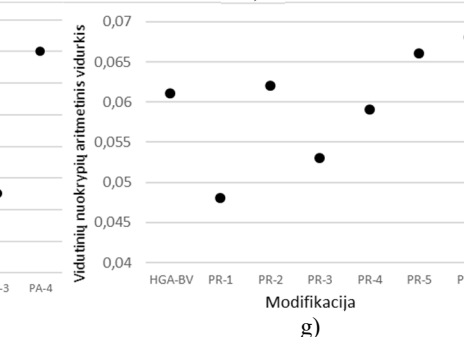
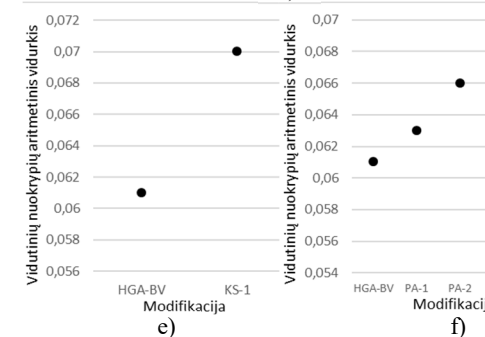
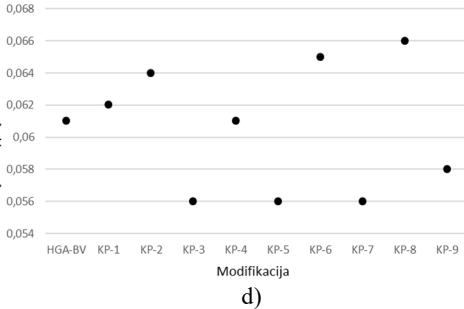
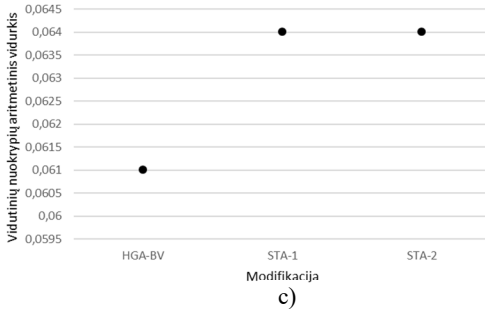
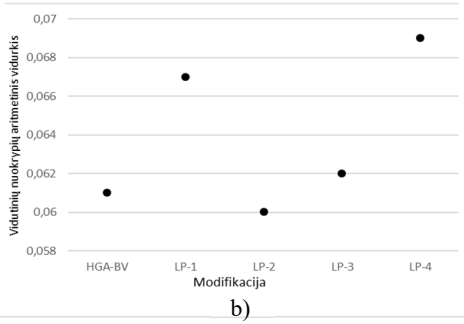
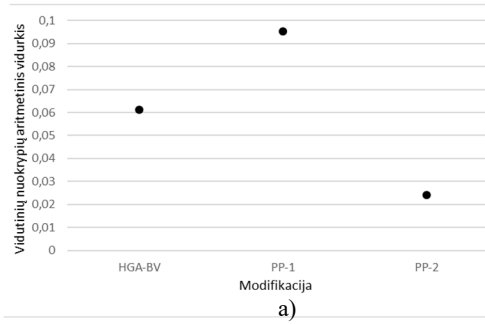
28 lentelė. Vidutinis populiacijos pertvarkymų skaičius ($n = 1024$)

	HGA-BV	PP-1	LP-1	STA-1	KP-1	KS-1	PA-1	PR-2
50	0,00	1,70	0,10	0,00	0,00	0,00	0,00	0,00
60	6,40	3,80	6,00	6,00	16,60	0,80	6,20	7,60
70	7,00	3,60	6,10	7,20	19,60	1,10	7,30	8,50
80	5,30	3,40	5,30	5,20	12,40	0,70	4,50	9,10
90	5,40	3,70	6,30	5,70	17,00	0,90	6,20	6,30
100	5,70	3,30	4,90	5,30	16,30	0,50	6,10	5,20
110	6,00	3,40	6,10	6,50	17,30	0,80	5,80	6,10
120	7,30	3,30	6,60	7,30	19,80	1,10	7,30	8,80
130	7,00	3,30	7,00	8,00	19,40	0,90	8,00	7,70
140	5,70	3,20	5,40	6,10	18,80	0,90	5,70	6,70
Vidurkis:	5,60	3,30	5,40	5,70	15,70	0,80	5,70	6,60

¹¹ Vidutinis populiacijos pertvarkymų skaičius vieno algoritmo paleidimo metu.

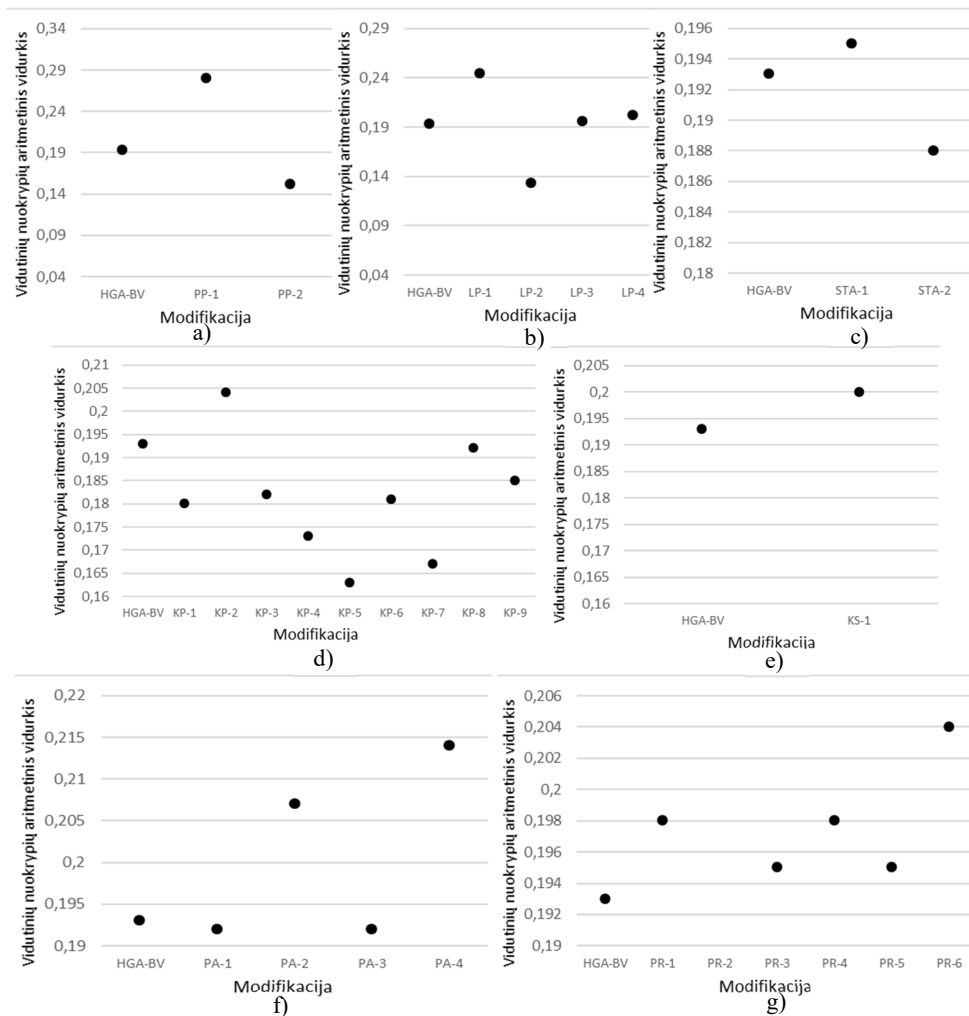


34 pav. Vidutinis pertvarkymų skaičius ($n = 1024$) vykdant algoritmo modifikacijas **HGA-BV**, **PV-1**, **LP-1**, **STA-1**, **KP-1**, **KS-1**, **PA-1**, **PR-2**: a) $n = 256$; b) $n = 1024$



35 pav. Visų komponentų modifikacijų vidutinių nuokrypių vidurkiai (kai $m = 95, 96, \dots, 104, n = 254$): a) „PRADINĖ POPULIACIJA“; b) „LOKALUSIS PAGERINIMAS“; c) „SPRENDINIŲ-TĖVŲ ATRANKA“ d) „KRYŽMINIMO PROCEDŪRA“; e) „KRYŽMINIMŲ SKAIČIUS“; f) „POPULIACIJOS ATNAUJINIMAS“; g) „POPULIACIJOS PERTVARKYMAS“

35, 36 pav. pateikiami visų komponentų modifikacijų (su visomis tirtomis m reikšmėmis) vidutinių nuokrypių nuo geriausios žinomos tikslo funkcijos reikšmės vidurkiai, kai uždavinio dydis yra $n = 256$ ir $n = 1024$.



36 pav. Visų komponentų modifikacijų vidutinių nuokrypių vidurkiai (kai $m = 50, 60, \dots, 140, n = 1024$): a) „PRADINĖ POPULIACIJA“; b) „LOKALUSIS PAGERINIMAS“; c) „SPRENDINIŲ-TĖVŲ ATRANKA“ d) „KRYŽMINIMO PROCEDŪRA“; e) „KRYŽMINIMŲ SKAIČIUS“; f) „POPULIACIJOS ATNAUJINIMAS“; g) „POPULIACIJOS PERTVARKYMAS“

Buvo atliktas komponentų rinkinių eksperimentinis tyrimas. 29, 30 lent., 37, 38 pav. pateikiami rezultatai su komponentų rinkiniais, kurių eksperimentinio tyrimo rezultatai geriausi (daugiau rezultatų pateikiama publikacijoje [86]). Rinkiniai sudaryti iš šių komponentų: 1) **STA-2, KP-6, KS-1, LP-2, PR-2**; 2) **STA-2, KP-5, KS-1, LP-2, PR-2**; 3) **STA-2, KP-5, KS-3** (šiuo atveju panaudota papildoma komponento „KRYŽMINIMŲ SKAIČIUS“ modifikacija – vienos

generacijos metu panaudotas padidintas kryžminimų skaičius, lygus *PS*; čia *PS* – populiacijos dydis (lygus 20)), **LP-2**, **PR-2**. Visais atvejais naudota padidinta ir pagerinta pradinė populiacija (**PP-2**).

29 lentelė. Eksperimentų su komponentų modifikacijų rinkiniais rezultatai ($n = 256$)

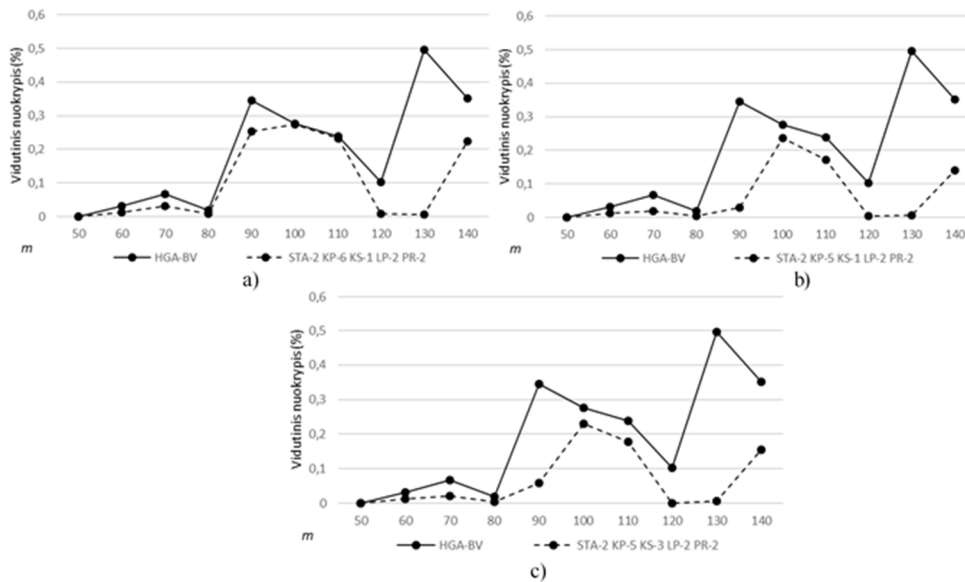
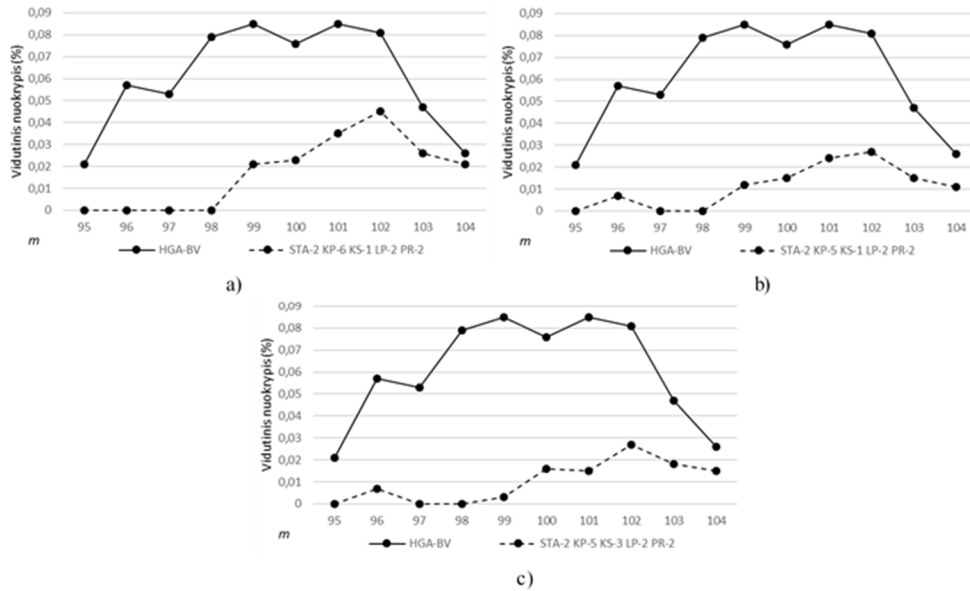
<i>m</i>	GŽR	HGA-BV		STA-2, KP-6, KS-1, LP-2, PR-2		STA-2, KP-5, KS-1, LP-2, PR-2		STA-2, KP-5, KS-3, * LP-2, PR-2**	
		Vidutinis nuokrypis (%)	<i>SB</i>	Vidutinis nuokrypis (%)	<i>SB</i>	Vidutinis nuokrypis (%)	<i>SB</i>	Vidutinis nuokrypis (%)	<i>SB</i>
95	48081112	0,021	4	0,000	10	0,000	10	0,000	10
96	49182368	0,057	3	0,000	10	0,007	9	0,007	9
97	50344050	0,053	1	0,000	10	0,000	10	0,000	10
98	51486642	0,079	1	0,000	10	0,000	10	0,000	10
99	52660116	0,085	0	0,021	5	0,012	8	0,003	9
100	53838088	0,076	0	0,023	3	0,015	5	0,016	4
101	55014262	0,085	0	0,035	1	0,024	2	0,015	5
102	56202826	0,081	0	0,045	0	0,027	4	0,027	4
103	57417112	0,047	0	0,026	0	0,015	4	0,018	3
104	58625240	0,026	0	0,021	0	0,011	3	0,015	2
Vidurkis:		0,061	0,9	0,017	4,9	0,011	6,5	0,010	6,6

* – kryžminimų skaičius lygus *PS*;

** – naudotas padidintas TS iteracijų skaičius, $\tau = 200$.

30 lentelė. Eksperimentų su komponentų modifikacijų rinkiniais rezultatai ($n = 1024$)

<i>m</i>	GŽR	HGA-BV		STA-2, KP-6, KS-1, LP-2, PR-2		STA-2, KP-5, KS-1, LP-2, PR-2		STA-2, KP-5, KS-3, LP-2, PR-2	
		Vidutinis nuokrypis (%)	<i>SB</i>	Vidutinis nuokrypis (%)	<i>SB</i>	Vidutinis nuokrypis (%)	<i>SB</i>	Vidutinis nuokrypis (%)	<i>SB</i>
50	2730510	0,000	10	0,000	10	0,000	10	0,000	10
60	4136400	0,031	0	0,012	0	0,012	0	0,012	0
70	5868614	0,067	0	0,032	1	0,018	2	0,021	0
80	7919112	0,018	0	0,008	0	0,005	2	0,004	0
90	10331422	0,345	0	0,253	0	0,029	0	0,058	0
100	13103420	0,276	0	0,275	0	0,237	0	0,231	0
110	16177106	0,239	0	0,233	0	0,171	0	0,177	0
120	19631156	0,102	0	0,009	2	0,005	2	0,001	5
130	23460170	0,495	0	0,007	1	0,007	0	0,007	0
140	27873238	0,352	0	0,223	0	0,140	0	0,155	0
Vidurkis:		0,193	1,0	0,105	1,4	0,062	1,6	0,067	1,5



3.4. Eksperimentinių tyrimų apibendrinamosios pastabos

Eksperimentiniai tyrimai (kai $n = 256$) parodė, kad HGA yra kur kas geresnis nei lygintas PGEA, išskyrus kelis atvejus, kai $m = 26, 101, 102, 103$. HGA vykdymo laikas ypač trumpas, kai m kinta nuo 30 iki 100 (15 pav.). Toks trumpas algoritmo vykdymo laikas rodo, kad HGA sugeba pasiekti galimai optimalias reikšmes jau ankstyvoje algoritmo stadijoje, sukonstravus pradinę populiaciją ir pritaikius tik HITP. Labai tikėtina, kad HGA efektyvumą būtų galima dar padidinti nustatant tinkamesnes pradines parametrų reikšmes.

Reikia pažymėti, kad didelio dydžio uždavinys ($n = 1024$) yra gerokai sudėtingesnis ir jo sprendimas užėmė daugiau laiko. Vis dėlto pavyko pasiekti geresnes tikslo funkcijos reikšmes su daugiau nei 190 m reikšmių (4 lent.). Šiuo atveju CP veikimo laikas nebuvo fiksuojamas. Visos likusios reikšmės (kurių nepavyko pagerinti) yra iš Misevičiaus, Guogio ir Stanevičienės straipsnio [19].

Atlikti papildomi eksperimentai su komponentų modifikacijų rinkiniais, sprendžiant didelio dydžio uždavinį ($n = 1024$), leido pagerinti geriausias iki šiol žinomas tikslo funkcijos reikšmes dar 91 kartą. Šie rezultatai pateikiami straipsnyje [87].

Tiriant komponentą „PRADINĖ POPULIACIJA“ nustatyta, kad akivaizdžiai tikslinga naudoti ne tik pagerintą, bet ir padidintą pradinę populiaciją (**PP-2**).

Tiriant komponentą „LOKALUSIS PAGERINIMAS“ nustatyta, kad pranašesnis yra variantas, kai didinamas tabu paieškos iteracijų skaičius (**LP-2**).

Komponento „SPRENDINIŲ-TĖVŲ ATRANKA“ tyrimas parodė, kad santykinai geresnė yra sprendinių rangu pagrįsta atrankos procedūra (**STA-2**).

Atlikus eksperimentus su komponentu „KRYŽMINIMO PROCEDŪRA“ PŠF uždaviniui, paaiškėjo, kad geri rezultatai gaunami ir nenaudojant priešingųjų (opozicinių) palikuonių. Pakanka tradicinių kryžminimo variantų, kai sugeneruojamas vienas palikuonis. Santykinai geresni rezultatai gauti vykdant dažnumu paremtą godųjį kryžminimą (**KP-1**), godųjį kryžminimą (**KP-3**) ir euristinį kryžminimą (**KP-5**).

Tiriant komponentą „KRYŽMINIŲ SKAIČIUS“ nustatyta, kad santykinai geresnis yra variantas, kai sukuriamas nepadidintas skaičius palikuonių (**KS-2**), t. y. atliekamas vienas kryžminimas.

Eksperimentų su komponentu „POPULIACIJOS ATNAUJINIMAS“ rezultatai parodė, kad bazinis algoritmo variantas (**HGA-BV**) yra pakankamai geras. Taip pat geras variantas, kai palikuonis pakeičia blogesnįjį tėvą (jeigu palikuonis geresnis už blogesnįjį tėvą) (**PA-3**).

Atlikus eksperimentus su komponentu „POPULIACIJOS PERTVARKYMAS“, matyti, kad geri rezultatai gaunami ir netaikant populiacijos pertvarkymo (**PR-1**). Netikslinga populiacijos pertvarkymo metu taikyti didelio masto populiacijos „sugriovimą“ arba populiacijos generavimą iš naujo. Geriau taikyti multimutacija paremtą populiacijos pertvarkymą (**PR-2**), kai mutacijos lygis yra gana žemas.

Mažiausias vidutinis nuokrypis 0,024 ($n = 256$) rastas, kai eksperimentai buvo atlikti su komponento „PRADINĖ POPULIACIJA“ modifikacija **PP-2**. Kai

uždavinio dydis $n = 1024$, mažiausias vidutinis nuokrypis 0,133 buvo su komponento „LOKALUSIS PAGERINIMAS“ modifikacija **LP-2**.

Vidutinis nuokrypis visoms testuotoms m reikšmėms buvo 0,061, kai uždavinio dydis $n = 256$, ir 0,193, kai uždavinio dydis $n = 1024$.

Geriausia žinoma reikšmė buvo surasta visų algoritmo 10 vykdymų metu, kai $m = 95, 97, n = 256$, ir $m = 50, n = 1024$.

Atlikus eksperimentinius tyrimus su komponentų modifikacijų rinkiniais, matyti, kad, nagrinėjant originalias (naujas) komponentų kombinacijas (konfigūracijas), galima siekti dar geresnių rezultatų. Geriausius rezultatus pavyko gauti su komponentų modifikacijų rinkiniais: **STA-2, KP-5, KS-3, LP-2, PR-2** (kai $n = 256$) ir **STA-2, KP-5, KS-1, LP-2, PR-2** (kai $n = 1024$).

Eksperimentų su komponentų modifikacijų rinkiniais rezultatų vidutinis nuokrypis nuo GŽR visoms testuotoms m reikšmėms buvo 0,013, kai uždavinio dydis $n = 256$, ir 0,078, kai uždavinio dydis $n = 1024$.

Geriausia žinoma reikšmė, kai eksperimentai buvo atlikti su komponentų modifikacijų rinkiniais, buvo surasta visų algoritmo 10 vykdymų metu, kai $m = 95, 96, 97, 98, n = 256$, ir, kai $m = 50, n = 1024$.

3.5. Trečiojo skyriaus išvados

1. Pasiūlytas HGA buvo sėkmingai pritaikytas PŠF uždaviniui. Atliktų eksperimentų rezultatai leidžia daryti išvadą, kad HGA yra efektyvus tiek sprendinių kokybės, tiek vykdymo laiko požiūriu.
2. HGA bazinio varianto eksperimentai parodė, kad tikslinga atlikti išsamesnius algoritmo atskirų komponentų modifikacijų tyrimus siekiant rasti geriausią algoritmo variantą.

Atlikti eksperimentai su skirtingomis algoritmo komponentų modifikacijomis rodo, kad:

- tikslinga naudoti pagerintą ir padidintą pradinę populiaciją;
- geresni rezultatai gaunami, kai didinamas tabu paieškos iteracijų skaičius;
- santykinai geresnė yra sprendinių rangų pagrįsta sprendinių-tėvų atrankos procedūra;
- nustatyta, jog geresnius rezultatus leidžia gauti dažnumu paremtas godusis kryžminimas, godusis kryžminimas ir euristinis kryžminimas;
- efektyviau, kai taikomas operatyvus populiacijos atnaujinimas (t. y. vienoje generacijoje – vienas kryžminimas);
- patartina rinktis variantą, kai palikuonis pakeičia blogesnįjį tėvą; be to, turi būti patenkintas minimalaus atstumo kriterijus palikuonių įvairovei užtikrinti;
- perspektyvu taikyti multimutacija paremtą populiacijos pertvarkymą (populiacijos „invaziją“), kai populiacijos individų mutacijos lygis yra neaukštas.

BENDROSIOS IŠVADOS

1. Atlikta išsami literatūros apžvalga parodė, kad hibridinių algoritmų taikymas sprendžiant sunkius kombinatorinius uždavinius yra efektyvus būdas surasti geros kokybės (galimai optimalius) sprendinius per priimtina vykdymo laiką.
2. Pasiūlytas ir realizuotas inovatyvus hibridinis genetinis algoritmas (HGA). Esminės HGA savybės: a) algoritme įkomponuota hierarchinė iteratyvioji tabu paieška; b) panaudojama labai geros kokybės diversifikuotų sprendinių populiacija; c) pritaikytas efektyvus tabu paieškos ir godžiojo adaptyviojo sprendinių pertvarkymo kombinavimas.
3. Atliktas HGA efektyvumo eksperimentinis tyrimas leidžia daryti išvadą, kad HGA yra efektyvesnis laiko (kai lyginamieji eksperimentai atlikti su vidutinio dydžio uždaviniu, $n = 256$) ir sprendinių kokybės atžvilgiu (kai lyginamieji eksperimentai atlikti su dideliu uždaviniu, $n = 1024$) už iki šiol žinomus algoritmus, skirtus spręsti PŠF uždaviniui.
Atlikus eksperimentus su skirtingomis algoritmo komponentų modifikacijomis, sudarytas komponentų rinkinys, tinkamas išplėstiniam eksperimentams. Ištyrus ir eksperimentiškai įvertinus HGA komponentus, paaiškėjo, kad iš komponentų modifikacijų sudarius komponentų rinkinį galima gauti efektyvesnius rezultatus.
4. Nustatyta, jog efektyviausi yra šie komponentų variantai: pagerinta pradinė populiacija, padidintas sprendinių pagerinimo (t. y. tabu paieškos) iteracijų skaičius, kryžminimo procedūros, kuriomis įvertinamos tikslo funkcija ir uždavinio specifika, operatyvus populiacijos atnaujinimas atsižvelgiant į atstumo kriterijų, neaukšto lygio mutacijomis paremtą populiacijos pertvarkymų taikymas.

LITERATŪROS SĄRAŠAS

1. MISEVIČIUS, A., BLONSKIS, J., BUKŠNAITIS, V. Kombinatorinis optimizavimas ir metaeuristiniai metodai: teoriniai aspektai. *Informacijos mokslai (Information Sciences)*, mokslo darbai. 2007, T. 42–43, 213–219 (lietuvių kalba).
2. OSMAN, I. H., KELLY, J. P. Meta-heuristics: an overview. In I. H. Osman, J. P. Kelly (eds.), *Meta-Heuristics: Theory and Applications*. 1996, 1–21.
3. PAPADIMITRIOU, C. H., STEIGLITZ, K. *Combinatorial Optimization: Algorithms and Complexity*. Englewood Cliffs: Prentice-Hall, 1982.
4. BLUM, C., ROLI, A. Metaheuristics in combinatorial optimization: overview and conceptual comparison. *ACM Computing Surveys*. 2003, Vol. 35, 268–308.
5. MICHALEWICZ, Z., FOGEL, D. B. *How to Solve It: Modern Heuristics*. Berlin-Heidelberg: Springer, 2000.
6. AARTS, E. H. L., LENSTRA, J. K. (eds.). *Local Search in Combinatorial Optimization*. Chichester: Wiley, 1997.
7. ČELA, E. *The Quadratic Assignment Problem: Theory and Algorithms*. Dordrecht: Kluwer, 1998.
8. FINKE, G., BURKARD, R. E., RENDL, F. Quadratic assignment problems. *Annals of Discrete Mathematics*. 1987, Vol. 31, 61–82.
9. LOIOLA, E. M., DE ABREU, N. M. M., BOAVENTURA-NETTO, P. O., HAHN, P., QUERIDO, T. A survey for the quadratic assignment problem. *European Journal of Operational Research*. 2007, Vol. 176, 657–690.
10. TAILLARD, E. Comparison of iterative searches for the quadratic assignment problem. *Location Science*. 1995, Vol. 3, 87–105.
11. LAPORTE, G. The traveling salesman problem: an overview of exact and approximate algorithms. *European Journal of Operational Research*. 1992, Vol. 59, 231–247.
12. JOHNSON, D. S., MCGEOCH, L. A. The traveling salesman problem: a case study. In E. Aarts, J. K. Lenstra (eds.), *Local Search in Combinatorial Optimization*. Chichester: Wiley, 1997, 21–310.
13. JOHNSON, D. S. Local optimization and the traveling salesman problem. In M. Paterson (ed.), *Automata, Languages and Programming, 17th International Colloquium, ICALP90, Proceedings. Lecture Notes in Computer Science*. Berlin: Springer, 1990, Vol. 443, 446–461.
14. MARTA, R., GALLEGÓ, M., DUARTE, A. and PARDO, E. G. Heuristics and Metaheuristics for the Maximum Diversity Problem. *Journal of Heuristics*. 2013, Vol. 19, no. 4, 591–615, ISSN 1572-9397.
15. ZHOU, Y., HAO, J.-K., DUVAL, B. Opposition-based memetic search for the maximum diversity problem. *IEEE Transactions on Evolutionary Computation*. 2017, Vol. 21, 731–745.
16. WU, Q., HAO, J.-K. A hybrid metaheuristic method for the maximum diversity problem. *European Journal of Operational Research*. 2013, Vol. 231, 452–464.
17. ROLLAND, E., PIRKUL, H., GLOVER, F. Tabu search for graph partitioning. *Annals of Operations Research*. 1996, Vol. 63, 209–232.

18. MISEVIČIUS, A., BLONSKIS, J., BUKŠNAITIS, V., STANEVIČIENĖ, E., ŽELVYS, T. Aukštos kokybės skaitmeninių spalvų atspalvių kompiuterinis generavimas. *Computational Science and Techniques*. 2013, Vol. 1, no. 2, 126–140. ISSN 2029-9966.
19. MISEVIČIUS, A., GUOGIS, E., STANEVIČIENĖ, E. Computational algorithmic generation of high-quality colour patterns. In T. Skersys, R. Butleris, R. Butkienė (eds.), *Information and software technologies, 19th International Conference, ICIST 2013, Proceedings, Communications in Computer and Information Science (CCIS)*. Berlin-Heidelberg: Springer, 2013, Vol. 403, 285–296.
20. MISEVIČIUS, A. Generation of grey patterns using an improved genetic-evolutionary algorithm: some new results. *Information Technology and Control*. 2011, Vol. 40, 330–343.
21. MISEVIČIUS, A., STANEVIČIENĖ, E. A new hybrid genetic algorithm for the grey pattern quadratic assignment problem. *Information Technology and Control*. 2018, Vol. 47(3), 503–520.
22. LAU, D. L., ARCE, G. R. *Modern Digital Halftoning*. Sec. Ed. (Signal Processing and Communications Series, Liu, K. J. R. (ed.)). New York-Basel: Marcel Dekker, 2008.
23. ULICHNEY, R. A. *Digital Halftoning*. London: MIT Press, 1987.
24. DREZNER, Z. Finding a cluster of points and the grey pattern quadratic assignment problem. *OR Spectrum*. 2006, Vol. 28, 417–436.
25. TAILLARD, E. Robust taboo search for the QAP. *Parallel Computing*. 1991, Vol. 17, 443–455.
26. BATTITI, R., TECCHIOLLI, G. The reactive tabu search. *ORSA Journal on Computing*. 1994, Vol. 6, 126–140.
27. TALBI, E. G., HAFIDI, Z., GEIB, J. M. Parallel tabu search for large optimization problems. In *Meta-Heuristics: Advances and Trends in Local Search Paradigms for Optimization*. 1998, 345–358.
28. TAILLARD, E., GAMBARDELLA, L. M. Adaptive memories for the quadratic assignment problem. Tech. Report IDSIA-87-97. Lugano, Switzerland, 1997.
29. GAMBARDELLA, L. M., TAILLARD, E., DORIGO, M. Ant colonies for the quadratic assignment problem. *Journal of the Operational Research Society*. 1999, Vol. 50, 167–176.
30. FLEURENT, C., FERLAND, J. A. Genetic hybrids for the quadratic assignment problem. In P. M. Pardalos, H. Wolkowicz (eds.), *Quadratic Assignment and Related Problems. DIMACS Series in Discrete Mathematics and Theoretical Computer Science*. Providence: AMS, 1994, Vol. 16, 173–188.
31. LI, Y., PARDALOS, P. M., RESENDE, M. G. C. A greedy randomized adaptive search procedure for the quadratic assignment problem. In P. M. Pardalos, H. Wolkowicz (eds.), *Quadratic Assignment and Related Problems. DIMACS Series in Discrete Mathematics and Theoretical Computer Science*. Providence: AMS, Vol. 16, 1994, 237–261.
32. SUBHADRA, A. Greedy Algorithms: Analysis, Design & Applications. *International Journal of Informative & Futuristic Research*. 2016, Vol. 3(5), 1749–1764.

33. TEITZ, M. B., BART, P. Heuristic methods for estimating the generalized vertex median of a weighted graph. *Operation Research*. 1968, Vol. 16(5), 955–961.
34. FRANZIN, A., STÜTZLE, T. Revisiting simulated annealing: A component-based analysis. *Computers & Operations Research*. 2019, Vol. 104, 191–206.
35. KIRKPATRICK, S., GELAT, C. D., VECCHI, M. P. Optimization by simulated annealing. *Science*. 1983, Vol. 220(4598), 671–680.
36. COLORNI, A., DORIGO, M., MANIEZZO, V. Distributed Optimization by Ant Colonies. *Proceedings of the European Conference on Artificial Life*. Elsevier Publishing, 1991, 134–142.
37. HANSEN, P., JAUMARD, B. Algorithms for the maximum satisfiability problem. *RUTCOR Research Report*. USA: Rutgers University, 1987, 43–87.
38. GLOVER, F. Tabu search: part I. *ORSA Journal on Computing*. 1989, Vol. 1, 190–206.
39. GLOVER, F. Tabu search: part II. *ORSA Journal on Computing*. 1990, Vol. 2, 4–32.
40. DELL'AMICO, M., TRUBIAN, M. Applying tabu search to the job-shop scheduling problem. *Annals of Operations Research*. 1993, Vol. 41, 231–252.
41. LOURENCO, H. R., ZWIJNENBURG, M. Combining the large-step optimization with tabu search: application to the job-shop scheduling problem. In I. H. Osman, J. P. Kelly (eds.), *Meta-Heuristics: Theory and Applications*. Boston: Kluwer, 1996, 219–236.
42. GLOVER, F., LAGUNA, M. *Tabu Search*. Dordrecht: Kluwer, 1997.
43. GLOVER, F., MARTI, R. Metaheuristic Procedures for Training Neutral Networks (eds.). *Tabu Search*. Boston, MA: Springer US, 2006, 53–69.
44. MISEVICIUS, A. A tabu search algorithm for the quadratic assignment problem. *Computational Optimization and Applications*. 2005, Vol. 30, 95–111.
45. HERTZ, A., DE WERRA, D. Using tabu search techniques for graph coloring. *Computing*. 1987, Vol. 39, 345–351.
46. GENDREAU, M. An introduction to tabu search. In F. Glover, G. Kochenberger (eds.), *Handbook of Metaheuristics*. Norwell: Kluwer, 2002, 37–54.
47. GENDREAU, M., POTVIN, J. (eds.). *Handbook of Metaheuristics (International Series in Operations Research & Management Science)*. New York-Dordrecht-Heidelberg-London: Springer, 2010.
48. HOLLAND, J. H. *Adaptation in Natural and Artificial Systems*. Ann Arbor: Michigan Press, 1975.
49. LUKE, S. *Essentials of Metaheuristics* [interaktyvus]. Lulu, 2009 [žiūrėta 2017-02-10]. Prieiga per <https://cs.gmu.edu/~sean/book/metaheuristics/Essentials.pdf>
50. YANG, X.-S. *Nature-Inspired Metaheuristic Algorithms*. Frome: Luniver Press, 2010.
51. HERTZ, A., KOBLER, D. A framework for the description of evolutionary algorithms. *European Journal of Operational Research*. 2000, Vol. 126, 1–12.
52. GOLDBERG, D. E. *Genetic Algorithms in Search, Optimization and Machine Learning*. Reading: Addison-Wesley, 1989.
53. HAUPT, R. L., HAUPT, S. E. *Practical Genetic Algorithms*. Hoboken: Wiley-Interscience, 2004.

54. LIM, T. Y. Structured population genetic algorithms: a literature survey. *Artificial Intelligence Review*. 2014, Vol. 41, 385–399.
55. MISEVIČIUS, A., et al. *Genetiniai algoritmai komivojažieriaus uždaviniui: negatyvieji ir pozityvieji aspektai*. *Informacijos mokslai*. 2009, Vol. 50, 173–180.
56. MOSCATO, P. On evolution, search, optimization, genetic algorithms and martial arts: toward memetic algorithms. *Tech. Report Caltech Concurrent Computation Program 826*. Pasadena, USA: California Institute of Technology, 1989.
57. MOSCATO, P., COTTA, C. A gentle introduction to memetic algorithms. In F. Glover, G. Kochenberger (eds.), *Handbook of Metaheuristics*. Norwell: Kluwer, 2002, 105–144.
58. MISEVIČIUS, A., BLONSKIS, J., BUKŠNAITIS, V. Euristiniai algoritmai: tikslai, iššūkiai, metodologija, perspektyvos. *Informacijos mokslai (Information Sciences)*, mokslo darbai, 2006, T. 39, 103–112 (lietuvių kalba).
59. GROSAN, C., ABRAHAM, A., ISHIBUCHI, H. *Hybrid Evolutionary Algorithms*. Studies in Computational Intelligence, 2007.
60. DREZNER, Z., MISEVIČIUS, A. Enhancing the performance of hybrid genetic algorithms by differential improvement. *Computers & Operations Research*. 2013, Vol. 40, 1038–1046.
61. TATE, D. M., SMITH, A. E. A genetic approach to the quadratic assignment problem. *Computers & Operations Research*. 1995, Vol. 1, 73–83.
62. MISEVICIUS, A., KUZNECOVAITE, D., PLATUZIENE, J. Some Further Experiments with Crossover Operators for Genetic Algorithms. *Informatica*. 2018, Vol. 29(3), 499–51.
63. MISEVIČIUS, A. Testing of crossover operators for the grey pattern problem. *Ūkio technologinis ir ekonominis vystymas (Technological and Economic Development of Economy)*. 2006, Vol. 12(1), 37–43.
64. MISEVIČIUS, A. Experiments with hybrid genetic algorithm for the grey pattern problem. *Informatica*. 2006, Vol. 17(2), 237–258.
65. MERZ, P., FREISLEBEN, B. Fitness landscape analysis and memetic algorithms for the quadratic assignment problem. *IEEE Transactions on Evolutionary Computation*. 2000, Vol. 4, 337–352.
66. AHUJA, R. K., ORLIN, J. B., TIWARI, A. A greedy genetic algorithm for the quadratic assignment problem. *Computers & Operations Research*. 2000, Vol. 27, 917–934.
67. LIM, M. H., YUAN, Y., OMATU, S. Efficient genetic algorithms using simple genes exchange local search policy for the quadratic assignment problem. *Computational Optimization and Applications*. 2000, Vol. 15, 249–268.
68. DREZNER, Z. A new genetic algorithm for the quadratic assignment problem. *INFORMS Journal on Computing*. 2003, Vol. 15, 320–330.
69. BOESE, K. D., KAHNG, A. B., MUDDU, S. A new adaptive multi-start technique for combinatorial global optimizations. *Operations Research Letters*. 1994, Vol. 16, 101–113.
70. MISEVIČIUS, A., RUBLIAUSKAS, D. Performance of hybrid genetic algorithm for the grey pattern problem. *Information Technology and Control*. 2005, Vol. 34, 15–24.

71. DREZNER, Z., MISEVIČIUS, A., PALUBECKIS, G. Exact algorithms for the solution of the grey pattern quadratic assignment problem. *Mathematical Methods of Operations Research*. 2015, Vol. 82, 85–105.
72. KOOPMANS, T., BECKMANN, M. Assignment problems and the location of economic activities. *Econometrica*. 1957, Vol. 25, 53–76.
73. GAREY, M. R., JOHNSON, D. S. *Computers and Intractability: A Guide to the Theory of NP-Completeness*. San Francisco: Freeman, 1979.
74. PARDALOS, P. M., RENDL, F., WOLKOWICZ, H. The quadratic assignment problem: a survey and recent developments. In P. M. Pardalos, H. Wolkowicz (eds.), *Quadratic Assignment and Related Problems. DIMACS Series in Discrete Mathematics and Theoretical Computer Science*. Vol. 16, Providence: AMS, 1994, 1–41.
75. MISEVIČIUS, A. A modified simulated annealing algorithm for the quadratic assignment problem. *Informatica*. 2003, Vol. 14, 497–514.
76. ANGEL, E. ZISSIMOPOULOS, V. On the hardness of the quadratic assignment problem with metaheuristics. *Journal of Heuristics*. 2002, Vol. 8, 399–414.
77. DREZNER, Z. A new heuristic for the quadratic assignment problem. *Journal of Applied Mathematics and Decision Sciences*. 2002, Vol. 6, 143–153.
78. DREZNER, Z. Compounded genetic algorithms for the quadratic assignment problem. *Operations Research Letters*. 2005, Vol. 33, 475–480.
79. GILMORE, P. C. Optimal and suboptimal algorithms for the quadratic assignment problem. *SIAM Journal of Applied Mathematics*. 1962, Vol. 14, 305–313.
80. LAWLER, E. L. The quadratic assignment problem. *Management Science*. 1963, Vol. 9, 586–599.
81. STANEVIČIENĖ, E., MISEVIČIUS, A. Empirical Study of Local Optimization Methods. *ALTA'17: Pažangios mokymosi technologijos: išmanusis mokymasis: tarptautinė konferencija, skirta IT idėjų sklaidai: konferencijos pranešimų medžiaga*. Kaunas: Kauno technologijos universitetas, 2017, 91–99.
82. TIZHOOSH, H. R. Opposition-based learning: A new scheme for machine intelligence. In M. Mohammadian (ed.), *Proceedings of International Conference on Computational Intelligence for Modeling, Control and Automation and International Conference on Intelligent Agents, Web Technologies and Internet Commerce (CIMCA/LAWTIC)*. Los Alamitos: IEEE Press, 2005, Vol. 2, 695–701.
83. FEO, T. A., RESENDE, M. G. C. Greedy randomized adaptive search procedures. *Journal of Global Optimization*. 1995, Vol. 6, 109–133.
84. HUSSIN, M. S., STÜTZLE, T. Hierarchical iterated local search for the quadratic assignment problem. In M. J. Blesa, C. Blum, L. Di Gaspero, A. Roli, M. Sampels, A. Schaerf (eds.), *Hybrid Metaheuristics. HM 2009. Lecture Notes in Computer Science*. Berlin, Heidelberg: Springer, 2009, Vol. 5818, 115–129.
85. DELL'AMICO, M., TRUBIAN, M. Solution of large weighted equicut problems. *European Journal of Operational Research*. 1998, Vol. 106, 500–521.
86. STANEVIČIENĖ, E., MISEVIČIUS, A., OSTREIKA, A. Experimental Analysis of Hybrid Genetic Algorithm for the Grey Pattern Quadratic Assignment Problem. *Information Technology and Control*. 2019, Vol. 48(2), 335–356.

87. MISEVIČIUS, A., RUBLIAUSKAS, D. Testing of hybrid genetic algorithms for structured quadratic assignment problems. *Informatica*. 2009, Vol. 20, 255–272.
88. LIPOWSKI, A., LIPOWSKA, D. Roulette-wheel selection via stochastic acceptance. *Physica A: Statistical Mechanics and its Applications*. 2012, Vol. 391(6), 2193–2196.
89. RAZALI, N., M., JOHN, G. Genetic Algorithm Performance with Different Selection Strategies in Solving TSP. *In the 2011 International Conference of Computational Intelligence and Intelligent Systems*. London: Imperial College, 2011, Vol. 2, 4–9.
90. ZHONG, J., HU, X., ZHANG, J., GU, M. Comparison of Performance between Different Selection Strategies on Simple Genetic Algorithms. *International Conference on Computational Intelligence for Modelling, Control and Automation and International Conference on Intelligent Agents, Web Technologies and Internet Commerce (CIMCA-IAWTIC'06)*. Vienna, 2005, 1115–1121.
91. KUMAR, R. Blending Roulette Wheel Selection & Rank Selection in Genetic Algorithms. *International Journal of Machine Learning and Computing*. 2012, Vol. 2, No. 4, 365–370.
92. EIBEN, A. E., RAUE, P.-E., RUTTKAY, Z. Genetic algorithms with multi-parent recombination. In Y. Davidor, H. P. Schwefel, R. Männer (eds.), *Parallel Problem Solving from Nature – PPSN III, International Conference on Evolutionary Computation, The Third Conference on Parallel Problem Solving from Nature, Proceedings. Lecture Notes in Computer Science*. Berlin-Heidelberg: Springer, 1994, Vol. 866, 78–87.
93. CAPONETTO, R., FORTUNA, L., FAZZINO, S., XIBILIA, M. G. Chaotic sequences to improve the performance of evolutionary algorithms. *IEEE Transactions on Evolutionary Computation*. 2003, Vol. 7(3), 289–304.

AUTORĖS MOKSLINIŲ PUBLIKACIJŲ DISERTACIJOS TEMA SĄRAŠAS

Mokslinės informacijos instituto duomenų bazės „ISI Web of Science“ leidiniuose, turinčiuose citavimo indeksą, paskelbti straipsniai:

1. MISEVIČIUS, A., STANEVIČIENĖ, E. A New Hybrid Genetic Algorithm for the Grey Pattern Quadratic Assignment Problem. *Information Technology and Control*. 2018, Vol. 47(3), 503–520.
2. STANEVIČIENĖ, E., MISEVIČIUS, A., OSTREIKA, A. Experimental Analysis of Hybrid Genetic Algorithm for the Grey Pattern Quadratic Assignment Problem. *Information Technology and Control*. 2019, Vol. 48(2), 335–356.

Kitų tarptautinių duomenų bazių leidiniuose paskelbti straipsniai:

1. MISEVIČIUS, A., BLONSKIS, J., BUKŠNAITIS, V., STANEVIČIENĖ, E., ŽELVYS, T. Aukštos kokybės skaitmeninių spalvų atspalvių kompiuterinis generavimas. *Computational Science and Techniques*. Klaipėda: Klaipėda University, 2013, Vol. 1, no. 2, 126–140.
2. MISEVIČIUS, A., GUOGIS, E., STANEVIČIENĖ, E. Computational Algorithmic Generation of High-quality Colour Patterns. *Information and software technologies: 19th international conference, ICIST 2013, Kaunas, Lithuania, October 10–11, 2013: proceedings / [edited by] Tomas Skersys, Rimantas Butleris, Rita Butkiene. Communications in computer and information science*. Berlin, Heidelberg: Springer, 2013, Vol. 403, 285–296.
3. STANEVIČIENĖ, E., MISEVIČIUS, A., KUZNECOVAITĖ, D., DRAŠUTĖ, V. Hybrid Genetic Algorithms for Image Processing: a Short Review. *ALTA'15: Pažangios mokymosi technologijos: konferencijos pranešimų medžiaga*. Kaunas: Kauno technologijos universitetas, 2015, 45–49.
4. STANEVIČIENĖ, E., MISEVIČIUS, A. Empirical Study of Local Optimization Methods. *ALTA'17: Pažangios mokymosi technologijos: išmanusis mokymasis: tarptautinė konferencija, skirta IT idėjų sklaidai: konferencijos pranešimų medžiaga*. Kaunas: Kauno technologijos universitetas, 2017, 91–99.

A PRIEDAS

Priede pateikiamas eksperimentų vykdymo laiko vidurkis (vykdyta 10 kartų).

A1 lentelė. Eksperimentų su komponentais **HGA-BV**, **PP-1**, **PP-2**, **STA-1**, **STA-2** vidutinis vykdymo laikas ($n = 256$)

<i>m</i>	<i>Vykdyto laikas</i>					Laikas[‡] (s)
	HGA-BV	PP-1	PP-2	STA-1	STA-2	
95	65,1	33,4	85,8	56,5	176,1	83
96	70,6	32,8	249,6	89,8	122,0	113
97	81,8	31,9	129,3	60,6	101,2	81
98	82,3	31,5	211,5	84,9	85,7	99
99	81,0	31,0	210,4	88,3	99,9	102
100	85,6	30,7	348,5	81,4	122,5	134
101	85,7	30,0	309,9	79,4	93,5	120
102	74,6	29,3	316,6	72,2	86,6	116
103	66,8	28,5	298,4	65,2	106,7	113
104	66,9	28,5	286,6	64,8	84,9	106

[‡] – vidutinis vykdymo laikas (sekundėmis)

A2 lentelė. Eksperimentų su komponentais **HGA-BV**, **PP-1**, **PP-2**, **STA-1**, **STA-2** vidutinis vykdymo laikas ($n = 1024$)

<i>m</i>	<i>Vykdyto laikas</i>					Laikas (s)
	HGA-BV	PP-1	PP-2	STA-1	STA-2	
50	175,8	357,8	414,7	177,9	229,9	271
60	2469,6	771,6	2277,1	2420,5	3131,0	2214
70	2769,9	802,0	3609,3	2793,7	6322,5	3259
80	2433,1	809,6	3201,6	2422,8	2321,3	2238
90	2370,5	804,6	3217,9	2465,7	6239,3	3020
100	2236,2	743,3	2829,2	2198,7	2662,5	2134
110	2194,9	711,0	2114,9	2315,5	6357,0	2739
120	2375,8	710,3	2001,6	2407,1	6149,5	2729
130	2368,1	709,1	1893,0	2640,7	4170,3	2356
140	2098,2	688,8	1869,0	2203,3	4179,9	2208

A3 lentelė. Eksperimentų su komponentais **HGA-BV**, **LP-1**, **LP-2**, **LP-3**, **LP-4** vidutinis vykdymo laikas ($n = 256$)

<i>m</i>	<i>Vykdyto laikas</i>					Laikas[‡] (s)
	HGA-BV	LP-1	LP-2	LP-3	LP-4	
95	65,1	44,4	125,4	123,0	79,1	87
96	70,6	57,0	116,2	179,1	106,3	106
97	81,8	49,0	116,4	165,4	100,3	103
98	82,3	54,1	122,0	179,1	102,3	108
99	81,0	53,3	136,7	156,9	95,3	105
100	85,6	55,6	126,3	153,9	91,4	103
101	85,7	55,2	108,2	145,8	89,6	97
102	74,6	52,1	91,8	119,5	89,7	86
103	66,8	49,7	84,8	110,9	77,9	78
104	66,9	49,5	86,0	105,6	81,1	78

A4 lentelė. Eksperimentų su komponentais **HGA-BV**, **LP-1**, **LP-2**, **LP-3**, **LP-4** vidutinis vykdymo laikas ($n = 1024$)

<i>m</i>	<i>Vykdyto laikas</i>					Laikas (s)
	HGA-BV	LP-1	LP-2	LP-3	LP-4	
50	175,8	122,1	193,7	296,6	296,4	217
60	2469,6	1440,2	3712,3	6338,7	2951,9	3383
70	2769,9	1492,1	4007,3	7012,2	3395,1	3735
80	2433,1	1475,6	3861,5	5392,7	3058,8	3244
90	2370,5	1539,1	3651,9	6578,0	2968,7	3422
100	2236,2	1277,9	2940,4	5668,2	2785,0	2982
110	2194,9	1361,9	3214,2	5300,3	2765,1	2967
120	2375,8	1381,7	3419,7	6908,9	2794,6	3376
130	2368,1	1399,2	3657,1	6853,8	2782,0	3412
140	2098,2	1248,2	3298,3	5775,2	2735,8	3031

A5 lentelė. Eksperimentų su komponentais **HGA-BV**, **PA-1**, **PA-2**, **PA-3**, **PA-4** vidutinis vykdymo laikas ($n = 256$)

<i>m</i>	<i>Vykdyto laikas</i>					Laikas (s)
	HGA-BV	PA-1	PA-2	PA-3	PA-4	
95	65,1	69,8	40,3	106,3	43,9	65
96	70,6	93,4	47,2	182,4	45,0	88
97	81,8	80,1	46,5	146,5	47,9	81
98	82,3	86,6	45,9	169,6	46,8	86
99	81,0	80,2	45,0	162,0	45,1	83
100	85,6	85,6	44,2	147,7	43,9	81
101	85,7	76,5	42,8	149,1	42,1	79
102	74,6	71,0	40,8	108,8	40,5	67
103	66,8	71,4	39,2	100,1	39,3	63
104	66,9	70,0	39,4	99,7	40,2	63

A6 lentelė. Eksperimentų su komponentais **HGA-BV**, **PA-1**, **PA-2**, **PA-3**, **PA-4** vidutinis vykdymo laikas ($n = 1024$)

<i>m</i>	Vykdymo laikas					Laikas (s)
	HGA-BV	PA-1	PA-2	PA-3	PA-4	
50	175,8	176,8	177,8	298,2	176,3	201
60	2469,6	2471,7	1117,5	5805,6	1086,4	2590
70	2769,9	2814,4	1108,1	6952,2	1142,1	2957
80	2433,1	2241,5	1155,1	4990,2	1171,5	2398
90	2370,5	2529,7	1127,6	5372,7	1137,0	2508
100	2236,2	2298,0	1032,2	5151,1	1045,1	2353
110	2194,9	2178,4	1015,1	5007,3	987,3	2277
120	2375,8	2365,6	963,3	6314,4	983,6	2601
130	2368,1	2481,1	968,0	6081,2	956,4	2571
140	2098,2	2050,8	987,9	5074,9	950,1	2232

A7 lentelė. Eksperimentų su komponentais **HGA-BV**, **KP-1**, **KP-2**, **KP-3**, **KP-5**, **KP-6**, **KP-7** vidutinis vykdymo laikas ($n = 256$)

<i>m</i>	Vykdymo laikas							Laikas (s)
	HGA-BV	KP-1	KP-2	KP-3	KP-5	KP-6	KP-7	
95	65,1	103,2	57,6	58,2	261,0	64,7	105,4	102
96	70,6	162,3	92,7	181,7	325,3	80,9	154,9	153
97	81,8	151,7	59,9	140,5	292,9	78,7	141,6	135
98	82,3	175,2	92,5	167,1	306,2	88,1	180,0	156
99	81,0	155,2	85,1	161,8	248,1	87,0	170,8	141
100	85,6	158,1	89,9	142,9	252,1	81,6	180,7	142
101	85,7	141,9	88,2	143,2	232,0	78,2	189,1	137
102	74,6	120,3	80,1	117,2	193,1	75,3	180,4	120
103	66,8	102,6	75,5	104,4	164,1	70,6	180,4	109
104	66,9	106,7	72,9	101,9	169,5	69,7	183,5	110

A8 lentelė. Eksperimentų su komponentais **HGA-BV**, **KP-1**, **KP-2**, **KP-3**, **KP-5**, **KP-6**, **KP-7** vidutinis vykdymo laikas ($n = 1024$)

<i>m</i>	Vykdymo laikas							Laikas (s)
	HGA-BV	KP-1	KP-2	KP-3	KP-5	KP-6	KP-7	
50	175,8	174,1	195,6	176,1	301,8	177,4	195,3	199
60	2469,6	4739,5	2527,8	4040,3	691,5	1921,7	4049,0	2920
70	2769,9	5598,3	3008,4	5162,7	1845,6	2826,7	6137,7	3907
80	2433,1	4116,3	2000,8	2811,2	653,6	2438,1	4565,5	2717
90	2370,5	4948,7	2729,9	4598,5	88,0	2740,0	5635,5	3302
100	2236,2	4409,0	2334,5	4237,4	8226,2	2239,0	4531,0	4030
110	2194,9	4443,5	2354,9	4311,0	8058,3	2166,1	4522,9	4007
120	2375,8	4794,0	2428,6	3954,2	1130,5	2024,5	3345,9	2865
130	2368,1	4746,2	2558,9	3927,8	8605,0	1843,6	2998,4	3864
140	2098,2	4585,9	2386,8	4050,0	8305,3	2022,6	3260,0	3816

A9 lentelė. Eksperimentų su komponentų rinkiniais: **STA-2, KP-6, KS-1, LP-2, PR-2; STA-2, KP-5, KS-1, LP-2, PR-2; STA-2, KP-5, KS-3, LP-2, PR-2** vidutinis vykdymo laikas ($n = 256$)

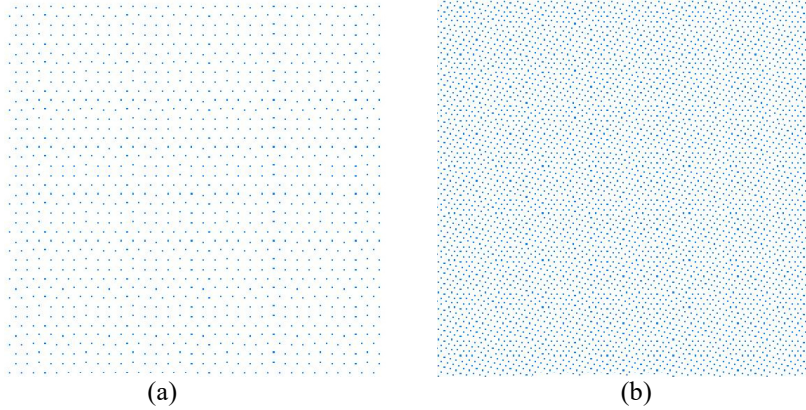
<i>m</i>	Vykdymo laikas				Laikas (s)
	HGA-BV	STA-2, KP-6, KS-1, LP-2, PR-2	STA-2, KP-5, KS-1, LP-2, PR-2	STA-2, KP-5, KS-3, LP-2, PR-2	
	95	65,1	189,0	191,2	
96	70,6	649,4	386,0	693,8	450
97	81,8	244,4	246,8	438,9	253
98	82,3	205,6	206,7	557,9	263
99	81,0	574,5	574,9	1425,9	664
100	85,6	643,2	558,0	1543,3	708
101	85,7	610,5	582,0	1621,2	725
102	74,6	559,8	504,9	3397,9	1134
103	66,8	513,2	464,1	2290,2	834
104	66,9	487,5	471,9	1741,0	692

A10 lentelė. Eksperimentų su komponentų rinkiniais: **STA-2, KP-6, KS-1, LP-2, PR-2; STA-2, KP-5, KS-1, LP-2, PR-2; STA-2, KP-5, KS-3, LP-2, PR-2** vidutinis vykdymo laikas ($n = 1024$)

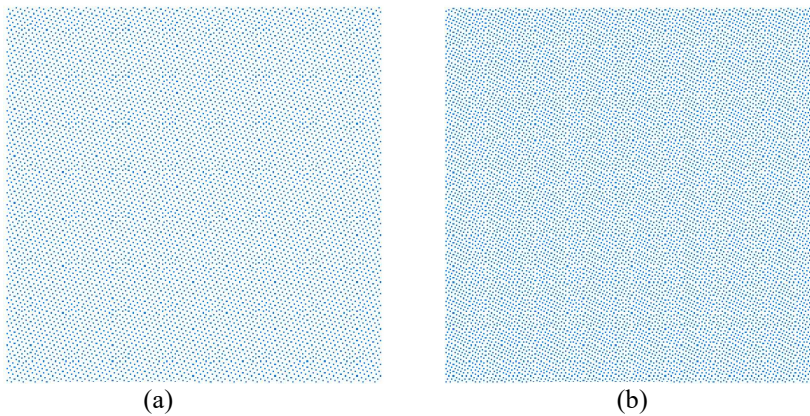
<i>m</i>	Vykdymo laikas				Laikas (s)
	HGA-BV	STA-2, KP-6, KS-1, LP-2, PR-2	STA-2, KP-5, KS-1, LP-2, PR-2	STA-2, KP-5, KS-3, LP-2, PR-2	
	50	175,8	886,0	885,2	
60	2469,6	2972,7	524,9	2459,5	2107
70	2769,9	4237,0	2763,7	388,9	2540
80	2433,1	6148,7	2826,1	4910,5	4080
90	2370,5	3813,5	1584,6	439,2	2052
100	2236,2	3399,5	2236,3	1696,0	2392
110	2194,9	7453,9	2397,9	8145,3	5048
120	2375,8	7743,8	709,1	5739,5	4142
130	2368,1	5632,6	8060,6	5281,8	5336
140	2098,2	4312,7	4591,1	3856,0	3714

B PRIEDAS

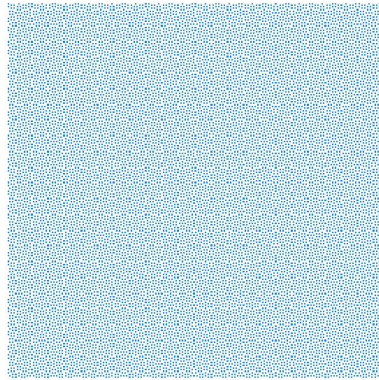
Rastų galimai optimalių sprendinių (perstatymų) grafinis vaizdas, kai spalvos intensyvumas $m = 20, 75, 130, 185, 240, 295, 350, 405, 460, 512$, PŠF uždavinio dydis $n = 1024$, fono spalva mėlyna, taškų spalva juoda, kiekvienas tinklelis pakartotas 8 kartus vertikaliai ir 8 kartus horizontaliai, pateikiamas B1–B6 paveikslėliuose.



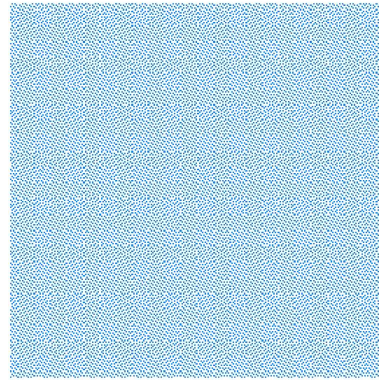
B1 pav. (Pseudo)optimalių pilkųjų šablonų pavyzdžiai (32×32): a) $m = 20$;
b) $m = 75$



B2 pav. (Pseudo)optimalių pilkųjų šablonų pavyzdžiai (32×32): a) $m = 130$;
b) $m = 175$

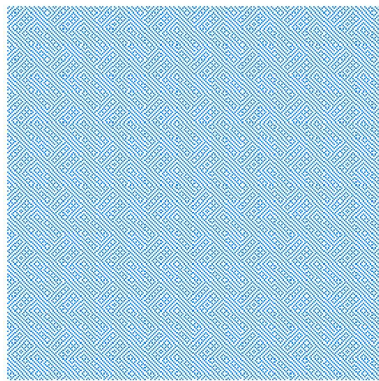


(a)

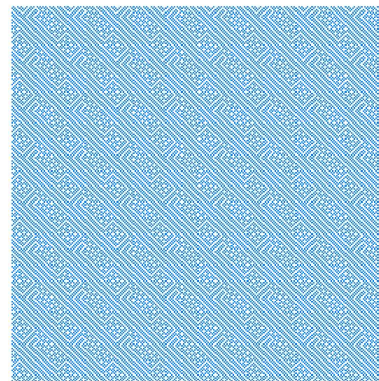


(b)

B3 pav. (Pseudo)optimalių pilkųjų šablonų pavyzdžiai (32×32): a) $m = 240$;
b) $m = 295$

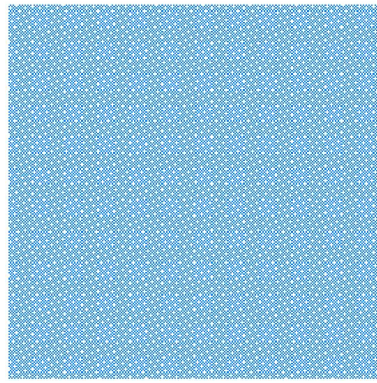


(a)

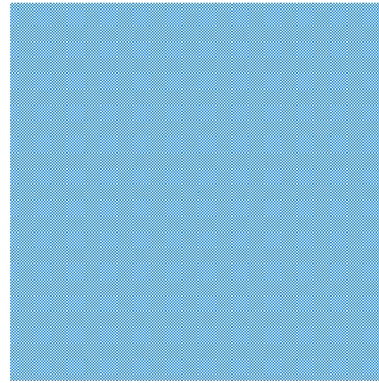


(b)

B4 pav. (Pseudo)optimalių pilkųjų šablonų pavyzdžiai (32×32): a) $m = 350$;
b) $m = 405$



(a)

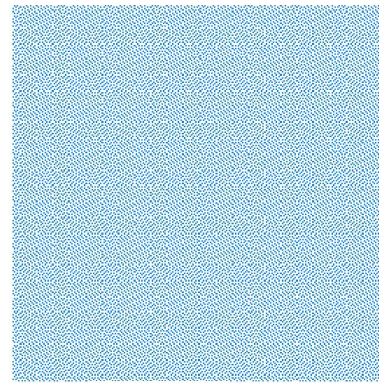


(b)

B5 pav. (Pseudo)optimalių pilkųjų šablonų pavyzdžiai (32×32): a) $m = 460$;
b) $m = 512$



(a)



(b)

B6 pav. Pilkųjų šablonų pavyzdžiai (32×32), kai $m = 300$: a) blogas sprendinys;
b) rastas (pseudo)optimalus sprendinys

SL344. 2019-07-02, 11 leidyb. apsk. I. Tiražas 14 egz. Užsakymas 149.
Išleido Kauno technologijos universitetas, K. Donelaičio g. 73, 44249 Kaunas
Spausdino leidyklos „Technologija“ spaustuvė, Studentų g. 54, 51424 Kaunas